



جامعة كربلاء
كلية العلوم
قسم علوم الحياة

**التصويف الجزيئي لبكتيريا الاشيرشيا القولونية المعزولة من الأطفال
المصابين بالإسهال في محافظة كربلاء .**

رسالة مقدمة الى مجلس كلية العلوم / جامعة كربلاء وهي جزء من متطلبات نيل درجة الماجستير
في علوم الحياة

كتبت بوساطة الطالبة : هدى عباس محمد الطهمازي

بإشراف الاستاذ الدكتور علي عطيه عبد الحسناوي

نيسان - ٢٠٢٣ م

رمضان - ١٤٤٤ هـ

بِسْمِ اللَّهِ الرَّحْمَنِ الرَّحِيمِ

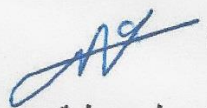
(يَسْعَى اللَّهُ الَّذِينَ آمَنُوا مِنْكُمْ وَالَّذِينَ أُفْتَوْا الْعِلْمَ دَرَجَاتٍ

صدق الله العلي العظيم

المجادلة : ١١

إقرار المشرف

أشهد أن إعداد هذه الرسالة قد جرى تحت إشراف في جامعة كربلاء / بوصفها جزءاً من متطلبات نيل درجة ماجستير علوم في قسم علوم الحياة .

التوقيع : 

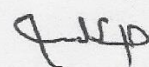
الاسم : د. علي عطيه عبد الحسناوي

المرتبة العلمية : استاذ

التاريخ : 2023/٤/٦

توصية رئيس قسم علوم الحياة

بناءً على توصيات المشرف أحيل هذه الدراسة الى لجنة المناقشة لدراستها وبيان الرأي فيها

التوقيع : 

الاسم : د. خالد علي حسين

المرتبة العلمية : أستاذ مساعد

العنوان : رئيس قسم علوم الحياة

التاريخ : 2023/٤/٦

إقرار لجنة المناقشة

نحن أعضاء لجنة المناقشة ، نشهد بأننا قد اطلعنا على هذه الرسالة الموسومة (التصصيف الجزيئي لبكتيريا الأشيريشيا القولونية المعزولة من الأطفال المصابين بالإسهال في محافظة كربلاء) و ناقشنا الطالبة (هدى عباس محمد) في محتوياتها و فيما لها علاقة بها بتاريخ 20 / 8 / 2023 و نرى أنه جديرة لنيل درجة الماجستير في علوم الحياة .

رئيس لجنة المناقشة

التوقيع :

الاسم : د. وفاء صادق محسن

المرتبة العلمية : استاذ

مكان العمل : كلية العلوم / جامعة كربلاء

التاريخ : ٢٠٢٣/٩/١١

عضو اللجنة

التوقيع :

الاسم : د. عزيز ياسر حسن

المرتبة العلمية : مدرس

مكان العمل : كلية العلوم / جامعة كربلاء

التاريخ : ٢٠٢٣/٩/١٩

عضو اللجنة

التوقيع :

الاسم : د. بقليس عبد علي عبد عون

المرتبة العلمية : استاذ مساعد

مكان العمل : / المعهد التقني / جامعة الفرات الأوسط

التاريخ : ٢٠٢٣/٩/١٢

عضو اللجنة (المشرف)

التوقيع :

الاسم : د. علي عطية عبد الحسناوي

المرتبة العلمية : استاذ

مكان العمل : كلية العلوم / جامعة كربلاء

التاريخ : ٢٠٢٣/٩/١٩

مصادقة عميد كلية العلوم / جامعة كربلاء

التوقيع :

الاسم : د. جاسم حنون هاشم العوادي

المرتبة العلمية : استاذ

التاريخ : ٢٠٢٣/٩/٢٥

الاهداء

إلى نور عيني وسندِي في الحياة .. أمي الغالية ذات القلب الحنون .
إلى .. من أصر وساهم في وصولي إلى سلم التعلم والدي الغالي .
إلى .. أحبتي والسد .. أخواتي وأخوانني الأعزاء .
إلى .. من وقف إلى جنبي زوجي ورفيق عمري .
إلى فلذات كبدِي .. أولادي .

الباحثة

شكر و تقدير

الحمد و الثناء لله رب العالمين والصلوة والسلام على خاتم النبیین سیدنا محمد وآل بيته الطیبین الطاھرین .

اتقدم بالشكر الجزيل و خالص الامتنان والتقدیر إلى الأستاذ الدكتور (علي عطية عبد) لتفضله بالإشراف على هذه الرسالة و لكل ما قدمه من آراء ونصائح و توجيهات علمية ، و لجهوده القيمة و مساعدته لإتمام الرسالة و جهوده المبذولة في التحليل الاحصائي و التوجيهات التي قدّمتها للتنسيق في كتابة الرسالة ، كما اتقدم بالشكر والعرفان إلى كل الأساندنة الذين ساهموا في مسیرتی العلمية وما قدموه من اهتمام ونصائح حتى اصل الى هذا المستوى العلمي .

و شكري وتقديري إلى كل العاملين في مستشفى الاطفال التعليمي وعلى وجه الخصوص وحدة المختبر لما قدموه من مساعدة وتسهيلات .

خالص الامتنان والشكر إلى العاملين في مختبر الصحة العامة وأخص بالشكر وحدة تحضير الأوساط الزراعية و وحدة الأحياء المجهرية ، و اشکر زملائي و زميلاتي من طلبة الدراسات العليا وكل من ساعدنی بنصيحة او فعل .

الباحثة

الخلاصة Summary

هدفت هذه الدراسة إلى التحري عن بكتيريا اشريشيا القولون *Escherichia coli* التي تسبب الإسهال في الأطفال، و ايضاً عن بعض عوامل الضراوة التي تمتلكها بكتيريا اشريشيا القولون المعزولة من براز الأطفال دون عمر (٥ سنوات) المصابين بأعراض الإسهال و علاقتها بمقاومة المضادات الحيوانية بوصفها العامل المسبب الرئيس في الإسهال، فقد جمعت ١٠٠ عينة براز سريرية من الأطفال المراجعين الخارجيين والداخلين لمستشفى الأطفال التعليمي في مدينة كربلاء المقدسة ، لمدة من ٢ / ٢ / ٢٠٢٢ ولغاية ٦ / ١٥ / ٢٠٢٢ ، و زرعت العينات في اوساط زرعية عدة ، ثم شخصت العزلات البكتيرية باستعمال تقنية الفايتاك ٢ Vitek ، بعد ذلك تم إجراء اختبار فحص الحساسية للمضادات الحيوية ، ثم خضعت ٤٠ عزلة من بكتيريا *E. coli* إلى الكشف الجزيئي بتقنية PCR ، وكان اختيار العينات بالاعتماد على فحص عينة البراز تحت المجهر الضوئي والتي كانت حاوية على الخلايا الالتهابية pus cells أو خلايا الدم الحمر Red blood cells .

أظهرت النتائج إنّ نسبة إصابة الذكور بالإسهال بلغت ٥٧.٥٪ (٤٦)، وهي أعلى من نسبة إصابة الإناث ٤٢.٥٪ (٣٤) ، و بين التحليل الاحصائي وجود فرق معنوي بين الذكور والإإناث المصابين ($P < 0.005$) . إذ كانت الفئة العمرية (١١-١١) شهر كان فيها عدد الأطفال المصابين ٤٢.٥٪ (٣٤) ، والفئة العمرية (١٢-٢٣) شهر كان فيها عدد الأطفال المصابين ٢٦.٢٥٪ (٢١) ، و الفئة العمرية (٢٤-٣٥) شهر كان عدد الأطفال المصابين فيها ٢٠٪ (١٦)، بينما الفئة العمرية (٤٧-٣٦) شهر كان فيها عدد الأطفال المصابين ٨.٧٥٪ (٧) ، وكان في الفئة العمرية (٤٩-٤٨) شهر عدد الأطفال المصابين ٢.٥٪ (٢) ، إتضاح مما سبق إنّ عدد الأطفال المصابين أعلى في الفئة العمرية (١١-١١) شهر . إنّ عدد الأطفال الذين يقطنون في مناطق عشوائيات الأحياء السكنية ٦٥٪ (٥٢) ، وهم أكثر عرضة وبصورة معنوية ($P < 0.005$) للإصابة بالإسهال بالمقارنة مع عدد إصابة الأطفال الذين يقطنون الأحياء السكنية ٣٥٪ (٢٨) ، لوحظ إنّ عدد الأطفال الذين آباءهم يزاولون مهن حرة ٧٦.٢٥٪ (٦١) كانوا أكثر عرضة للإصابة بالإسهال وبصورة معنوية ($P < 0.005$) بالمقارنة مع الأطفال الذين آباءهم موظفين ٢٣.٧٥٪ (١٩) .

أظهرت نتائج فحص الحساسية إنّ (٤٠) ١٠٠٪ عزلة بكتيرية مقاومة للمضاد الحيوي Ampicillin وهي أعلى نسبة مقاومة ، تليها (٣٤) ٨٥٪ عزلة بكتيرية مقاومة للمضاد الحيوي Co-Trimoxazole ، بعدها (٣٣) ٨٢.٥٪ عزلة بكتيرية مقاومة للمضاد الحيوي Cefotaxime ، و من ثم (٢٩) ٧٢.٥٪ عزلة بكتيرية مقاومة للمضاد الحيوي Ceftriaxone ، و (٢٦) ٦٥٪ عزلة بكتيرية مقاومة للمضاد الحيوي Tetracycline و (٢١) ٥٢.٥٪ عزلة بكتيرية مقاومة للمضاد الحيوي Azthromycine ، تتبعها (٢٠) ٥٠٪ عزلة بكتيرية مقاومة للمضاد الحيوي Ciprofloxacin ، و (١٥) ٣٧.٥٪ عزلة بكتيرية مقاومة للمضاد الحيوي Doxycycline .

(٦) ١٥٪ عزلة بكتيرية مقاومة للمضاد الحيوي Gentamycin و أخيراً (٣) ٧٧.٥٪ عزلة بكتيرية مقاومة للمضاد الحيوي Amikacin وهي أقل نسبة مقاومة .

أظهرت نتائج الكشف الجزيئي إن (٢٠) ٥٠٪ عزلة بكتيرية حاملة للجينات (*stx 1, stx 2, eae, bfpA*) ، والتي تعود لأنواع المرضية pathotypes لبكتيريا *E. coli* المسببة للإسهال Enteropathogenic *E. coli* (EPEC) ، وإن (١٠) ٥٠٪ عزلات لبكتيريا الممرضة للأمعاء ، وإن (١٠) ٥٠٪ عزلات حاملة لجينين معا (*stx 1 & stx 2*) تعود لبكتيريا اشريشيا القولون النزفية للأمعاء Enterohemorrhagic *E. coli* (EHEC) ، لوحظ عدم وجود فرق معنوي واضح بين السلالتين ($P > 0.05$) ، وكان من ضمن عزلات البكتيريا الممرضة للأمعاء العشرة (٨) ٨٠٪ عزلات بكتيرية حاملة لجين (*eae*) تعود للبكتيريا الممرضة للأمعاء غير المثلالية atypical Enteropathogenic *E. coli* (aEPEC) ، وعزلتان ٢٠٪ حاملة لجينين معا (*eae & bfpA*) تعود للبكتيريا الممرضة للأمعاء المثلالية typical Enteropathogenic *E. coli* (*eae, bfpA*)، وتبين من التحليل الاحصائي وجود فرق معنوي واضح بين النوعين لهذه البكتيريا ($P < 0.05$) .

أظهرت النتائج إن (١٢) ٦٦٪ عزلة حاملة لجين *CTX-M* ، و وهي الأعلى معنوياً ($P < 0.05$) من العزلات الحاملة لجين *TEM* و التي كانت بواقع (٦) ٣٣٪ عزلة ، ولم يظهر الجين *SHV* في أي عزلة من العزلات .

علاوة على ذلك ، فإن نتائج الدراسة الحالية أوضحت إن بكتيريا اشريشيا القولون الممرضة للأمعاء موجودة بنسبة أعلى في الذكور (٦) ٦٠٪ بالمقارنة مع نسبة وجودها في الإناث (٤) ٤٠٪ ، ولكن بصورة غير معنوية ($P > 0.05$) ، وأما بكتيريا اشريشيا القولون النزفية للأمعاء فكانت موجودة في الإناث بنسبة (٧) ٧٠٪ أكثر من وجودها في الذكور (٣) ٣٠٪ ، وبصورة معنوية تقربياً ($P < 0.05$) .

أظهرت النتائج إن بكتيريا اشريشيا القولون الممرضة للأمعاء كانت موجودة في الفئة العمرية (١١-١) شهر بعدد (٦) ٦٠٪ عزلة ، و في الفئة (١٢-٢٣) شهر بعدد (٢) ٢٠٪ عزلة ، تليها الفئة العمرية (٢٤-٣٥) شهر بعدد (١) ١٠٪ عزلة ، و الفئة العمرية (٣٦-٤٧) شهر بعدد (١) ١٠٪ عزلة، ولم تظهر في الفئة العمرية (٤٨-٥٩) شهر .

أظهرت النتائج إن بكتيريا اشريشيا القولون النزفية للأمعاء لم تكن موجودة في الفئة العمرية (١١-١) شهر ، وكانت موجودة في الفئة العمرية (١٢-٢٣) شهر بعدد (٢) ٢٠٪ عزلة ، في الفئة (٢٤-٣٥) شهر بعدد (٣) ٣٠٪ عزلة ، وفي الفئة (٣٦-٤٧) شهر بعدد (٢) ٥٠٪ عزلة ، و في الفئة العمرية (٤٨-٥٩) شهر بعدد (٣) ٣٠٪ .

و أظهرت النتائج إنّ بكتيريا اشريشيا القولون الممرضة للأمعاء حاملة لجين *CTX-M* في (٣)٪ عزلات و بصورة معنوية ($P < 0.05$) عن بقية الجينات ، وأيضاً حاملة لجين *TEM* في عزلة واحدة وبنسبة ١٪ . و أمّا بخصوص بكتيريا اشريشيا القولون النزفية للأمعاء كانت حاملة للجين *CTX-M* في عزلة واحدة وبنسبة ١٪ ، وحاملة لجين *TEM* في عزلتين وبنسبة ٢٪ .

قائمة المحتويات

الصفحة	العنوان	ت
III	الخلاصة	
VI	قائمة المحتويات	
IX	قائمة الجداول	
X	قائمة الأشكال	
X	قائمة الملحق	
XI	قائمة المختصرات	
الفصل الأول / المقدمة واستعراض المراجع		
١	المقدمة واستعراض المراجع	١
١	المقدمة	١-١
٤	استعراض المراجع	٢-١
٤	الإسهال	١-٢-١
٥	العائلة المعوية	٢-٢-١
٥	بكتيريا <i>Escherichia coli</i>	٣-٢-١
٦	الصفات العامة لبكتيريا <i>E. coli</i>	١-٣-٢-١
٧	تصنيف بكتيريا <i>E. coli</i>	٢-٣-٢-١
٧	Diarrheagenic <i>Escherichia coli</i> (DEC)	٣-٣-٢-١
٨	Enterohemorrhagic <i>E. coli</i> (EHEC)	١-٣-٣-٢-١
٩	Enteropathogenic <i>E. coli</i> (EPEC)	٢-٣-٣-٢-١
١٠	أمراضية بكتيريا <i>E. coli</i>	٤-٣-٢-١
١٠	ضراوة بكتيريا <i>E. coli</i>	٥-٣-٢-١
١٢	السموم	١-٥-٣-٢-١
١٣	سموم الشيكا	١-١-٥-٣-٢-١
١٤	المضادات الحيوية	٤-٢-١
١٥	مضادات البيتا لاكتام	١-٤-٢-١

المحتويات

١٦	آليات مقاومة المضادات الحياتية في البكتيريا	٢-٤-٢-١
١٦	إنتاج الانزيمات	١-٢-٤-٢-١
١٧	تحوير الهدف	٢-٢-٤-٢-١
١٧	تغير نفاذية جدار الخلية	٣-٢-٤-٢-١
١٧	تغير مسارات الأيض	٤-٢-٤-٢-١
١٧	مضخات الدفق	٥-٢-٤-٢-١

الفصل الثاني / المواد وطرائق العمل

١٨	المواد وطرائق العمل	٢
١٨	المواد	١-٢
١٨	الاجهزه المختبريه	١-١-٢
١٩	المواد الكيميائيه	٢-١-٢
٢٠	الأوساط الزرعيه	٣-١-٢
٢١	المضادات الحياتية	٤-١-٢
٢٢	معدات اخرى	٥-١-٢
٢٣	البواجي	٦-١-٢
٢٤	المواد المستعملة في التشخيص الجزيئي بتقنية PCR	٧-١-٢
٢٥	تحضير الاوساط الزرعيه والمحاليل والكواشف	٢-٢
٢٥	تحضير الاوساط الزرعيه	١-٢-٢
٢٥	تحضير الاوساط الزرعيه الجاهزة	١-١-٢-٢
٢٥	تحضير الاوساط الزرعيه التركيبية	٢-١-٢-٢
٢٥	وسط غراء الدم	١-٢-١-٢-٢
٢٥	وسط نقيع القلب والدماغ	٢-٢-١-٢-٢
٢٦	وسط غراء كروم	٣-٢-١-٢-٢
٢٦	تحضير الكواشف	٢-٢-٢
٢٦	كاشف الاوكسديز	١-٢-٢-٢
٢٦	كاشف الكاتلizer	٢-٢-٢-٢
٢٦	تحضير المحاليل	٣-٢-٢

المحتويات

٢٦	محلول ماكفر لاند	١-٣-٢-٢
٢٧	طرائق العمل	٣-٢
٢٧	جمع العينات	١-٣-٢
٢٧	التشخيص المزرعي	٢-٣-٢
٢٧	التشخيص المجهري	٣-٣-٢
٢٧	التشخيص الكيموحيوي	٤-٣-٢
٢٧	اختبار الاوكسديز	١-٤-٣-٢
٢٨	اختبار الكاتلizer	٢-٤-٣-٢
٢٨	اختبار هيدروكسيد البوتاسيوم	٣-٤-٣-٢
٢٨	تشخيص البكتيريا باستخدام نظام الفايتاك	٥-٣-٢
٢٨	حفظ العزلات البكتيرية	٦-٣-٢
٢٩	اختبار مقاومة المضادات الحياتية	٧-٣-٢
٢٩	التشخيص الجزيئي	٨-٣-٢
٢٩	استخلاص الحامض النووي المجيني	١-٨-٣-٢
٣٠	محاليل البوادئ	٢-٨-٣-٢
٣٠	تفاعل البلمرة المتسلسل	٣-٨-٣-٢
٣٢	محلول بفر X١ TBE buffer	٤-٨-٣-٢
٣٢	هلام الاكاروز	٥-٨-٣-٢
٣٢	الترحيل الكهربائي	٦-٨-٣-٢
٣٣	التحليل الاحصائي	٤-٢
الفصل الثالث / النتائج والمناقشة		
٣٤	النتائج والمناقشة	٣
٣٤	عزلات بكتيريا اشريشيا القولون	١-٣
٣٤	جمع العينات	١-١-٣
٣٤	مجموعة السيطرة	١-١-١-٣
٣٥	توزيع الاصابات حسب الجنس	٢-١-١-٣
٣٦	توزيع الاصابات حسب العمر	٣-١-١-٣

المحتويات

٣٧	توزيع الاصابات حسب طبيعة السكن والدخل المادي	٤-١-١-٣
٣٩	التشخيص المظاهري	٢-١-٣
٤٠	التشخيص المجهرى	٣-١-٣
٤٠	التشخيص الكيموحيوي	٤-١-٣
٤٠	تشخيص البكتيريا باستخدام نظام الفايتك	٥-١-٣
٤٠	مقاومة البكتيريا للمضادات الحيوانية	٦-١-٣
٤٤	التشخيص الجزيئي	٧-١-٣
٥٢	توزيع العزلات المرضية لبكتيريا <i>E. coli</i>	٨-١-٣
٥٢	توزيع العزلات المرضية لبكتيريا <i>E. coli</i> حسب الجنس	١-٨-١-٣
٥٣	توزيع العزلات المرضية لبكتيريا <i>E. coli</i> حسب العمر	٢-٨-١-٣
٥٤	توزيع العزلات المرضية لبكتيريا <i>E. coli</i> حسب جينات بيتا لاكتام	٣-٨-١-٣
الاستنتاجات والتوصيات		
٥٧	الاستنتاجات والتوصيات	
٥٧	الاستنتاجات	
٥٧	التوصيات	
٥٨	المصادر	
٧٣	الملاحق	

قائمة الجداول

الصفحة	الجداول	ت
٣١	مكونات وحجوم مزيج تفاعل البلمرة المتسلسل	٨-٢
٣١	الأوضاع الحرارية المثلثى لدورات تفاعل البلمرة المتسلسل في جهاز التدوير الحراري	٩-٢
٥٦	توزيع الجينات المشفرة لصفة المقاومة و عوامل الضراوة في العزلات البكتيرية قيد الدراسة	١-٣

قائمة الأشكال

الصفحة	الشكل	ت
٤٧	الترحيل الكهربائي لناتج تفاعل البلمرة المتسلسل لجين eae	١٠-٣
٤٨	الترحيل الكهربائي لناتج تفاعل البلمرة المتسلسل لجين bfpA	١١-٣
٤٨	الترحيل الكهربائي لناتج تفاعل البلمرة المتسلسل لجين STX١	١٢-٣
٤٩	الترحيل الكهربائي لناتج تفاعل البلمرة المتسلسل لجين STX٢	١٣-٣
٥٠	الترحيل الكهربائي لناتج تفاعل البلمرة المتسلسل لجين CTX-M	١٥-٣
٥١	الترحيل الكهربائي لناتج تفاعل البلمرة المتسلسل لجين TEM	١٦-٣
٥١	الترحيل الكهربائي لناتج تفاعل البلمرة المتسلسل لجين SHV	١٧-٣

قائمة الملاحق

الصفحة	الملحق	ت
٧٣	نتائج فحص عينات البراز قيد الدراسة تحت المجهر الضوئي	١
٧٣	النسبة المئوية لاحتمالية تشخيص عزلات بكتيريا <i>E. coli</i> باستعمال نظام الفايتاك	٢
٧٤	نتيجة التشخيص باستعمال نظام الفايتاك	٣
٧٥	مقاومة عزلات بكتيريا <i>E. coli</i> للمضادات الحيوية	٤

Abbreviation	Key
aEPEC	atypical Enteropathogenic <i>E. coli</i>
<i>bfpA</i>	Bundle-forming pilus major subunit
β -Lactamase	Beta-Lactamase
Bp	Base Pair
CLSI	Clinical And Laboratory Standards Institute
CNF	Cytotoxic necrotizing factor
<i>CTX-M</i>	Cefotaximase, B-Lactamase Active On Cefotaxime
DEC	Diarrheagenic <i>Escherichia coli</i>
<i>eae</i>	Intimin Gene
EAF	<i>E. coli</i> adherence factor
EHEC	Enterohemorrhagic <i>E. coli</i>
EMB	Eosin Methylene Blue
EPEC	Enteropathogenic <i>E. coli</i>
ESB.Ls	β -Lactamases extended –spectrum
GUD	β -glucuronidase
HUS	Haemolytic uraemic syndrome
LPS	Lipopolysaccharide
LT	Heat -labile toxin
PCR	Polymerase Chain Reaction
<i>SHV</i>	β -lactamase (Sulphydryl reagent variable)
ST	Heat -stable toxin
<i>stx</i> '	Shiga toxin first
<i>stx</i> ''	Shiga toxin second
<i>TEM</i>	β -lactamase named after the patient (Temoneira) providing the first sample
tEPEC	typical Enteropathogenic <i>E. coli</i>
TSI	Triple sugar agar
TSS	Type-three-secretion-system
UPEC	Uropathogenic <i>Escherichia coli</i>

الفصل الأول

المقدمة و استعراض المراجع

١- المقدمة واستعراض المراجع

١-١ المقدمة Introduction

تعد بكتيريا *E. coli* هي واحدة من أفراد العائلة المغوية ، والأكثر شيوعاً واهمية في جنس *Escherichia* ، إذ تعيش بصورة طبيعية في القناة المغوية للإنسان والحيوان وايضاً توجد في التربة والماء ، وتنمو تحت أوضاع هوائية او لاهوائية ، وتمتلك وسائل تساعدها على الحركة و الالتصاق بأنسجة المضيف مثل الأهداب والاسواط ، وأغلب افرادها تكون متحركة، وتسبب العديد من الأمراض للإنسان، إذ تعد بكتيريا *E. coli* السبب الأكثر شيوعاً لإصابة القناة البولية ، كما تسبب الإسهال وتسمم الدم، وتعد من البكتيريا الممرضة الانتهازية عند ضعف مناعة المضيف (Murray *et al.*, ٢٠١٦). وايضا تكون مسؤولة عن الالتهاب الرئوي المرتبط بأجهزة التنفس الصناعي (Garreto *et al.*, ٢٠٢٠). وتعتبر بكتيريا اشريشيا القولون *E. coli* السبب الرئيس للإسهال لدى الأطفال دون سن الخامسة ثم يليها روتافايروس A ثم يليها الطفيليات (Saeed *et al.*, ٢٠١٥).

تمتلك سلالات بكتيريا *E. coli* الممرضة عوامل ضراوة متخصصة تزيد من قدرة البكتيريا على التسبب بالكثير من الإصابات المرضية ، و تقسم عوامل الضراوة إلى فئتين هي تراكيب الالتصاق التي تمكن البكتيريا من الالتصاق والتغلب على الجهاز المناعي للمضيف ، والسموم الداخلية والخارجية المسؤولة عن الإصابة ، على سبيل المثال سم متعدد السكريادي الدهني من السموم الداخلية الذي تسبب تخثر الدم من خلال ارتباطه ببروتينات موجودة في الاوعية الدموية ، وسموم تحول خلايا الدم الحمراء للمضيف ، وسموم مغوية مثل السموم المستقرة بالحرارة والمتغيرة بالحرارة التي تسبب اسهال من خلال احداث خلل في الوظيفة البايولوجية لخلية المضيف يؤدي إلى إفراز الماء و الالكتروليات الى خارج الخلية ، تساهم الاهداب بعملية الالتصاق بالخلايا الظهارية للمضيف وايضا في تكوين الاغشية الحيوية التي تحمي البكتيريا من الاجسام المضادة للمضيف و تمنح البكتيريا صفة مقاومة المضادات الحياتية .

تعد بكتيريا اشريشيا القولون الممرضة للأمعاء المسبب الرئيس للإسهال عند الأطفال الرضع ولاسيما في البلدان النامية ، و أهم ما يميز بكتيريا اشريشيا القولون الممرضة للأمعاء هو القدرة على احداث اضرار موضعية عن طريق الالتصاق بإحكام على سطح الخلايا الظهارية المغوية (Jawetz *et al.*, ٢٠١٩) . جميع سلالات بكتيريا بكتيريا اشريشيا القولون الممرضة للأمعاء تحمل الجين *eae* ، و تعد اشريشيا القولون البكتيريا الممرضة للأمعاء نموذجية إذا كانت حاملة للجينين *eae & bfpA* ، و بكتيريا اشريشيا القولون الممرضة للأمعاء غير نموذجية إذا كانت تحمل الجين *eae* فقط (Snehaa *et al.*, ٢٠٢١) . تسبب بكتيريا اشريشيا القولون النزفية للقولون الإسهال الدموي(Tareen *et al.*, ٢٠١٩) . و كذلك متلازمة انحلال الدم البيرمي الذي يُعد سبباً رئيساً للفشل الكلوي عند الأطفال (Bia *et al.*, ٢٠٢٢) . تمتلك بكتيريا بكتيريا اشريشيا القولون النزفية للأمعاء عوامل

ضراوة مهمة مثل انتاج سموم الشبكا النوع الأول والثاني stx_1 , stx_2 ، التي يمكن أن تسبب ضرراً موضعاً في القولون مما يؤدي إلى نخر الامعاء فضلاً عن إسهال دموي (Kaper *et al.*, ٢٠٠٤).

و تمتلك بكتيريا *E. coli* القدرة لمقاومة المضادات الحيوية لاحتوائها على انزيمات مثل انزيمات بيتا لاكتام ، التي تمنح صفة مقاومة المضاد الحيوي البنسلين (Penicillin) و السيفالوسبورين (Cephalosporin) ، وتشفر هذه الانزيمات بواسطة جينات مثل *CTX-M*, *TEM*, *SHV* (Jawetz *et al.*, ٢٠١٩). وهذه الجينات عادة ما تكون محمولة على بلازميدات ، ويمكن أن تحمل البلازميدات جينات مقاومة لعدد من فئات مختلفة من المضادات الحيوانية غير ذات صلة (McCloskey *et al.*, ٢٠١٨). ووجد إن استعمال المضادات الحيوانية بشكل عشوائي أدى إلى زيادة السلالات البكتيرية المقاومة للمضادات الحيوية المتعددة (Hamza & Omran , ٢٠٢٢) . ولهذا من الضروري إجراء اختبار الحساسية الدوائية من أجل تحديد المضاد الحيوي الفعال قبل وصف المضاد ، وبالتالي يمكن التقليل من ظهور السلالات المقاومة (Khan *et al.*, ٢٠١٩) .

وفرت التقنيات الجزيئية الحديثة أفضل الوسائل التشخيصية ومنها تقنية تفاعل تضاعف البلمرة المتسلسل Polymerase Chain Reaction (PCR) وهي التقنية الأكثر شيوعاً والمقبولة على نطاق واسع مع دقة عالية جداً للتشخيص الصحيح (Rahman *et al.*, ٢٠١٣) . و يمكن التحري عن سلالات بكتيريا *E. coli* المعزولة من العينات السريرية (Stool) باستعمال تقنية (PCR) من خلال الكشف عن الجينات التي تشفر لإنتاج عوامل الضراوة ويمكن اعتماد هذه العوامل كمؤشرات جزيئية في الدراسات التشخيصية عند التحري عن هذه البكتيريا (Fujioka *et al.*, ٢٠١٣) . وقد اجريت الدراسة الحالية باستعمال تقنية Monoplex PCR ، والتي تعد من التقنيات الشائعة وذات الكفاءة ودقة في الكشف الجزيئي ، إذ وجدت دراسة سابقة إن نتائج التشخيص بتقنية Multiplex PCR كانت متطابقة مع نتائج التشخيص بتقنية Monoplex PCR الجينات المرضية نفسها ، *eae* ، *bfpA* ، *stx_1*, *stx_2* (Fujioka *et al.*, ٢٠١٣) . فقد تم تشخيص البكتيريا بالاعتماد على الجينات *eae* ، *bfpA* ، *stx_1*, *stx_2* التي تحملها البكتيريا الممرضة للأمعاء ، والجينات *stx_1*, *stx_2* التي تحملها البكتيريا النزفية للأمعاء ، وهذه الجينات تشفر لعوامل الضراوة التي تسبب الإسهال (Khairy *et al.*, ٢٠٢٠) . وايضاً تم التحري عن الجينات التي تشفر لصفة مقاومة المضاد الحيوي بيتا لاكتام وهي (*CTX-M*, *TEM*, *SHV*) (Khairy *et al.*, ٢٠٢٠) ; (Amin *et al.*, ٢٠١٨) . وأجريت هذه الدراسة الحالية بهدف التحري عن وجود بكتيريا اشريشيا القولون المسببة للإسهال و التحري عن بعض عوامل الضراوة التي تمتلكها و علاقتها بمقاومة المضادات الحيوية من خلال المحاور الآتية :

الفصل الأول

- عزل وتشخيص بكتيريا *E. coli* من عينات البراز للأطفال من دون عمر ٥ سنوات المصابين بأعراض الاسهال ، وزرع العينات ، وإجراء الاختبارات الكيموحيوية وتشخيص البكتيريا باستعمال نظام الفايتاك Vitek^٢ ، و إجراء اختبار الحساسية للعزلات البكتيرية .
- التحري عن وجود أو غياب الجينات التي تشفّر لعوامل الضراوة مثل *eae* , *bfpA* , *stx^١* , *stx^٢* في بكتيريا *E. coli* المعزولة من العينات المرضية باستعمال تقنية (PCR) .
- التحري عن وجود أو غياب الجينات التي تشفّر لصفة مقاومة المضادات الحيوانية لمجموعة البيتا لاكتام وهي *CTX-M* , *TEM* , *SHV* .

١ - ٢ استعراض المراجع Literature review

١-٢-١ الإسهال Diarrhea

يُعد الإسهال ثاني أهم أسباب وفاة الأطفال دون سن الخامسة على مستوى العالم، كما يمكن أن تؤدي نوبات الإسهال المتكررة إلى سوء التغذية وتأخر نمو الدماغ، إذ يمثل الجفاف أشد الأخطار التي تجم عن الإسهال، ويحدث عندما لا تعيش العناصر المفقودة مثل الصوديوم ، والكلوريد ، والبوتاسيوم ، والبيكربونات والماء أثناء نوبة المرض ، ويحدث الإسهال أساساً جراء الأغذية ومصادر المياه الملوثة ، وإن امكانية الوقاية والعلاج من هذا المرض تعد من العوامل الايجابية لتجنب المرض ، ويمكن أن تشمل أعراض الإسهال تغوط متكرر رخو أو سائل ، والغثيان ، والقيء ، وحمى ، وتشنج أو الم البطن (Manetu *et al.*, ٢٠٢١). و يقدر عدد الوفيات السنوية بسبب الإسهال في البلدان النامية بحوالي ٢.٥ مليون (Estrada - Garcia *et al.*, ٢٠٠٩ ; Barletta *et al.*, ٢٠٠٩) . و ذكرت دراسة ان هناك ١.٧ مليار حالة إسهال سنويًا و ٧٦٠٠٠ حالة وفاة بين الأطفال دون عمر ٥ سنوات كل عام من جراء الإسهال (Dong *et al.*, ٢٠٢٠) .

و يمكن ايجاز العوامل المسيبة للإسهال بالعوامل البكتيرية ، و الفايروسيّة و الطفيليّة ، إذ تحدث الغالبية العظمى من نوبات الإسهال عن طريق المسببات الفايروسيّة التي تظهر في موسم الشتاء (podewils *et al.*, ٢٠٠٤) . و من مسببات الإسهال البكتيرية عند الأطفال دون سن الخامسة هي : الشигيلا , *Shigella spp* ، السالمونيلا ، *Vibrio cholera* ، *Diarrheagenic Escherichia coli* ، *Salmonell spp* ، *Aeromonas spp* ، *Tian*) *Compylobacter* ، *Yersinia entrocolitica* *Plesiomonas spp* ، *Aeromonas spp* ، (et al., ٢٠١٦) . وضحت الدراسات السابقة إن بكتيريا *E. coli* هي السبب الرئيس للإسهال عند الأطفال دون سن الخامسة ، يليها روتا فايروس والطفيليات (Saeed *et al.* , ٢٠١٥) .

و بيّنت دراسة محلية (Tuky & Semender , ٢٠١٩) في بابل إن التخلص غير السليم من مياه الصرف الصحي ، وعادات غسل اليدين السيئة ، وانخفاض الدخل الاسري من أكثر العوامل شيوعاً للإصابة بالإسهال الحاد لدى الأطفال . وأشارت دراسة محلية حديثة (Harb *et al.*, ٢٠٢١) في ذي قار إلى حاجة تعزيز التحفيظ الصحي العام لأمهات الأطفال ، وتجنب الاستعمال غير الضروري لمضادات الميكروبات .

١-٢-٢ العائلة المغوية Enterobacteriace

العائلة المغوية مجموعة كبيرة من العصيات السالبة لصبغة كرام ، و توجد في التربة والماء وبصورة طبيعية في القناة المغوية للإنسان والحيوان ، و تضم العديد من الأجناس على سبيل المثال الأكثر شيوعاً ، *Escherichia spp* , *Shigella spp* , *Salmonella spp* , *Serratia spp* , *Proteus spp* , *Klebsiella spp* (Facultative Aerobic) او لاهوائية اختيارية (anaerobic) . و من صفات أفرادها هوائية (Aerobic) او لاهوائية اختيارية (Facultative Aerobic) . و تتميز العائلة المغوية بقدرة البكتيريا على تخمر سكر اللاكتوز ، إذ تتميز العائلة المغوية بالقدرة على تخمر سكر اللاكتوز ، مما يتيح تمييزها عن البكتيريا التي لا تخمر سكر اللاكتوز ، تصنف العائلة المغوية مصلياً (Serologic) بالاعتماد على ثلاثة مستضدات (Antigens) رئيسية هي : somatic (O)-antigen المستضد الجسمي و يظهر في متعدد السكريات الدهنية (Lipopolysaccharide) وهو مهم للتعرف على السلالات (Strains) داخل النوع (Flagella) و يظهر في الكبسول (Capsule) و المستضد H- antigen يكون في أسواط (K- antigen) . و هذه المستضدات وغيرها من عوامل الضراوة مثل الإنزيمات والسموم تزيد من قدرة البكتيريا المغوية على التسبب بالكثير من الإصابات المرضية للإنسان داخل القناة الهضمية مثل الإسهال (Diarrhea) ، و إصابات القناة البولية (Urinary tract infections) ، و إصابات الجهاز التنفسى (Respiratory tract infections) ، و السحايا (Meningitis) ، و تسمم الدم (Septicemia) وغيرها من الإصابات (Jawetz et al., ٢٠١٩).

٣-٢-١ بكتيريا *Escherichia coli*

بكتيريا *E. coli* هي واحدة من أفراد العائلة المغوية ، والأكثر شيوعاً وأهمية في جنس *Escherichia* ، ويعيش في القناة المغوية للإنسان والحيوان بصورة طبيعية (Normal flora) ، وتعد من البكتيريا الممرضة الانهازية (Opportunistic pathogen) عندما تكون دفاعات المضيف الطبيعية ضعيفة ، و لاسيما في مرحلة الطفولة او الشيخوخة ، و تسبب أمراض متنوعة مثل الإسهال فتسمى Diarrheagenic *Escherichia coli* ، وتسرب (DEC) ، وعندما تصيب القناة البولية فتسمى Uropathogenic *Escherichia coli* (UPEC) ، وتصيب أيضاً التهاب السحايا لدى حديثي الولادة (Neonatal meningitis) ، و تسمم الدم (Septicemia) إذ تمتلك سلالات بكتيريا *E. coli* الممرضة عوامل ضراوة متخصصة يمكن تصنيفها في فئتين عامتين هي تراكيب الالتصاق (Adherence) والسموم (Toxins) الداخلية والخارجية (Murray et al., ٢٠١٦). تمتلك بكتيريا *E. coli* ثلاثة مستضدات وهي مستضد الجدار الخلوي O-antigen ، مستضد السوط H-antigen ومستضد الكبسول K-antigen ، و نظراً لوجود أكثر من ١٥٠ مستضد O-antigen ، ٥٠ مستضد H-antigen و ٩٠ K-antigen.

مستضد K-antigen نتج من هذه التركيبات المتوعة أكثر من ١٠٠٠ نوع مستضد (Antigenic type) من بكتيريا *E. coli* (Levinson, ٢٠١٦). وعلى الرغم من تطوير الأوساط الانتقائية للكشف عن اشريشيا القولون ، إلا إن التفريق بين سلالاتها المسيبة للأمراض و غير المسيبة للأمراض أمر صعب بسبب تشابه خصائصها الكيميائية الحيوية ، لهذا ازداد استعمال تقنية تفاعل البلمرة المتسلسل (PCR) الذي يُعد من الطرائق الجزيئية الحديثة الفعالة لتشخيص بكتيريا اشريشيا القولون المسيبة للأمراض (Yim et al., ٢٠٢١).

إن أصل مقاومة البكتيريا للمضادات الحيوية أما جينات محمولة على كروموسومات أو على البلازميدات ، وواحدة من الطرائق لتحديد أصل المقاومة هي التخلص من البلازميد ، إذ استعملت هذه الطريقة مع عزلات بكتيريا اشريشيا القولون (Oriamah & Akpe, ٢٠١٩).

١-٣-٢-١. الصفات العامة لبكتيريا *E. coli*

هي من العصيات السالبة لصبغة كرام لاهوائية اختيارية (Facultative anaerobic) و أغلب سلالاتها تخمر اللاكتوز ، و سالبة لاختبار الاوكسيديز (Oxidase) ، و موجبة لاختبار الكتاليز (Catalase) (Levinson, ٢٠١٦). وأغلب افرادها متحركة بواسطة أسواط محيطية (Peritrichous flagella) و تمتلك أهداب (شعيرات) Fimbriae(Pill) او بروتينات ليفية (Fibrilar proteins) و غالباً ما تمتد بأعداد كبيرة على سطح الخلية البكتيرية (Pakbin et al., ٢٠٢١). إذ تخزل النترات الى نتريت كجزء من عمليات توليد الطاقة ، و موجبة لاختبار الاندول (Indol) وهو اختبار مهم لتفريقها عن بقية العصيات السالبة لصبغة كرام ، وتكون موجبة لاختبار (Acetate) الذي تستعمله كمصدر للكarbon، سالبة لاختبار اليوريز (Urease) ولا تنتج كبريتيد الهيدروجين H₂S في وسط السكر الثلاثي (TSI) (Levinson , ٢٠١٦). و موجبة لاختبار المثيل الاحمر (Methyl red) ، و سالبة لاختبار السترات (Citrate) و اختبار فوكس - بروسكاور ماكونكي (MacConkey agar) ومستعمرات خضراء معدنية على وسط ايوسين المثلين الازرق (Eosin) ، غير مكونة للأبواخ ، و معظمها منتجة لإنزيم (methylene blue agar β-glucuronidase(GUD)) بعض أنواعها لها القدرة على تحليل كريات الدم الحمراء في وسط غراء الدم (Blood agar) لامتلاكها إنزيم تحل الدم (Hemolysin) ، و معظمها تخمر سكر السوربيتول ، ولا تنمو بوجود سيانيد البوتاسيوم KCN ، ودرجة الحرارة المثلث لنموها هي ٣٧ م (Jawetz et al., ٢٠١٩).

٢-٣-٢-١ تصنیف بکتیریا Classification of *E. coli*

تنتمي بکتیریا *E. coli* ، الذي سمي على اسم عالم الاحیاء المجهرية الذي اكتشفه Theodor Escherichia عام ١٨٨٥ م ، و ذلك خلال دراسته البکتیریا التي تستوطن امعاء الرضع بعد الولادة مباشرةً كبکتیریا قولون متعایشة شائعة ، إذ يضم جنس *Escherichia* خمسة انواع :

الصلة من الناحية الوراثية مع باقي أجناس العائلة المغوية ، ولاسيما جنس الشیکیلا *Shigella* ، والأكثر شيوعاً وأهمية في إصابات الإنسان وامراضيه (Olowe *et al.*, ٢٠١٧) .

صنفت بکتیریا *E. coli* كالآتي :

Phylum : Proteobacteria

Class : Gammaproteobacteria

Order : Enterobacteriales

Family : Enterobacteriaceae

Genus : *Escherichia*

Species : *Escherichia coli*

(Engelkirk and Duben - Engelkirk , ٢٠١٥) .

٣-٣-٢-١ Diarrheagenic *Escherichia coli* (DEC)

تصنف سلالات بکتیریا اشريشیا القولون المرتبطة بالإسهال الى ست مجتمع بناءً على المعايير السريرية والوبائية والجزئية :

١- اشيرشیا القولون المغوية النزفیة Enterohemorrhagic *E. coli* (EHEC)

٢- اشيرشیا القولون المغوية الممرضة Enteropathogenic *E. coli* (EPEC)

٣- اشيرشیا القولون المغوية السمية Enterotoxigenic *E. coli* (ETEC)

٤- اشيرشیا القولون المغوية الغازیة Enteroinvasive *E. coli* (EIEC)

٥- اشيرشیا القولون المنتشرة بالالتصاق Diffusely Adhering *E. coli* (DAEC)

٦- اشيرشیا القولون المغوية المتكثلة Entroaggregative *E. coli* (EAEC) .(Heydari *et al.*, ٢٠٢٠)

Enterohemorrhagic *E. coli* (EHEC) ١-٣-٣-٢-١

تعد اشريشيا القولون النزفية للأمعاء (EHEC) من المجموعة المسئبة للأمراض ، إذ يمكن أن تسبب إسهالاً دموياً (Tareen *et al.*, ٢٠١٩). و كذلك متلازمة انحلال الدم اليورمي Haemolytic Uraemic Syndrome (HUS) وهو السبب الرئيس للفشل الكلوي الحاد عند الأطفال (Bia *et al.*, ٢٠٢٢). و تمتاز هذه البكتيريا أيضاً بقدرتها على تحلل الدم المشفر بواسطة البلازميدات ، و غالباً ما يرتبط الهيمولايسين المعاوي (Enterohaemolysin) بالأمراض البشرية مثل التهاب القولون النزفي ومتلازمة انحلال الدم اليورمي (Shiga toxins) (Schwidder *et al.*, ٢٠١٩). إذ تمتلك هذه البكتيريا عوامل ضراوة مهمة مثل سموم الشيكا من النوع الأول والثاني (stx_{1,2}) والانتمين *eaeA* ، و تسبب سلالات اشريشيا القولون النزفية للأمعاء التي تنتج سموم الشيكا تلهاً موضعياً في القولون مما يؤدي إلى نخر وثقب الأمعاء فضلاً عن إسهال دموي ، و عندما تستهدف سموم الشيكا الكلى تسبب تلف الخلايا البطانية الكلوية وانسداد الاوعية الدموية الدقيقة وينتج عن ذلك التهاب الكلية المؤدي إلى متلازمة انحلال الدم اليورمي (Kaper *et al.*, ٢٠٠٤). و يعتمد خطر الإصابة بمتلازمة انحلال الدم اليورمي بسبب القولونية النزفية المنتجة لسموم الشيكا على عدة عوامل منها مناعية ، و نمط الحياة، و نوع السم، و النمط المصلبي (Serotype) وجرعة الإصابة (Travert *et al.*, ٢٠٢١). إذ تسمى اشريشيا القولون النزفية بإسم اشريشيا القولون المنتجة لسموم الشيكا (Luna-Guevara *et al.*, ٢٠١٩).

و يعد النمط المصلبي (Serotype) O_{157:H7} في القولونية النزفية من أهم الانماط المصلبية لتلك البكتيريا ، و إن شدة المرض الذي تسببه مع جرعته المعدية المنخفضة تؤهل O_{157:H7} لتكون من بين أخطر مسببات الأمراض المنقولة بالغذاء و الماء (Rani *et al.*, ٢٠٢١). و يمكن عد بكتيريا O_{157:H7} سبياً غير شائع ولكنه خطير لالتهاب المعدة والأمعاء (Pennington *et al.*, ٢٠١٠). و تمتاز بكتيريا O_{157:H7} بعدم قدرتها على تخمر سكر السorbitol (Sorbitol) وهي صفة مهمة للتمييز بينها وبين بقية سلالات *E. coli* ، و يعد وسط غراء الكروم (Chrom agar) وسط مفيد للكشف عن بكتيريا O_{157:H7} (Jenkins *et al.*, ٢٠٢٠).

من الانماط المصلبية الأخرى للبكتيريا التي تسبب أمراض سريرية شديدة و ايضاً تنتج سموم الشيكا هي : O_{145:H28}, O_{145:H19}, O_{121:H19}, O_{111:H8}, O_{111:H11}, O_{45:H2}, O_{103:H2} (Bieche - Terrier *et al.*, ٢٠١٩). و غالباً ما يحمل النمط المصلبي نفسه جينات ضراوة مختلفة وبالتالي يسبب أنواعاً مختلفة من الأمراض على سبيل المثال النمط المصلبي O_{26:H11} يحمل جينات *stx* ١ التي نادراً ما تسبب حدوث HUS ، وأيضاً تحمل جينات *stx* ٢ الأكثر شيوعاً في حدوث متلازمة انحلال الدم اليورمي (Ogura *et al.*, ٢٠١٥).

Enteropathogenic *E. coli* (EPEC) ٢-٣-٣-٢-١

بكتيريا اشريشيا القولون الممرضة للأمعاء (EPEC) هي سبب مهم للإسهال عند الرضع ، ولاسيما في البلدان النامية ، و تتميز العدوى عند الرضع بالإسهال المائي الحاد ، والتقيؤ ، والحمى و يمكن أن تكون هذه أعراض مزمنة (Jawetz *et al.*, ٢٠١٩). و تشتهر بكتيريا اشريشيا القولون الممرضة للأمعاء المعزولة من الإنسان والحيوان في بعض الخصائص مثل عوامل الضراوة المرتبطة بالإسهال البشري ، وتسبب بعض المجموعات والأنماط المصلية لهذه البكتيريا امراض للإنسان مثل O١٤٥, O١٠٨, O١١١ (Beraldo *et al.*, ٢٠٢٢).

إنّ أهم ما يميز بكتيريا EPEC هو القدرة على إنتاج أضرار موضعية عن طريق الالتصاق بإحكام على سطح الخلية الظهارية ، مما يؤدي إلى تعطيل اسطح الخلايا وفي النهاية إزالة الزغابات الدقيقة (Microvilli) ، و يمكن تصنيف بكتيريا EPEC إلى بكتيريا نموذجية typical EPEC وغير نموذجية atypical EPEC ، بناءً على وجود أو عدم وجود عامل الالتصاق البلازميدي (EAF) (*E. coli* Adherence Factor) ، و تحمل كل سلالات بكتيريا الممرضة للأمعاء جين eae سواء أكانت سلالاتها نموذجية tEPEC أم غير نموذجية aEPEC (Andras *et al.*, ٢٠٢٢) . سلالات بكتيريا EPEC النموذجية تحمل الجينين eae + bfpA ، بينما السلالات غير النموذجية تحمل الجين eae دون الجين bfpA (Snehaa *et al.*, ٢٠٢١) .

و إنّ ضراوتها تتضمن عدد من المراحل المتميزة ، إذ يتم الالتصاق الأولى بخلايا الغشاء المخاطي المعاوي بواسطة الاهداب مما يؤدي إلى شكل مميز من الالتصاق الموضعي ، و قد ينتج الإسهال عن طريق تغير نفاذية الغشاء المخاطي وأيضاً من خلال آلية سوء الامتصاص (Govidarajan *et al.*, ٢٠٢٠) . لطريقة الالتصاق دور مهم في زيادة الامراضية لهذه السلالات ، وبعد الانتماء Intimin الموجود في بكتيريا EPEC بروتين رئيس وهم في عملية الالتصاق ، إذ يتوسط ارتباط البكتيريا بسطح الخلية الظهارية والذي يشفّر له بواسطة الجين eae المحمول على الكروموسوم البكتيري مع العديد من الجينات الأخرى المهمة أيضاً في إحداث الامراضية ، و يتم تسهيل الارتباط عن طريق Tir وهو مستجيب (Effector) يتم ادخاله في الغشاء البلازمي للمضيف ، إذ يعمل كمستقبل للانتماء ، و من خلال نظام من النوع الثالث للإفراز (T₃SS) Type-Three-Secretion-System يمكن لبكتيريا EPEC حقن عدد كبير على الأقل خمسة وعشرون من البروتينات المستجيبة في خلايا المضيف ، و جين bfp الذي يشفّر تكوين حزمة الاهداب من النوع الرابع التي لها دور بعملية الالتصاق (Mare *et al.*, ٢٠٢١)

٤-٣-٢-١ امراضية بكتيريا *E. coli*

تسبب بكتيريا اشريشيا القولون العديد من الأمراض للإنسان ، حيث تدرج بكتيريا *E. coli* ضمن أكثر المجموعات أهمية فهي تعد المسبب الأكثر انتشاراً لعدوى المسالك البولية ، إذ تصيب الإناث أكثر من الذكور (Shah *et al.*, ٢٠١٩) . وأيضاً تعد السبب الأكثر شيوعاً لتجرث الدم ، وتساهم عدوى المسالك البولية بنسبة ٥٣٪ (Bonten *et al.*, ٢٠٢١) كمصدر أولي لتجرث الدم .

و أيضاً تسبب الأمراض المعوية أو الإسهال (Enteric or Diarrheal diseases) ، إذ تسبب سلالات بكتيريا *E. coli* المرضية الإسهال بسبب السموم التي تفرزها على سبيل المثال السموم المتغيرة بالحرارة والسموم الثابتة بالحرارة اللذان يسببان إسهال مائي (Motyko *et al.*, ٢٠٢١) . تفرز بكتيريا اشريشيا القولون السامة للأمعاء سلالات Enterotoxigen *E. coli* (ETEC) سموم معوية (Enterotoxin) ، إذ تكون هذه السموم ضمن مجموعتين الأولى هي السموم المستقرة بالحرارة (ST) Heat -Stable toxin ، والمجموعة الثانية هي السموم المتغيرة بالحرارة (LT) Heat -Labile toxin ، فتفرز بعض سلالات بكتيريا ETEC هذه السموم تحت سيطرة مجموعة من البلازميدات المختلفة ، وأيضاً تحمل جينات تشفر لعوامل الالتصاق بالخلايا الطلائية المبطنة للأمعاء ، ويعتمد تأثير السموم المعوية الصافي على الوظيفة البيولوجية لخلية المضييف من خلال احداث خلل يؤدي إلى إفراز الماء والإلكترونات (Electrolytes) إلى خارج الخلية مسببة إسهال مائي (Jawetz *et al.*, ٢٠١٩) . تمثل السموم المتغيرة بالحرارة تقريباً مع سموم الكولييرا في الوظيفة والبنية التركيبية إلا أنها أقل فعالية ، بينما السموم المستقرة بالحرارة تشبه السموم المتغيرة بالحرارة في الوظيفة لكنها أقل منها في الوزن الجزيئي (Levinson, ٢٠١٦) . و أيضاً تسبب سموم الشيكا النوع الأول والثاني الإسهال الدموي وغير دموي (Ardissino *et al.*, ٢٠٢١) .

٤-٣-٢-١ ضراوة بكتيريا *E. coli*

تمتلك بكتيريا *E. coli* العديد من عوامل الضراوة التي تزيد من امراضيتها ، و من هذه العوامل السموم الخارجية (Exotoxin) التي تشمل السموم الخلوية (Cytotoxin)، والسموم التي تعمل كمثبتات تصنيع البروتين ، والسموم التي تغير مسارات الارسال (Messenger pathways) في خلايا المضييف ، فعلى سبيل المثال من السموم الخلوية التي تسبب تحلل كريات الدم الحمراء للمضييف، ويكون بعدة أشكال (الфа α ، بيتا β ، كاما γ) ، و يفرز هيمولايسين الفا (α - hemolysin) في حالة إصابة المسالك البولية ، و يعد عامل

النخر السام (CNF) cytotoxic necrotizing factor من السموم التي تعطل الاشارات الخلوية مع تأثيرات متعددة ، و غالباً ما يتم انتاج CNF بالتنسيق مع الفا هيمولاسين ، و تعد سموم الشيكا التي تثبط تصنيع البروتين كمثال على السموم الخارجية ، إذ تظهر توجد بشكليين جزيئين (stx₁) Shiga toxin₁ و (stx₂) Shiga toxin₂ ، وكان يعتقد سابقاً إن هذا ، واطلق عليها هذا الاسم نسبة للعالم الذي اكتشف بكتيريا *Shigella desentriae* ، و ينتج السم الجيني colibactin من الايسنثانوي إذ يتسبب في حدوث انكسار مزدوج للحامض النووي البشري و له دور في مسببات سرطان القولون والمستقيم للإنسان (Dziubanska-Kusibab *et al.*, ٢٠١٩). فضلاً عن ذلك فإنّ سم microcin B₁₇ الذي تفرزه بعض سلالات بكتيريا *E. coli* تحت سيطرة البلازميد يمنع تضاعف الحامض النووي مما يمنح البكتيريا حماية من الانواع البكتيرية الأخرى إلى جانب سم bacterocin ، و أيضاً يمنح مقاومة للمضادات الحيوية . (Collin & Maxwell, ٢٠١٩).

يعد متعدد السكريات الدهني (LPS) من التراكيب السطحية الموجودة في الغشاء الخارجي (Outer membrane) ، إذ يمثل نوعاً من أنواع السموم الداخلية (Endotoxin) ، و يتكون من ثلاثة مناطق رئيسية هي دهون A lipid ، وهذا التركيب مسؤول عن نشاط السموم الداخلية ، وأيضاً احادي السكريات (Oligosaccharide core) والمستضد الجسمي (o) somatic antigen ، إذ يساهم بعملية الالتصاق والتغلب على مناعة المضيف ، علاوة على ذلك ، فإنّ ارتباط سم متعدد السكريات الدهني بالبروتينات الموجودة فيجرى الدم يحفز التخثر داخل الاوعية الدموية والموت من خلال خلل وظيفي كبير في الأعضاء مثل القلب ، الدماغ والكلى ، و يظهر مستضد k- antigen في المحفظة ، و يسهل ارتباط البكتيريا بالخلايا الظهارية مما يؤدي إلى غزو الجهاز الهضمي أو القناة البولية ، وإنّ بعض سلالات بكتيريا *E. coli* تنتج مستضد النوع الأول K1- antigen الذي يسبب التهاب السحايا عند حديثي الولادة ، و أوضحت دراسات سابقة إنّ بعض أنواع بكتيريا *E. coli* تتحرك بواسطة الأسواط ، وتحتوي على المستضد السوطي H- antigen حيث يساهم الأخير في عملية الالتصاق بخلايا المضيف والتغلب على مناعة المضيف (Jawetz *et al.*, ٢٠١٩).

ومن عوامل الضراوة الأخرى التي تمتلكها بكتيريا اشريشيا القولون هي الأهداب ، فالآهداب من نوع Fimbria type لها دور مهم في الالتصاق بالخلايا الظهارية البولية ، مما يساهم في تلف الكلية اثناء التهاب الحويضة والكلية الحاد (Day *et al.*, ٢٠٢١). و الأهداب من نوع Fimbria type تسهم بشكل كبير في الالتصاق بالخلايا الظهارية المعاوية للمضيف (Rajan *et al.*, ٢٠١٨). و تعد الأهداب والشعيرات من أهم العوامل التي تساعد البكتيريا على الالتصاق بالخلايا الظهارية للمضيف وهي الخطوة الاولى لإصابة المضيف، وتساهم في تكوين الاغشية الحيوية (Biofilms) التي تحمي البكتيريا من الأجسام المضادة antibody والمتعادلة neutrophils للمضيف ، و تمنح البكتيريا صفة مقاومة للمضادات الحيوية (Gajdács *et al.*, ٢٠٢١).

و تمتلك بكتيريا *E. coli* العديد من الانزيمات التي تمنحها صفة مقاومة للمضادات الحيوية منها انزيم بيتا لاكتام β -lactamase و التي تمنح البكتيريا صفة مقاومة للمضاد الحيوي البنسلين (Penicillin) والمضاد الحيوي سيفالوسبورين (Cephalosporin) ، و انزيم Carbapenemase (Carbapenemase) و التي تمنح البكتيريا صفة مقاومة لمضاد الكاربينيم (Carbapenem) . (Levinson, ٢٠١٦)

١-٢-٣-٥ السموم Toxins

تمتلك بكتيريا اشريشيا القولون *E. coli* العديد من عوامل الضراوة التي يمكن أن تسبب الأمراض للإنسان و الحيوان ، و منها على وجه الخصوص السموم ، إذ تمتلك بكتيريا *E. coli* نوعين من السموم وهي سموم داخلية المتمثلة بمتعدد السكرييد الدهني ، والسموم الخارجية وتشمل سموم خلوية و سموم تثبط تصنيع البروتين ، و سموم تغير مسارات الرسول في خلايا المضيف . (Sherris, ٢٠١٨)

السموم الداخلية (Endotoxins) هي سموم موجودة في الجدار الخلوي cell wall في البكتيريا السالبة لصبغة كرام ، والمتمثلة بمتعدد السكرييد الدهني (LPS) lipopolysaccharide ، وتنطلق هذه السموم فقط عند موت الخلية البكتيرية ، وتنتج تحت سيطرة جينات محمولة على كروموسوم (Chromosomal genes) ، وتمتاز هذه السموم بعدم وجود مستقبلات محددة لها في المضيف ، إذ تكون متوسطة السمية ومميتة للحيوانات بكمية عشرات الى مئات المايicro غرام ، و مستقرة نسبياً وتحتمل التسخين في درجات حرارة أعلى من ٦٠ م لساعات من دون فقدان تأثيرها السمي ، و تسبب السموم الداخلية الحمى للإنسان المصاب .

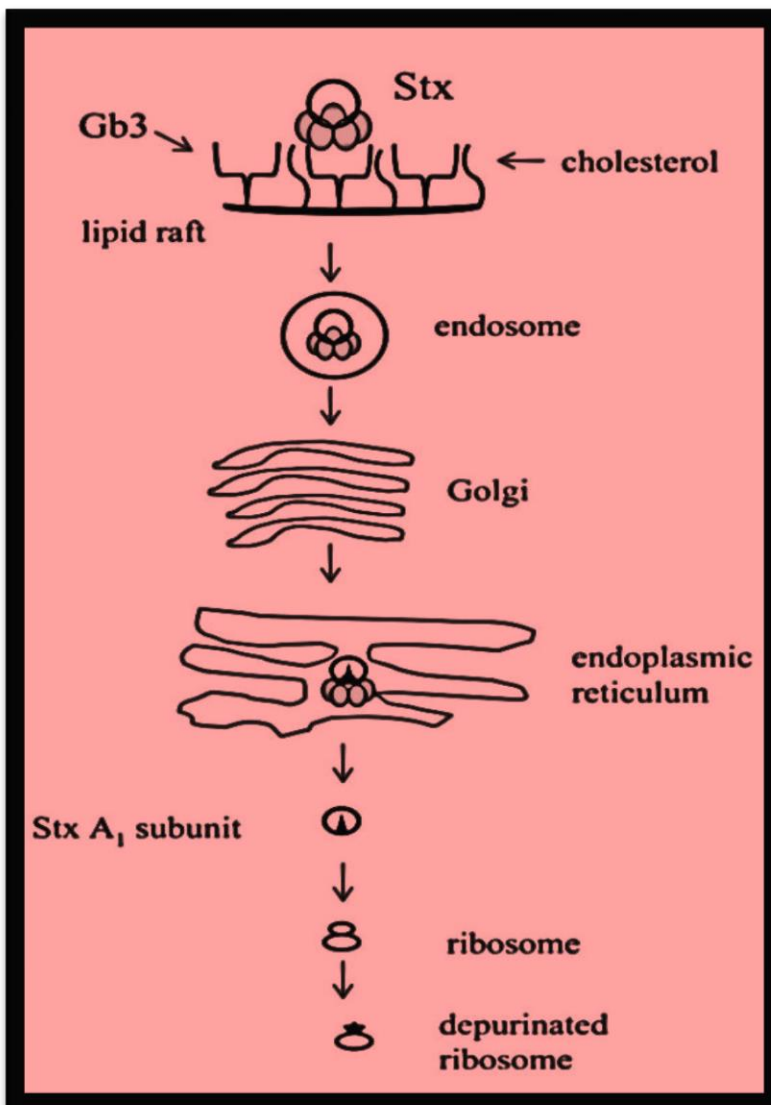
تفرز السموم الخارجية (Exotoxins) من قبل البكتيريا السالبة والموجية لصبغة كرام ، إذ تتكون من متعدد البيرتيد (Polypeptide) ، و تنتج السموم الخارجية تحت سيطرة جينات خارج الكروموسوم (Extrachromosomal genes) مثل الجينات المحمولة على البلازميدات ، و تفرز هذه السموم من قبل الخلايا البكتيرية الحية بتركيز عالي في الاوساط السائلة ، و ترتبط بمستقبلات محددة في خلايا المضيف، وتمتاز بأنها عالية السمية و مميتة للحيوانات بكميات المايicro غرام ، والسموم الخارجية غير مستقرة نسبياً إذ يمكن أن تتحطم بالتسخين عند درجة حرارة أعلى من ٦٠ م ، فأغلب السموم الخارجية تتكون من وحدتين فرعيتين هي الوحدة الفرعية A,B ، إذ تسهم الوحدة الفرعية B في الالتصاق ودخول مركب السم إلى الخلية المضيفة بينما الوحدة الفرعية A مسؤولة عن النشاط السام ، و لا تسبب حمى للمصاب ، و تحفز تكوين الأضداد (Antibodies) . (Jawetz et al., ٢٠١٩)

١-١-٥-٣-٢-١ سموم الشيكا Shiga toxins

سموم الشيكا Shiga toxins (Stx) هي سموم خلوية ترتبط تصنيع البروتين ، تتكون من ارتباط وحدة فرعية انزيمية enzymatic A subunit مع خمس وحدات فرعية متطابقة identical B subunit ، و هذه الوحدات الفرعية الخمسة تكون مسؤولة عن الارتباط بمستقبلات خلوية ، حيث ترتبط سموم الشيكا بمستقبل الجليكوليبيد (Glycolipid receptor) الموجود على سطح الخلية المستهدفة (Target cell) ، ثم يتم استيعاب معقدات سموم الشيكا (Stx-receptor complexes) بواسطة طرق النقل الى داخل الخلية ، بعد ذلك يتم نقلها الى جهاز كولجي (Golgi Apparatus) ثم الى الشبكة الاندوبلازمية حيث يتم تقسيم الوحدة الفرعية A الى أجزاء هي A₁ ، A₂ ، الجزء النشط A₁ ينقل إلى العصارة الخلوية (Cytosol) حيث يرتبط ارتباط aminoacyl-tRNA الذي يساهم في عملية استطالة البيتيد مما يؤدي إلى تشريح تصنيع البروتين وبالتالي موت الخلية ، إن قدرة السموم على تحفيز موت الخلايا قد تساهم في تطور الإسهال الدموي كما موضح في الشكل (١-١) (Cherla et al., ٢٠٠٣).

وهذه السموم تسبب متلازمة انحلال الدم اليورمي ، ولها تأثير قوي على الكلى ، ويمكن أن تتأثر أعضاء أخرى فتشمل مضاعفاتها السكتة الدماغية والتهاب القولون النزفي ونخر الامعاء ، ويمكن أن تحدث هذه المضاعفات أثناء المرحلة الحادة من متلازمة انحلال الدم اليورمي وأيضاً بعد الشفاء (Khalid & Andreoli, ٢٠١٩).

هناك نوعين رئيسيين من سموم الشيكا النوع الاول stx₁ وله ثلاثة انواع فرعية stx_{1a} , stx_{1c} , stx_{1d} ، والنوع الثاني stx₂ وله سبعة أنواع فرعية stx_{2a} , stx_{2b} , stx_{2c} , stx_{2d} , stx_{2e} , stx_{2f} , stx_{2g} (Scheutz et al., ٢٠١٢). فضلاً ما ذكر عن أنواع فرعية لسموم الشيكا ، فقد تم تحديد نوع فرعوي جديد تابع للنوع الثاني stx₂ يسمى ب stx_{2h} الذي وجد في سلالات بكتيريا اشريشيا القولون المنتجة لسموم الشيكا المعزولة من حيوانات برية في الصين (Bia et al., ٢٠١٨). و تعد تأثيرات سموم الشيكا من النوع الثاني stx₂ أكثر أهمية في حدوث نزف الدم اليوريمي عند الانسان (Alvarez et al., ٢٠٢١). و تتشابه سموم الشيكا ببكتيريا الشيكلا *Shigella* مع سموم الشيكا ببكتيريا *E. coli* النوع الاول stx₁ (Lee et al., ٢٠١٣).



الشكل (١-١) آلية عمل سموم الشيكا . (Melton – celsa , ٢٠١٤)

٤-٢-٤ المضادات الحيوية

المضادات الحيوية هي نواتج أيض ثانوية عضوية التركيب طبيعية او صناعية تنتجها الكائنات الحية المجهرية في طور الثبات stationary phase ، وتعز ذات تأثير قاتل أو مثبط للمايكروبات الأخرى. من دون التأثير في خلايا جسم المريض وهي خاصية تميزها عن المطهرات . كما هو معروف فإن أول مضاد حيوي اكتشف عن طريق الصدفة هو البنسلين بواسطة العالم Alexander Fleming سنة ١٩٢٩ الذي تم استعماله بعد ذلك كمضاد حيوي لعلاج الكثير من حالات الالتهابات والأمراض التي تسببها البكتيريا إذ تمكن فلوري Florey وزملائه من اثبات فعاليته السريرية في أوائل سنة ١٩٤٠ . (Lewis , ٢٠٢٠)

توصف بعض المضادات الحيوية بان لها فعالية محددة بنوع معين أو مجموعة محددة من الأحياء المجهرية فتعرف بمضادات الطيف المحدود (Narrow Spectrum Antibiotics) والبعض الآخر له فعالية على مختلف مجتمع الاحياء المجهرية فتعرف بمضادات الطيف الواسع (Broad Spectrum Antibiotics) (Sherris, ٢٠١٨).

يؤدي الاستعمال الواسع النطاق للمضادات الحيوية في المجموعات السريرية البشرية الى ظهور كائنات مقاومة للمضادات الحيوية مع حدوث انتقاء لأنماط الجينية النادرة المقاومة ، و تعد هذه المقاومة من أهم المشاكل الصحية ويترتب على ذلك تطوير واكتشاف مضادات حيوية للقضاء على السلالات البكتيرية المقاومة ، و صفة المقاومة إما فطرية (Innate) أو مكتسبة (Acquired) ، تكتسبها البكتيريا عن طريق الطفرات في الجينات ، أو عن طريق نقل الجينات الأفقي الذي يحدث بواسطة التحول (Transformation) ، و الحث (Transduction) والاقتران (Conjugation) الذي يتم فيه نقل البلازميدات (Plasmids) بين الخلايا البكتيرية الحية ، و تتميز البلازميدات بقابليتها على جمع العديد من انزيمات المقاومة أثناء تنقلاتها ، و هناك أنماط عددة من المقاومة للمضادات الحيوية منها مقاومة لواحد على الاقل من بين ثلاثة مضادات حيوية فتسمى المقاومة المتعددة - Multi-Drug resistant و مقاومة لاثنين أو كل المضادات المستعملة Extensively-Drug resistant و مقاومة لكل المضادات (Larsson & Flach , ٢٠٢٢) Pan-Drug resistant .

٤-١ مضادات البيتا لاكتام Beta – lactam

المضادات الحيوية من نوع البيتا لاكتام هي مجموعة ضخمة من المضادات تحتوي جميعها على حلقة البيتا لاكتام في تركيبها ، وتصنف هذه المجموعة إلى اربع فئات رئيسة هي بنسلينات (Penicillins) ، سيفالوسبورينات (Cephalosporins) ، كاربابينيمات (Carbapenems) ، واحادية البكتم (Monobactams) ، وهذه الفئات الأربع تختلف عن بعضها البعض بنوع الحلقة الاضافية التي ترتبط بحلقة البيتا لاكتام ، و توجد حلقة الثيازولدين المكونة من خمسة عناصر في البنسلين ، و في السيفالوسبورين حلقة مكونة من ستة عناصر ، و حلقة مزدوجة في الكاربابينيمات وفي احدى البكتم فقط حلقة البيتا لاكتام (Veiga & Paiva , ٢٠١٨) . و تعمل مضادات البيتا لاكتام على تثبيط الخلايا البكتيرية عن طريق تعطيل انزيمات transpeptidases . (Pandey & Cascella , ٢٠٢٢) تشكيل جدار الخلية .

و قد أدى تعرض السلالات البكتيرية المستمر إلى مضادات البيتا لاكتام إلى نشوء طفرات مسؤولة عن تكوين انزيمات البيتا لاكتام β -Lactamases ، وهذه الانزيمات لها قابلية تحطيم حلقة البيتا لاكتام لكل من البنسلينات ، و سيفالوسبورينات ، و كاربابينيمات ، واحادي البكتم ، فضلاً عن فئات أخرى من المضادات الحيوية

وبالتالي فان هذه الانزيمات تسمى بإنزيمات ممتدة الطيف (ESBLs) - β -Lactamases spectrum – (Jacoby & Munos, ٢٠٠٥). ونظراً لزيادة مقاومة مضادات البيتا لاكتام من قبل انزيمات البيتا لاكتام ، فقد تم إنتاج مرکبات بيتا لاكتام في السنوات الأخيرة والتي تمتاز بتحملها تأثيرات التحل المائي بواسطة انزيمات بيتا لاكتام ، حيث شهدت أوائل الثمانينيات تطور الجيل الثالث من المضاد سيفالوسبوريين ، والتي تعتمد بشكل أساس على قدرتها على تفادي التحل المائي بواسطة جميع انزيمات بيتا لاكتام الموجودة في البكتيريا الموجبة والسلالة لصبغة كرام (Torres *et al.*, ٢٠١٩).

٤-٢-١ آليات مقاومة المضادات الحيوية في البكتيريا

طورت البكتيريا عدد من آليات المقاومة للمضادات الحيوية وهي كالتالي :

١-٤-٢-١ انتاج الانزيمات Enzymes production

أول طريقة مقاومة للمضادات الحيوية تم التعرف عليها من خلال الدراسات السابقة هي انتاج انزيمات- β lactamases بواسطة بكتيريا *E. coli* المسيبة للأمراض (Gualerzi *et al.*, ٢٠١٤). انزيمات البيتا لاكتام هي انزيمات قديمة يمكن ارجاع أصولها إلى ملايين السنين ، فقد ظهرت في البداية من مصادر بيئية على الأرجح لحماية البكتيريا من هجوم Beta-lactam الذي يحدث بشكل طبيعي و من المفترض أنها بالأصل بروتينات تطورت إلى انزيمات لاكتاميز (lactamases) (Bush, ٢٠١٨). و تم اكتشاف أول انزيم من انزيمات البيتا لاكتام هو انزيم TEM-١ β -Lactamase في عام ١٩٦٤ المعزول من بكتيريا أشيريشيا القولون *E. coli* من عينة دم لرجل يعاني من تسمم الدم ، وسرعان ما تم اكتشاف انزيم β -Lactamase SHV-١ في سلالات من أنواع الكلبسيلا *Klebsiella* المقاومة للبيتا لاكتام ، (Bradford, ٢٠٠١).

تنتج البكتيريا السالبة لصبغة كرام انزيمات بيتا لاكتام الممتدة الطيف ، التي تحل ازتريونام Aztreonam والبنسلين والجيل الاول والثاني والثالث من السيفالوسبوريين مثل سيفتریاکسون Ceftriaxone و سيفوتاکسیم Cefotaxime و سيفتاژیدیم Ceftazidime ، ومعظم الجينات التي تشفّر لإنزيمات (ESBLs) تكون محمولة على البلازميدات ، و يمكن أن تحمل البلازميدات نفسها جينات مقاومة لعدد من فئات مختلفة من المضادات الحيوية غير ذات صلة (McCloskey *et al.*, ٢٠١٨). و تحتوي العديد من المضادات الحيوية على روابط كيميائية حساسة للتحل المائي مثل رابطة الاستر والamide ، ومن المعروف إنّ انزيمات البيتا لاكتام تكسر حلقة اللاكتام للبنسلين والسيفالوسبوريين عن طريق التحل المائي لرابطة الاميد ، و هذا يؤدي إلى تغيير تركيب المضاد الحيوي وبالتالي يصبح غير فعال غالباً تنتشر انزيمات البيتا لاكتام في البكتيريا السالبة لصبغة كرام على سبيل المثال بكتيريا *E. coli* (Bush & Bradford, ٢٠١٩).

٢-٤-٢-١ تحويل الهدف Target modification

كل المضادات الحيوية لها أهداف مثل البروتينات أو تراكيب أخرى ، وإن أي تغير في تركيب الجزء المستهدف يؤدي إلى مقاومة المضاد الحيوي ، وعلى سبيل المثال مقاومة البكتيريا الموجبة لصياغة كرام للمضادات الحيوية من نوع ماكروليدات (Macrolides) إذ تخضع الجزيئات المستهدفة لتعديل إنزيمي يقلل من ارتباط المضاد الحيوي (Mayers *et al.*, ٢٠٠٩).

١ - ٣-٤-٢ تغيير نفاذية جدار الخلية Alteration of permeability of cell wall

تتميز البكتيريا السالبة لصياغة كرام بوجود غشاء خارجي Outer membrane الذي يعمل ك حاجز إضافي يمنع انتقال المواد الكيميائية السامة والمضادات عن طريق تغيير نفاذية البورتينات (Porins) وهي بروتينات غشائية خارجية تمنع اختراق بعض المضادات الحيوية ومثال على ذلك بكتيريا الزائفة الزنجارية . (Pang *et al.*, ٢٠١٩) *Pseudomonas aeruginosa*

١ - ٤-٢-٤ تغيير مسارات الأيض Alteration of metabolic pathways

تم ملاحظة زيادة في مقاومة المضاد الحيوي البوليمكسين (Polymyxin) من قبل سلالات بكتيريا *Pseudomonas aeruginosa* الطافرة من خلال اضطرابات كبيرة في أيض الاحماس الامينية والكاربوهيدرات ، إذ وضحت بيانات الأيض الخلوي انخفاض مستويات الدهون المغسفة phospholipid والاحماس الدهنية في السلالة الطافرة ، ويعتقد إن تغيير الأيض الخلوي له دور في مقاومة البوليمكسين . (Han *et al.*, ٢٠١٨)

١ - ٤-٢-٥ مضخات الدفق Efflux pumps

مضخات الدفق عبارة عن بروتينات توجد في الغشاء السايتوبلازمي للخلية تقوم بضخ مجموعة واسعة من المضادات الحيوية غير ذات صلة إلى خارج الخلية بنفس سرعة دخولها وأيضاً ضخ مركبات متنوعة ، وتوجد في معظم البكتيريا السالبة والموجبة لصياغة كرام مثل البكتيريا المعوية والمكورات العنقودية الذهبية ، حيث تكسبها القدرة على ضخ مجموعة واسعة من المضادات الحيوية مثل Macrolides و Fluoroquinolones وبالتالي تساهم بالمقاومة المتعددة للأدوية (Pasqua *et al.*, ٢٠١٩).

الفصل الثاني

المواد وطرائق العمل

٢- المواد وطرق العمل Materials and methods

١-٢ المواد Materials

١-١-٢ الأجهزة المختبرية Laboratory equipments

الأجهزة المختبرية المستعملة في الدراسة الحالية موضحة في الجدول رقم ١-٢ .

جدول ١-٢ الأجهزة المختبرية المستعملة في الدراسة .

الشركة المصنعة (المنشأ)	الجهاز	ن
Concord (Lebanon)	Refrigerator	١ ثلاجة
Labnet (USA)	PCR thermal cycler	٢ جهاز التدوير الحراري
Clever (England)	Electrophoresis system	٣ جهاز الترhill الكهربائي
Biomerieux (France)	VITEK ٢	٤ جهاز الفايتاك
GFL (Germany)	Water distillatory	٥ جهاز تقطير
Hettich (Germany)	Centrifuge	٦ جهاز طرد مركزي
AcTGen (Taiwan)	DNA Nanodrop	٧ جهاز قياس تركيز الدنا
Stuart (UK)	Vortex	٨ جهاز مازج
Memmert (Germany)	Incubator	٩ حاضنة
Memmert (Germany)	Oven	١٠ فرن كهربائي
Faster bio ٤٨ (Italy)	Laminar air flow(hood)	١١ كابينة زرع
ATTO (Japan)	Digital camera	١٢ كاميرا رقمية
Olympus (Japan)	Light microscope	١٣ مجهر ضوئي
Biopafe (Chain)	Ultra violet transilluminator	١٤ مصدر للأشعة فوق البنفسجية
Steam sterilize (Spain)	Autoclave	١٥ مؤصدة
Memmert (Germany)	Sensitive electric balance	١٦ ميزان كهربائي حساس

٢-١-٢ المواد الكيميائية Chemical material

المواد الكيميائية المستعملة في الدراسة الحالية موضحةً في الجدول رقم ٢-٢ .

جدول ٢-٢ المواد الكيميائية المستعملة في الدراسة .

الرقم	المادة الكيميائية	الشركة المصنعة (المنشأ)
١	انزيم الاوكسديز	(العراق) معهد المصول واللقالح
٢	بieroكسيد الهيدروجين	(العراق) معهد المصول واللقالح
٣	زيت عدسات	BDH (England)
٤	كليسروول	PanReac (Spain)
٥	محلول ملحي	Scharlau (Spain)
٦	مكونات صبغة كرام Gram stain * صبغة البنفسج البلوري Crystal violet stain * صبغة السفرانين Safranin stain * الايودين Iodine * الكحول الأثيلي Ethanol ٩٦%	(العراق) معهد المصول واللقالح
٧	هيدروكسيد البوتاسيوم (KOH)	Scharlau (Spain)

٣-١-٢ الأوساط الزرعية Culture media

الأوساط الزرعية المستعملة في الدراسة الحالية موضحة في الجدول رقم ٣-٢ .

جدول ٣-٢ الأوساط الزرعية المستعملة في الدراسة .

الشركة المصنعة (المنشأ)	الوسط الزراعي وفائدة الاستخدام	ت
Neogen (USA)	Blood Agar Base وسيط أساس غراء الدم استعمل كوسط اغذائي لتعزيز نمو العزلات البكتيرية الخاملة	١
Himedia (India)	Eosin Methylene Blue Agar وسيط ايوسين مثيلين الازرق استعمل كوسط تفرقي لبكتيريا <i>E. coli</i> التي تكون مستعمرات خضراء معدنية لامعة على الوسيط	٢
Himedia (India)	HiCrome EC O ¹⁵⁷ :H ⁷ selective Agar وسيط غراء الكروم استعمل لتمييز البكتيريا <i>E. coli</i> O ¹⁵⁷ :H ⁷ التي تظهر مستعمراتها باللون الارجاني	٣
Neogen (USA)	MacConkey Agar وسيط غراء المكونكي استعمل للتفريق بين البكتيريا السالبة لصبغة كرام التي تخمر سكر اللاكتوز عن تلك التي لا تخمر سكر اللاكتوز	٤
Himedia (India)	MacConkey Sorbitol Agar وسيط غراء سوربيتول ماكونكي استعمل الوسيط للتفريق بين عزلات بكتيريا <i>E. coli</i> المخمرة لسكر السوربيتول وغير المخمرة	٥
Merck (Germany)	Mueller - Hinton Agar وسيط مولر - هنتون استعمل في اختبار فحص حساسية العزلات البكتيرية للمضادات الحيوية	٦
Himedia (India)	Brian –Heart infusion broth وسيط نقيع القلب والدماغ استعمل لحفظ العزلات البكتيرية	٧

٤-١-٤ المضادات الحيوية Antibiotics

المضادات الحيوية المستعملة في الدراسة الحالية موضحةً في الجدول رقم ٤-٢ .

جدول ٤-٢ أقراص المضادات الحيوية المستعملة في الدراسة .

الرقم	المضاد الحيوي	الرمز	تركيز المضاد مايكرو غرام /القرص	الشركة المصنعة (المنشأ)
١	Amikacin	AK	٣٠	Himedia(India)
٢	Ampicillin	Amp	١٠	
٣	Azithromycin	AZM	١٥	
٤	Cefotaxime	CTX	٣٠	
٥	Ceftriaxone	CTR	٣٠	
٦	Ciprofloxacin	CIP	٥	
٧	Co-Trimoxazole	COT	٢٥	
٨	Doxycycline	DXT	٣٠	
٩	Gentamycin	GEN	١٠	
١٠	Tetracycline	TE	٣٠	Liofilchem (Italy)

٥-١-٢ معدات أخرى

معدات مستعملة في الدراسة الحالية موضحةً في الجدول رقم ٥-٢ .

جدول ٥-٢ معدات أخرى مستعملة في الدراسة .

الشركة المصنعة (المنشأ)	المواد	ت
Biozek (Switzerland)	Petri dishes	١
Biozek (Switzerland)	Tubes	٢
Human (Germany)	Flask	٣
Human (Germany)	Micro pipettes	٤
Afco (Jordan)	Cotton swabs	٥
Jen way (Germany)	Burner	٦
Himedia (India)	Loop	٧

٦-١-٢ البوادي Primers sequences

الجينات المستعملة في الدراسة الحالية مع بوادئها موضحة في الجدول رقم ٦-٢ .

جدول ٦-٢ الجينات و البوادي المستعملة في الدراسة .

المصدر	(bp)	تابع البادئ		الجين	ت
Khairy <i>et al.</i> , ٢٠٢٠	٩١٧	F	CTGAACGGCGATTACGCGAA	<i>Eae</i>	١
		R	CCAGACGATACGATCCAG		
	٣٢٦	F	AATGGTGCTTGCGCTTGCTGC	<i>bfpA</i>	٢
		R	GCCGCTTATCCAACCTGGTA		
	١٨٠	F	ATAAATGCCATTGTTGACTAC	<i>stx ١</i>	٣
		R	AGAACGCCACTGAGATCATC		
	٢٥٥	F	GGCACTGTCTGAAACTGCTCC	<i>stx ٢</i>	٤
		R	TCGCCAGTTATCTGACATTCTG		
Amin <i>et al.</i> , ٢٠١٨	٧٥٣	F	ATGCGTTATTCGCCTGTG	<i>SHV</i>	٥
		R	TGCTTGTTATTGGGCCAA		
	٨٢٢	F	AAACGCTGGTGAAAGTA	<i>TEM</i>	٦
		R	AGCGATCTGTCTAT		
	٥٥٠	F	CGCTTGCGATGTGCAG	<i>CTX-M</i>	٧
		R	ACCGCGATATCGTTGGT		

F= Forward

R= Reversed

٧-١-٢ المواد المستعملة في التشخيص الجزيئي بـ PCR

جدول ٧-٢ المواد المستعملة في التشخيص الجزيئي بـ PCR في الدراسة الحالية .

الشركة (المنشأ)	المواض
Addbio(Korea)	عدة استخلاص جينوم الدنا Genomic DNA extraction kit - Lysis ٢٥ml -Proteinase k ١.٥ml *٢tube -Binding ٢٥ml -Washing ١ ٣٠ ml -Washing ٢ ١٢ml -Elution ٢٥ml -Spin column with collection ١٠٠ p
Promega (USA)	Master Mix -Top DNA Polymerase ١U -dNTP(dATP,dCTP,dGTP,dTTP) ٢٥٠ mM -Tris -HCL(PH ٩.٠) ١٠ mM -(MgCl ₂ and KCl ₂) ٣٠ mM -Stabilizer and Tracking dye (loading dye)
Promega (USA)	(١٠٠ - ٢٠٠٠) bp بحجم (Ladder DNA) الدليل الحجمي
Inno-train (Korea)	TBE Buffer (٥x) محلول Tris Borate -EDTA-Na ₂ ١L
BiobasicINK (Canada)	الاكاروز Agarose
Biotech (Korea)	صبغة بروميد الايثيديوم Ethidium bromide dye ١٠mg/ml
Scharlau (Spain)	كحول مطلق Absolute Ethanol
Bioneer (Korea)	ماء خالي من الايونات Deionized water

٢-٢ تحضير الأوساط الزرعية والكواشف والمحاليل اللازمة

١-٢-٢ تحضير الأوساط الزرعية Preparation of Culture Media

١-٢-٢-١ تحضير الأوساط الزرعية الجاهزة

حضرت الأوساط الزرعية الجاهزة وهي (وسط غراء ماكونكي MacConkey agar ، و وسط غراء الايوسين مثلين الازرق Eosin Methylene Blue agar) ، و وسط غراء سوربيتول ماكونكي (Mueller-Hinton agar) ، و وسط غراء مولر هنتون MacConkey Sorbitol agar المصنعة لها والتي كانت مثبتة على العبوة الخاصة بكل وسط زراعي ، بإذابة كمية معينة من الوسط في حجم معين من الماء المقطر المعقم باستعمال قنينة زجاجية نظيفة ذات غطاء محكم ، ثم وضعت القنينة في حمام مائي water bath لحين ذوبان الوسط ، بعدها نقلت القنينة الى جهاز المؤصدة Autoclave لغرض التعقيم بدرجة حرارة ١٢١° م وضغط ١٥ باوند/انج ل ١٥ دقيقةً و ترك الوسط ليصبح درجة حرارته ٤٥° م تقريراً ثم صب في أطباق معقمة ، بعدها حفظت الأطباق في الثلاجة بدرجة ٤° م لحين الاستخدام . Petridishes

٢-٢-٢-١ تحضير الأوساط الزرعية التركيبية

١-٢-٢-٢ وسط غراء الدم Blood Agar

حضر وسط أساس غراء الدم Blood agar base كما ذكر في الفقرة ١-١-٢-٢ ، و تم إضافة دم الإنسان بنسبة ٥٪ إلى الوسط ، مزج محلول جيداً ثم صب في أطباق ، و حفظت الأطباق في الثلاجة بدرجة حرارة ٤° م لحين الاستعمال ، و تم استعمال وسط اكار الدم كوسط اغذائي (Enrichment media) لتعزيز نمو العزلات البكتيرية (Jawetz *et al.*, ٢٠١٩) .

٢-٢-٢-٣ وسط نقيع القلب والدماغ Brian - Heart Infusion Broth

حضر الوسط كما ذكر في الفقرة ١-١-٢-٢ ، ثم أضيف ١٥٪ من الكليسرول Glycerol الى ٨٥٪ من الوسط ، مزج الوسط جيداً ، بعد ذلك صب في أنابيب معقمة Tubes ، و حفظت الأنابيب في الثلاجة بدرجة حرارة ٢٠° م لحين الاستعمال ، و تم استعمال الوسط لحفظ العزلات البكتيرية (Jawetz *et al.*, ٢٠١٩) .

٣-٢-١-٢-٢ وسط غراء الكروم HiCrome EC O₁₅₇:H₇ Agar

حضر الوسط كما ذكر في الفقرة ١-٢-٢ ، ثم تم إضافة مادة معززة supplement بمقادير ١٠ ملليلتر إلى لتر واحد من الوسط ، مزج الوسط جيداً و صب في أطباق معقمة ، و حفظت الأطباق في الثلاجة بدرجة حرارة ٤°C لحين الاستعمال ، و استعمل الوسط كوسط اختياري للكشف عن بكتيريا *Escherichia coli* O₁₅₇:H₇ (Jenkins *et al.*, ٢٠٢٠).

٢-٢-٢ تحضير الكواشف Reagents preparation

١-٢-٢-٢ كاشف الاوكسديز Oxidase Reagent

حضر الكاشف بإذابة ١ غرام من مسحوق tetramethyle - phenylenediamine dihydrochloride في ١٠٠ ملليلتر من الماء المقطر المعقم ، و حفظ الكاشف في قنينة زجاجية معتمة ، و تم استعمال هذا الكاشف للكشف عن قابلية البكتيريا على إنتاج إنزيم الاوكسديز (Tadesse & Alem, ٢٠٠٦).

٢-٢-٢-٢ كاشف الكاتلizer Catalase Reagent

حضر الكاشف من بيروكسيد الهيدروجين (H₂O₂) بتركيز ٣٪ من محلول الأصلي المركز ٣٠٪ ، حفظ محلول في قنينة زجاجية معتمة ، و تم استعمال الكاشف للكشف عن قابلية البكتيريا لإنتاج إنزيم الكاتلizer (Tadesse & Alem, ٢٠٠٦).

٣-٢-٢ تحضير المحاليل Preparation of Solution

١-٣-٢-٢ محلول ماكفرلاند McFarland Solution

حضر محلول ماكفرلاند من محلولين مثلما يأتي :

محلول (١) : حضر بإذابة ١.١٧٥ غرام من كلوريد الباريوم (BaCl₂) في ١٠٠ ملليلتر من الماء المقطر.

محلول (٢) : حضر بإضافة ١ ملليلتر من حامض الكبريتيك المركز (H₂SO₄) إلى ٩٩ ملليلتر من الماء المقطر.

أضيف ٥.٠ ملليلتر من محلول (١) إلى ٩٩.٥ ملليلتر من محلول (٢) للحصول على محلول ماكفرلاند القياسي والذي يعادل ١٠.^٨*١.٥ (خلية / ملليلتر) ، و حفظ محلول في قنينة زجاجية معتمة ، ثم استعمل محلول ماكفرلاند في اختبار الحساسية الدوائية (Bailey & Scott, ٢٠٠٧).

٣-٢ طرائق العمل Methods

١-٣-٢ جمع العينات Samples Collection

جمعت ١٠٠ عينة براز من الاطفال بعمر دون ٥ سنوات حسب تشخيص الطبيب ، وفحصت عينات البراز تحت المجهر الضوئي (General Stool Examination) وسجلت نتائج فحص العينات الحاوية على الخلايا الالتهابية وخلايا الدم الحمر ، كما هو موضح في الملحق (١) (Stoll *et al.*, ١٩٨٣). وكانت ٨٠ عينة تعود للأطفال الذين يعانون من أعراض الاسهال و ٢٠ عينةً تعود للأطفال الاصحاء (أطفال يعانون من أمراض أخرى غير الإسهال) ، جمعت العينات من مستشفى الأطفال التعليمي في محافظة كربلاء المقدسة لمدة من ٢٠٢٢/٢/٢ ولغاية ٢٠٢٢/٦/١٥.

٢-٣-٢ التشخيص المزرعي Cultural Identification

جمعت العينات في علب بلاستيكية معقمة نظيفة ، وبعد إجراء التخافيف العشرية للعينات ، زرعت العينات على وسط غراء الماكونكي بحسب طريقة (Tomas *et al.*, ١٩٩٨). وتمت أيضاً ملاحظة ميزة تخمر سكر اللاكتوز ، ثم زرعت العزلات النقية على اوساط زرعية مختلفة (وسط ايروسين مثلين الازرق ، و وسط غراء سوربتوں ماكونکی و وسط غراء كروم) من أجل الحصول على تشخيص مبدئي للعزلات البكتيرية بالاعتماد على الصفات المظهرية للمستعمرات البكتيرية والتي شملت كل من اللون ، والشكل ، والحجم ، والحفاـت ، والارتفاعات (Mahon *et al.*, ٢٠١٥).

٣-٣-٢ التشخيص المجهي Microscopic Identification

حضرت مسحات من العزلات البكتيرية النامية على وسط اكار ماكونكي بعمر (١٦-١٨) ساعة بتقنية صبغة كرام ، بعدها فحصت باستعمال المجهر الضوئي لرؤيه شكل ولون الخلايا ونمط تجمعاتها (Benson, ٢٠١٧).

٤-٣-٢ التشخيص الكيمو حيوي Biochemical Identification

٤-٣-٢ اختبار الاوكسديز Oxidase Test

وضعت قطرة من كاشف الاوكسديز Oxidase reagent المحضر سابقاً على ورقة معقمة filter paper ، بعدها نقلت بضع مستعمرات نامية على وسط اكار ماكونكي بعمر ٢٤ ساعة بوساطة عيدان خشبية wooden sticks على الورقة ، و يعد تغير لون المستعمرة إلى اللون الارجاني في غضون ثوانٍ دليلاً قدرة البكتيريا على إنتاج انزيم الاوكسديز (Mahon *et al.*, ٢٠١٥).

٤-٣-٢ اختبار الكاتاليز Catalase Test

نقلت مستعمرات بكتيرية نامية على وسط المكونكي بعمر ٢٤ ساعة بواسطة عيدان خشبية wooden sticks على شريحة زجاجية معقمة وجافة ، بعدها أضيفت قطرة من كاشف الكاتاليز Catalase reagent المحضر سابقاً ، و يعد ظهور فقاعات مائية (ماء و اوكسجين) فورية دليلاً قدرة البكتيريا على انتاج انزيم الكاتاليز . (Mahon *et al.*, ٢٠١٥)

٤-٣-٣ اختبار هيدروكسيد البوتاسيوم KOH Test

نقلت مستعمرات بكتيرية نامية على وسط اكار مكونكي بعمر ٢٤ ساعة على شريحة زجاجية معقمة جافة بواسطة عيدان خشبية wooden sticks نظيفة ومعقمة ، بعدها أضيفت قطرة من هيدروكسيد البوتاسيوم (KOH) ، و يعد تكون مادة تشبه الهلام في تركيبها في غضون ما يقارب ٣٠ ثانية دليلاً ان البكتيريا سالبة لصبغة كرام . (Markey *et al.*, ٢٠١٣)

٤-٣-٤ تشخيص البكتيريا باستخدام نظام الفايتاك VITEK[®] Compact System

حضر المعلق البكتيري وفقاً لتعليمات الشركة المصنعة Biomrieux ، وذلك بنقل كمية من المستعمرات النامية على وسط غراء المكونكي بطريقة subculture بعمر (٢٤-١٨) ساعة إلى أنبوبة تحتوي ٣ ملليلتر من محلول ملحي معقم sterile saline ، وضبطت عكارة المعلق البكتيري بالمقارنة إلى محلول ماكرلاند القياسي ٥٪ . باستعمال جهاز Densi-chek ، وضعت أنبوبة المعلق في الجهاز مع وضع بطاقة التشخيص الخاص بالبكتيريا سالبة لصبغة كرام (GN-ID) ، وقد ظهرت نتائج التشخيص على شاشة الحاسوب الخاص بجهاز الفايتاك بعد حوالي ١٢-٤ ساعة (Ling *et al.*, ٢٠٠١) .

٦-٣-٢ حفظ العزلات البكتيرية Preservation of Bacterial Isolates

حفظت العزلات البكتيرية في أنابيب تحتوي وسط نقيع القلب والدماغ Brian – Heart infusion broth المحضر مسبقاً في الفقرة ٢-١-٢-٢ والمضاف إليه كلسيروفول Glycerol ، بعدها حفظت الانابيب في درجة حرارة ٢٠ - ٢٠ م° لحين الاستعمال . (Jawetz, ٢٠١٧)

٢-٣-٢ اختبار مقاومة المضادات الحياتية Antibiotic Resistance Test

استعملت طريقة Kirby & Baure لاختبار حساسية العزلات البكتيرية للمضادات الحيوية مثلاً يأتي :

- نقلت (٥-٣) من المستعمرات النامية على وسط اكار ماكونكي بعمر (١٨-٢٤) ساعة إلى أنبوبة تحتوي ٥ ملليلتر من محلول الملحي الفسلجي normal saline ، ومزج جيداً باستعمال جهاز المازج vortex مع مراعاة ضبط عكورة المعلق البكتيري مع عكورة محلول ماكفرلاند ٥٪. المحضر سابقاً.
- أدخلت مسحة قطنية cotton swab معقمة في الأنبوبة الحاوية على المعلق البكتيري، ثم ضغطت على الجدار الداخلي للأنبوبة لإزالة اللقاح الزائد ، بعدها مررت باتجاهات مختلفة على سطح طبق اكار مولر- هنتون Mueller – Hinton agar للحصول على نمو متجانس .
- وضعت أقراص المضادات الحيوية Antibiotic disk على سطح الطبق المزروع بواسطة ملقط معقم باللهب على ابعاد متساوية وضغطت الأقراص بلطف ، بعدها نقلت الأطباق إلى الحاضنة Incubator وحضنت بدرجة حرارة ٣٥ ٌ م لمندة (١٦-١٨) ساعة .
- سجلت أقطار مناطق التثبيط حول الأقراص بالملليلتر باستعمال مسطرة ، وفورنت نتائج القياس بجدوال قياسية (CLSI , ٢٠٢٢) ، واستعملت هذه الطريقة بحسب ما ذكر في (Benson, ٢٠١٧) .

٢-٣-٣ التشخيص الجزيئي Molecular Identification

٢-٣-٣-١ استخلاص الحامض النووي Genomic DNA Extraction

تم استخلاص الحامض النووي الدنا DNA بكتيريا *E. coli* السالبة لصبغة كرام حسب تعليمات الشركة المصنعة Addbio للعدة kit الموضحة مكوناته في الجدول (٧-٢) ، وكانت التعليمات كالاتي :

- ١- نقلت مستعمرات بكتيريا *E. coli* النامية بعمر (٢٤-١٨) ساعة إلى أنابيب ابندروف eppendorf تحتوي ٢٠٠ مايكروليلتر من محلول lysis و ٢٠٠ مايكروليلتر من محلول proteinase ، ومزج أنبوب العالق بجهاز المازج vortex ، ثم حضنت الأنابيب بدرجة حرارة ٥٦ ٌ م لعشرين دقيقة .
- ٢- أضيف ٢٠٠ مايكروليلتر من محلول Binding و ٢٠٠ مايكروليلتر من الإيثانول المطلق absolute ethanol إلى أنبوبة العالق ، ومزجت الأنبوبة بجهاز المازج vortex لنصف دقيقة .
- ٣- فصل العالق بجهاز centrifuge بسرعة ١٣٠٠٠ (دورة / دقيقة) ل ٣ دقائق .

٤- نقل بحذر ٥٠٠ ملليلتر من الجزء العلوي للمعلق لتجنب خلط الجزء العلوي الحاوي على DNA الطافي مع الجزء السفلي الحاوي على رواسب أخرى ، إلى عمود الفصل مع أنبوبة الجمع spin column with collection tube ، ثم وضعت بجهاز centrifuge بسرعة ١٣٠٠٠ (دورة/دقيقة) لدقيقة واحدة .

٥- أضيف ٥٠٠ ملليلتر من محلول ١ washing إلى عمود الفصل مع أنبوبة الجمع ، و ثم وضعت بجهاز centrifuge بسرعة ١٣٠٠٠ (دورة / دقيقة) لدقيقة واحدة بعد ذلك سكب الراشح .

٦- كررت الخطوة السابقة ولكن بإضافة ٥٠٠ ملليلتر من محلول ٢ washing .

٧- تم تحريك عمود الفصل مع أنبوبة الجمع centrifuge spin column with collection tube بجهاز بسرعة ١٣٠٠٠ (دورة / دقيقة) لدقيقة واحدة للتخلص من الايثانول المتبقى في عمود الفصل ، نقل عمود الفصل spin column إلى أنبوبة أخرى .

٨- أضيف (٢٠٠ - ١٠٠) ملليلتر من محلول Elution إلى عمود الفصل spin column ، ثم وضعت بجهاز centrifuge بسرعة ١٣٠٠٠ (دورة / دقيقة) لدقيقة واحدة ، تم التخلص من عمود الفصل واحتفظ بأنبوبة الحاوية على DNA بدرجة حرارة (٢٠) م لحين الاستعمال .

٢-٨-٣-٢ محليل البوادي Primers Solution

حضرت محليل البوادي حسب تعليمات الشركة المصنعة Oligo ، وذلك بإضافة ٩٠ ملليلتر من الماء المقطر اللايوني إلى البايدى الذي يكون على شكل حبيبات من أجل الحصول على محلول بايدى تركيز ١٠٠ بيكومول / ملليلتر ، وبعدها يؤخذ ١ ملليلتر من البايدى ويضاف له ٩ ملليلتر من الماء المقطر اللايوني ليصبح التركيز ١٠ بيكومول / ملليلتر ، ثم يمزج محلول جيدا بجهاز المازج vortex ، و يتم حفظ محلول بدرجة حرارة ٢٠ م لحين الاستعمال ، وحفظت محليل الخزينة للبوادي بدرجة حرارة ٢٠ م مع مراعاة مزج محلول بعد اخراجه من التجميد لغرض مجامنته قبل الاستعمال .

٢-٨-٣-٢ تفاعل البلمرة المتسلسل Polymerase Chain Reaction

يتكون تفاعل البلمرة المتسلسل من عدة خطوات مثلما يأتي :

١- حضر مزيج التفاعل حسب تعليمات الشركة المصنعة ، مثلما موضح الجدول أدناه

جدول ٨-٢ مكونات وحجوم مزيج تفاعل البلمرة المتسلسل

الحجم مايكروليتر	المكونات
١٢.٥	Master Mix
٣	DNA extraction مستخلص الدنا
١	Forward primer البادئ
١	Reversed primer Primer
٧.٥	الماء اللايوني
٢٥	الحجم النهائي

٢- مزجت الأنابيب حاوية على مزيج التفاعل بجهاز المازج vortex ل ٥ ثواني .

٣- وضعت الأنابيب في جهاز التدوير الحراري Thermocycler لغرض إجراء عملية تضخيم الدنا amplification DNA حسب الاوضاع الحرارية المثلثى للدورات ، بعد ذلك تم برمجة جهاز التدوير الحراري حسب ما جاء في (Khairy et al., ٢٠٢٠ , Amin et al., ٢٠١٨) مثلاً موضح الجدول أدناه :-

جدول ٩-٢ الظروف الحرارية المثلثى لدورات تفاعل البلمرة المتسلسل في جهاز التدوير الحراري

الجبن	ت	مرحلة المسخ الاولى	مرحلة المسخ الثانية	مرحلة الارتباط	مرحلة الاستطالة	مرحلة الاستطالة النهاية
eae	١	٩٥ م / ٥ دقيقة (دورة واحدة)	٩٥ م / ١ دقيقة (٣٠ دورة)	٥٨ م / ٣٠ دقيقة (٣٠ دورة)	٧٢ م / ١ دقيقة (٣٠ دورة)	٧٢ م / ١٠ دقيقة (دورة واحدة)
bfpA	٢					
TEM	٣					
CTX-M	٤					
stx ١	٥	٩٥ م / ٥ دقيقة (دورة واحدة)	٩٥ م / ١ دقيقة (٣٠ دورة)	٥٠ م / ٣٠ دقيقة (٣٠ دورة)	٧٢ م / ١ دقيقة (٣٠ دورة)	٧٢ م / ١٠ دقيقة (دورة واحدة)
stx ٢	٦					
SHV	٧	٩٥ م / ٥ دقيقة (دورة واحدة)	٩٥ م / ١ دقيقة (٣٠ دورة)	٦٠ م / ٣٠ دقيقة (٣٠ دورة)	٧٢ م / ١ دقيقة (٣٠ دورة)	٧٢ م / ١٠ دقيقة (دورة واحدة)

م = درجة الحرارة

٤-٨-٣-٢ محلول بفر TBE buffer X₁

حضر X₁ TBE buffer حسب تعليمات الشركة المصنعة Inno-trian ، بالإضافة ٢٠ مل من TBE buffer ذي تركيز X₅ الى ٨٠ مل من الماء المقطر .

٥-٨-٣-٢ هلام الاكاروز Agarose gel

حضر هلام الاكاروز كالاتي :

١- أذيب ١ غم من مسحوق الاكاروز في ١٠٠ ملليتر من محلول X₁ TBE buffer ، و سخن محلول في حمام مائي إلى الدرجة الذوبان ثم ترك لتصبح درجة حرارته ٥٠ ° تقريباً ، بعد ذلك أضيف إليه ٣ ميكروليتر من صبغة بروميد الايثيديوم Bromide ethidium ومزجت جيداً مع محلول .

٢- صب هلام الاكاروز بشكل هادئ ومستمر لتجنب حدوث الفقاعات في قالب tray بعد تثبيت الأمشاط comb .

٣- ترك الهلام ليتصلب بدرجة حرارة الغرفة ، ثم رفعت الأمشاط بعناية للحصول على حفر wells .

. (Mahon *et al.*, ٢٠١٥)

٦-٨-٣-٢ الترحيل الكهربائي Electrophoresis

١- أضيف ٥ ميكروليتر من ناتج تضاعف الدنا لكل عينة إلى حفر هلام الاكاروز ، ثم أضيف ٥ ميكروليتر من محلول DNA ladder إلى حفرة هلام الاكاروز الأولى حسب الترتيب .

٢- نقل قالب هلام الاكاروز إلى جهاز الترحيل الكهربائي electrophoresis ، ثم غمر سطح الهلام بمحلول X₁ TBE buffer ، بعد ذلك رحل القالب بإمراوه على فرق جهد قدره ١٠٠ فولت لنصف ساعة .

٣- تم تعريض قالب الهلام لمصدر الأشعة فوق البنفسجية ، ثم صورت النتائج و قدرت الأحجام الجزيئية بالمقارنة مع موقع حزم الدليل الحجمي DNA ladder ذي وزن ١٠٠ - ٢٠٠٠ زوج قاعدي .

٤-٢ التحليل الاحصائي

تم كتابة النتائج بصيغة (متوسط \pm الانحراف المعياري) لثلاثة مكررات . تم اختبار T المستقل لتحديد وجود فروقات معنوية بين مجموعتين، و أما التجارب التي تحتوي اكثراً من مجموعتين لعامل واحد فقد تم استعمال اختبار تحليل التباين احادي الاتجاه One way ANOVA ، و في كلتا الحالتين تم استعمال برنامج Mini Tab الإحصائي الإصدار ١٧ (Pennsylvania). تم استخدام اختبار Duncan متعدد المدى كاختبار مخصص للمقارنة بين المتوسطات عند مستوى احتمالية مساوي او أقل من ٠.٠٥ ($P \leq 0.05$) .

الفصل الثالث

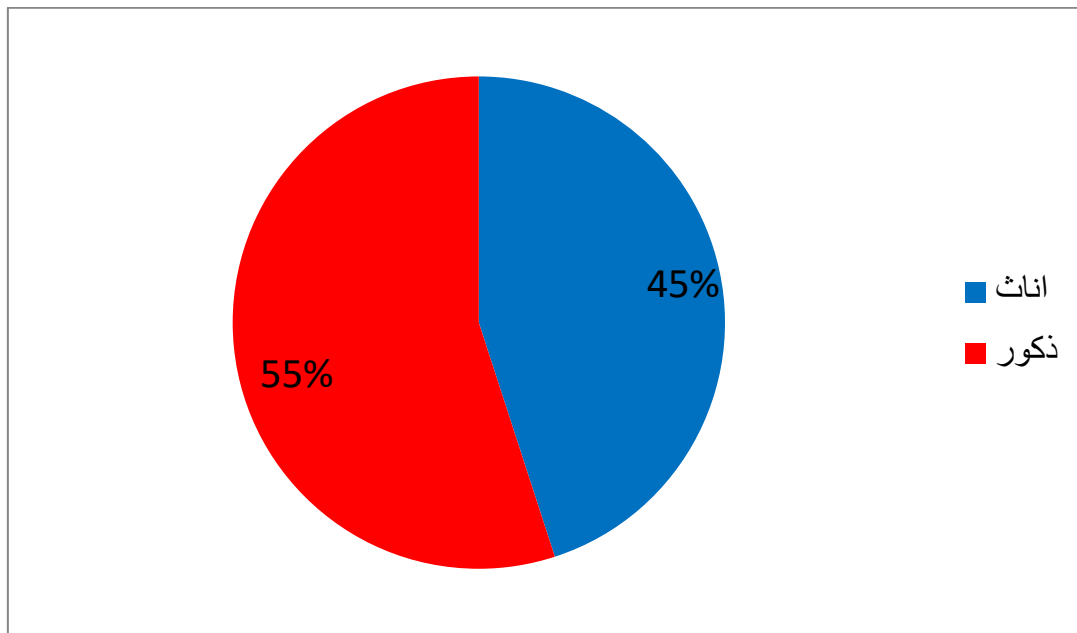
النتائج والمناقشة

٣- النتائج والمناقشة Results and Discussion

١-٣ عزلات بكتيريا اشريشيا القولون *Escherichia coli* Isolates

١-١-٣ جمع العينات Samples Collection

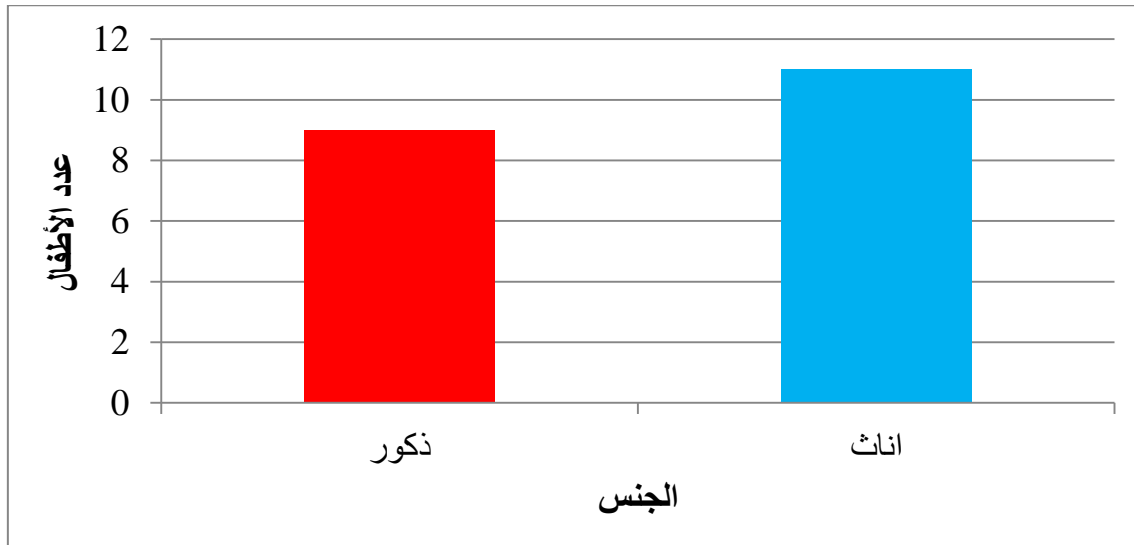
جمعت ١٠٠ عينة براز من الاطفال بعمر دون ٥ سنوات الذين راجعوا مستشفى الاطفال التعليمي في مدينة كربلاء المقدسة ، و كانت بواقع (٥٥) عينة من الذكور و (٤٥) عينة من الإناث مثلاً موضح في الشكل (١-٣).



الشكل (١-٣) توزيع العدد العينات الكلي .

١-١-١-٣ مجموعة السيطرة

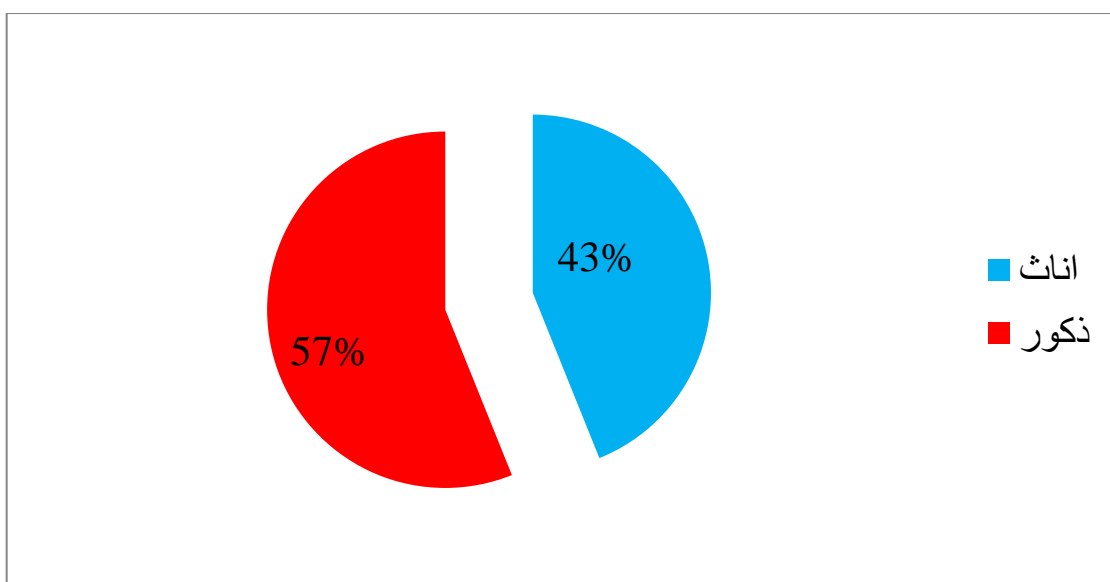
تم تقسيم العدد الكلي للعينات إلى مجموعتين المجموعة الأولى هي مجموعة السيطرة ، وكانت بواقع ٢٠ عينة من الأطفال الأصحاء وكان عدد الذكور (٩) % عينة وعدد الإناث (١١) % عينة ، وعند إجراء التحليل الاحصائي تبين عدم وجود فروقات معنوية بين الجنسين لهذه المجموعة ($P \geq 0.05$) مثلاً موضح في الشكل (٢-٣)



الشكل (٢-٣) توزيع عينات السيطرة .

٢-١-٣ توزيع الإصابات حسب الجنس

أما المجموعة الثانية من العدد الكلي للعينات فكانت بواقع ٨٠ عينة من الأطفال التي ظهرت عليهم أعراض الإسهال وكانت فيها عدد الذكور (٤٦) ٥٧.٥% عينة و الإناث (٣٤) ٤٢.٥% كما موضح في الشكل (٣-٣) ، وبين التحليل الاحصائي وجود فرق بين الذكور والإإناث المصابين ($P = 0.02$) .

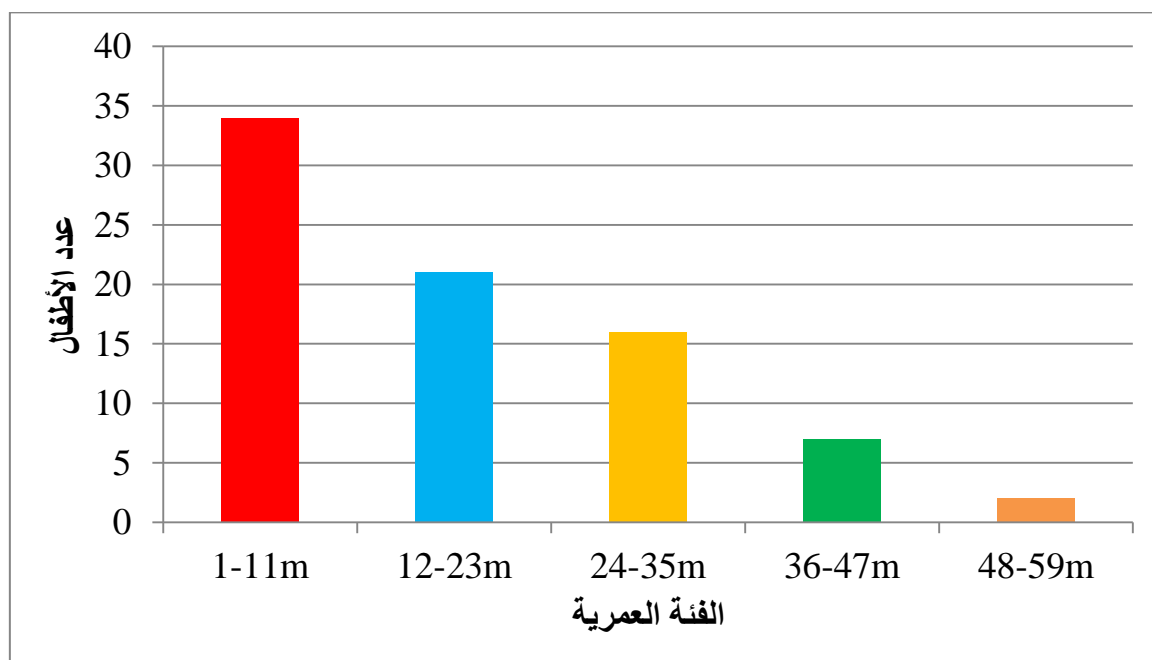


الشكل (٣-٣) نسب توزيع المصابين حسب الجنس .

تتوافق نتائج الدراسة الحالية بالنسبة لإصابة الذكور بنسبة أعلى من الإناث مع نتائج دراسة محلية (Ali *et al.*, ٢٠٢٢) أجريت في مدينة بغداد والتي كانت فيها نسبة الإصابة بالذكور ٥٨.٤٤٪ وهي أعلى من نسبة الإصابة الإناث ٤١.٤٥٪ ، وذكرت أيضاً الدراسة المحلية إن إصابة الذكور من الأطفال بالإسهال أعلى من الإناث ربما يعود السبب إلى عوامل وراثية وفلسفية . وتفق الدراسة الحالية مع نتائج دراسة (Elkasaby *et al.*, ٢٠٢٢) في مصر والتي توصلت نتائج دراستها إلى إن نسبة إصابة الذكور ٥٦.٩٪ أما إصابة الإناث كانت ٤٣.١٪ ، ولم تختلف الدراسة الحالية كثيراً مع دراسة (Samuel *et al.*, ٢٠١٩) والتي كانت نسبة الذكور المصابين ٤٤.٧٤٪ أقل من نسبة الإناث المصابات بمرض الإسهال ٥٥.٢٦٪ ، حيث ذكرت الدراسة بأنه لا يوجد فرق معنوي كبير بين المرضى من الذكور والإناث .

٣-١-٣ توزيع الاصابات حسب العمر

أظهرت النتائج إن الفئة العمرية (١١-١١) شهر كان فيها عدد الأطفال المصابين ٤٢.٥٪ (٣٤) ، والفئة العمرية (١٢-٢٣) شهر كان فيها عدد الأطفال المصابين ٢٦.٢٥٪ (٢١) ، والفئة العمرية (٢٤-٣٥) شهر كان عدد الأطفال المصابين فيها ٢٠٪ (١٦)، بينما الفئة العمرية (٣٦-٤٧) شهر كان فيها عدد الأطفال المصابين ٨.٧٥٪ ، وكان في الفئة العمرية (٤٨-٥٩) شهر عدد الأطفال المصابين ٢.٥٪ (٢) ، اتضحت مما سبق إن عدد الأطفال المصابين أعلى في الفئة العمرية (١١-١١) شهر ، كما موضح في الشكل (٤-٣) .



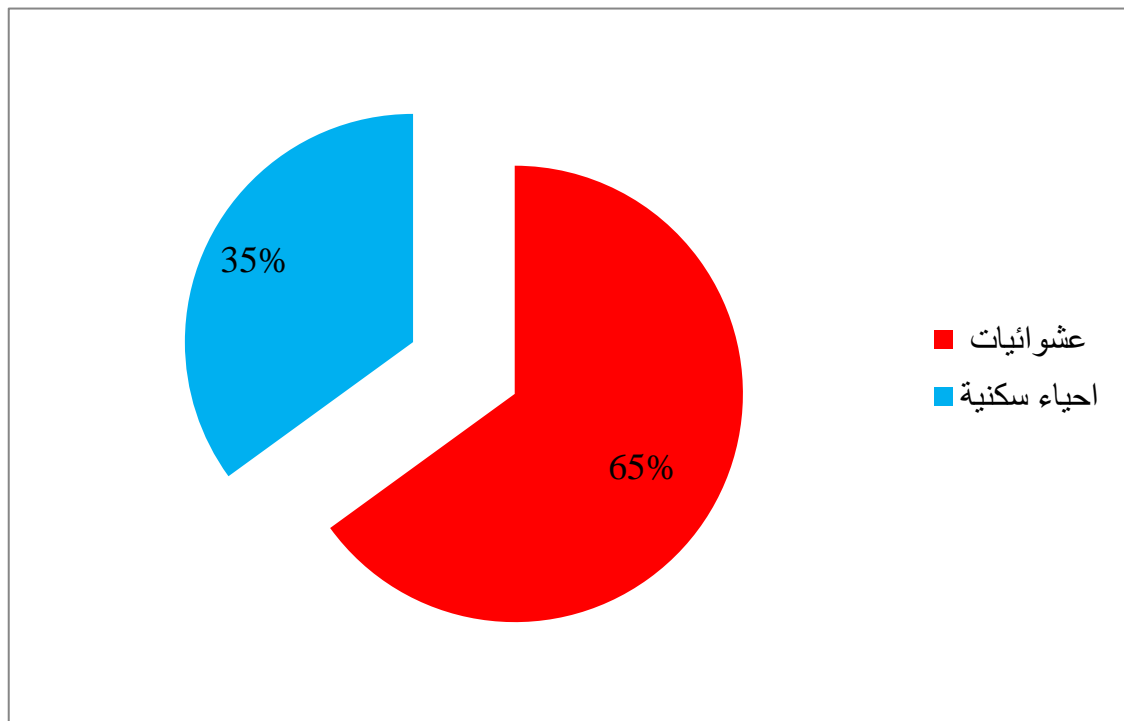
الشكل (٤-٣) الفئات العمرية للأطفال المصابين بالإسهال .

تتوافق نتائج الدراسة الحالية بالنسبة للفئات العمرية مع دراسة محلية (Harb *et al.*, ٢٠٢١) في ذي قار ، إذ كانت نسبة الفئة العمرية أقل من سنتين %٦٠ والفئة (٢-٥) سنة بنسبة %٤٠ ، و تتوافق الدراسة الحالية مع دراسة في نيجيريا (Akinnbosun & Nwafor, ٢٠١٥) ، فقد كانت الفئات العمرية (٦-٠٧) شهر بنسبة %١٨ ، و (٧-١٢) شهر بنسبة %٣٤ ، و (١٣-٢٤) شهر بنسبة %٢٢ ، و (٢٥-٣٦) شهر بنسبة %١٢ ، و (٣٧-٤٨) شهر بنسبة %٤ ، و (٤٩-٦٠) شهر بنسبة %١٠ ، و تبين من نتائج الدراسة إن أعلى نسبة إصابة بين الأطفال في الفئة العمرية (٧-١٢) شهر %٣٤ تليها الفئة العمرية (١٣-٢٤) شهر %٢٢ ، و ذكرت الدراسة إن السبب وراء انخفاض معدلات الإصابة لدى الأطفال فوق ٢٥ شهر هو تطور المناعة ضد الاحياء الدقيقة بعد الإصابة (Dessalegn *et al.*, ٢٠١١) ، واختلفت الدراسة الحالية مع دراسة (Moharana, ٢٠١٩) في الهند وكانت نسبة الإصابة في الفئة العمرية (٦-٠٧) شهر بنسبة %٣.١ ، و الفئة العمرية (٧-٢٤) شهر بنسبة %٢٤.٤ ، والفئة العمرية (٢٥-٣٦) شهر بنسبة %٢٣.١ ، والفئة العمرية (٣٧-٤٨) شهر بنسبة %٣٠ ، والفئة العمرية (٤٩-٦٠) شهر بنسبة %١٨.٨ ، إذ كانت أعلى نسبة إصابة في الفئة العمرية دون سن (٣٧-٤٨) شهر بنسبة %٣٠ ، وقد يعزى سبب الاختلاف بين الدراستين في انخفاض معدل الإصابة في الفئة العمرية دون سن هو إن الأطفال في هذا العمر تحت رعاية الام الكاملة بالمقارنة مع الفئات الأكبر سنًا (Sang *et al.*, ٢٠١٢) .

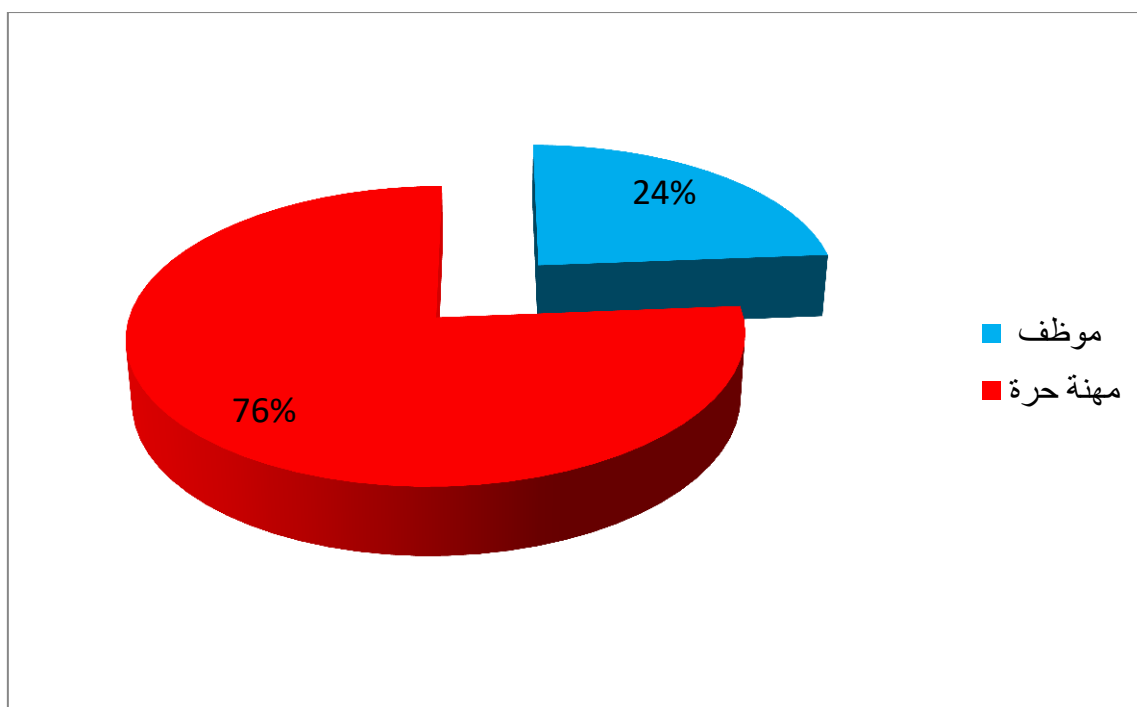
٤-١-١-٤ توزيع الاصابات حسب طبيعة السكن والدخل المادي

أظهرت النتائج إن عدد الأطفال الذين يقطنون في مناطق عشوائيات الأحياء السكنية (٥٢) %٦٥ هم أكثر عرضة وبصورة معنوية ($P = 0.001$) للإصابة بالإسهال بالمقارنة مع عدد إصابة الأطفال الذين يقطنون الأحياء السكنية (٢٨) %٣٥ ، مثلما في الشكل (٣-٥) .

وجد إن عدد الأطفال المرضى الذين آباءهم يزاولون مهن حرة %٧٦.٢٥ (٦١) كانوا أكثر عرضة للإصابة بالإسهال وبصورة معنوية ($P = 0.009$) بالمقارنة مع الأطفال الذين يعمل آباءهم موظفين لدى الدولة %٢٣.٧٥ (١٩) ، مثلما موضح في الشكل (٣-٦) .



الشكل (٥-٣) نسب توزيع الاصابات حسب طبيعة السكن .



تتوافق الدراسة الحالية بالنسبة للسكن والدخل الأسري مع دراسة محلية (Tuky & Semender , ٢٠١٩ ، في كربلاء / الهندية ، إذ ذكرت إنّ نسبة الأطفال الذين يعيشون في سكن مزود بنظام رديء لشبكات الصرف الصحي كانت ٦٢.٤٪ بالمقارنة بالأطفال الذين يعيشون في سكن جيد ٣٧.٦٪ ، و ذكرت الدراسة إنّ نسبة الأطفال ذوي الدخل الاسري المنخفض هي ٨٩.٢٪ ونسبة الأطفال ذوي الدخل الجيد كانت ١٠٪ . ذكرت دراسة Ali et al., ٢٠٢٢ في اربيل والسليمانية إنّ اوضاع المعيشة من السكن رديء شبكات تصريف مياه المجاري والدخل الأسري المنخفض كانت مرتبطة بشكل كبير في ارتفاع نسبة الإصابة بالإسهال بين الأطفال دون عمر ٥ سنوات .

٢-١-٣ التشخيص المظاهري Morphological Identification

شُخصت عزلات بكتيريا *E. coli* مبدئياً بالاعتماد على الصفات المظاهريّة ، وذلك بعد تسميتها على كل من أوساط (غراء المكونكي ، و غراء الايوسين مثلين الازرق ، و غراء سوربيتول مكونكي ، و غراء كروم HiCrome EC O١٥٧:H٧ ، و اوضحت النتائج إنّ أفراد بكتيريا *E. coli* هي مخمرة لسكر اللاكتوز ، فظهرت مستعمراتها وردية ناعمة ، مائلة إلى التسطح على وسط غراء مكونكي التفريقي ، الذي يحتوي على أملاح الصفراء salts وصبغة البنفسج البلورية crystal violet التي تسمح بنمو البكتيريا السالبة لصبغة كرام وبضمنها العائلة المعوية وتثبت نمو البكتيريا الموجبة لصبغة كرام ، و ينتج غالباً عن تخمر سكر اللاكتوز كميات كبيرة من الحوامض المختلطة التي تسبب ترسب أملاح الصفراء في الوسط المحيط بالمستعمرة ، و مسببة اللون الوردي للمستعمرات . و على وسط غراء الايوسين مثلين الازرق ظهرت مستعمرات بكتيريا *E. coli* خضراء metallic sheen على صبغات الايوسين والمثلين الازرق التي تترسب في الوسط الحامضي بعد ارتباطها مع بعضها فتعطي لون أخضر معدني براق ، وهذا يدل على إنّ البكتيريا تخمر سكريات اللاكتوز أو السكروز و نواتج عملية تخمرها أحماض عضوية ، و أما على وسط غراء سوربيتول المكونكي ، فظهرت معظم عزلات مستعمرات بكتيريا *E. coli* وردية اللون، وعزلات اخرى من بكتيريا *E. coli* ظهرت مستعمراتها شاحبة اللون لأنها لا تخمر سكر السوربيتول او تخمره في وقت متأخر ، و ظهرت بعض عزلات مستعمرات بكتيريا *E. coli* على وسط غراء كروم بلون ارجواني و أما السلالات الأخرى من بكتيريا *E. coli* ظهرت مستعمراتها باللون الأخضر المزرق ، وهذه النتائج تتوافق مع ما ذكر في (Mahon et al., ٢٠١٥ .

٣-١-٣ التشخيص المجهرى Microscopic Identification

بعد إجراء التصبيغ بصبغة كرام Gram stain ، فحصت المسحة باستعمال المجهر الضوئي microscopic light ، إذ كانت جميع خلايا بكتيريا *E. coli* عصوية الشكل قصيرة سالبة لصبغة كرام ، وهذه النتائج تتطابق مع ما ذكر في (Jawetz et al., ٢٠١٩).

٣-١-٤ التشخيص الكيموي Biochemical Identification

بعد إجراء الاختبارات الكيمويوية على كل العزلات ، ظهرت جميع بكتيريا *E. coli* سالبة لاختبار الاوكسidiز من خلال عدم تحول لون المستعمرات إلى الارجاني ، لأن بكتيريا *E. coli* لا تمتلك انزيم (Cytochrome oxidase) الذي يعمل كمستقبل نهائي للإلكترونات (الميدروجين) في عملية التنفس الهوائي ، كانت جميع العزلات موجبة لاختبار الكاتلiz ، لأن بكتيريا *E. coli* تمتلك انزيم (Catalase) الذي يقوم بتحليل مركب بيكربونات الهيدروجين H_2O_2 إلى ماء واوكسجين (فقاعات) ، وكانت جميع عزلات بكتيريا *E. coli* موجبة لاختبار هيدروكسيد البوتاسيوم KOH ، من خلال تكون مادة هلامية وهذا يدل على إن البكتيريا سالبة لصبغة كرام ، وهذه النتائج تنسمج مع ما ذكر في (Jawetz et al., ٢٠١٩) . (Markey et al., ٢٠١٣).

٣-١-٥ تشخيص البكتيريا باستخدام نظام الفايتك ٢ Vitek

اخترت ٤٠ عزلة من أصل ١٠٠ عزلة لغرض التشخيص باستعمال نظام الفايتك ٢ Vitek ، وكان اختبار العزلات البكتيرية بالاعتماد على فحص عينة البراز تحت المجهر الضوئي والتي كانت حاوية على خلايا الدم الحمراء red blood cells او خلايا التهابية pus cells ، وكانت النتائج تشير إلى أن ٤٠ عزلة تعود لبكتيريا *E. coli* ، كما موضح في الملحق (٢) و (٣) .

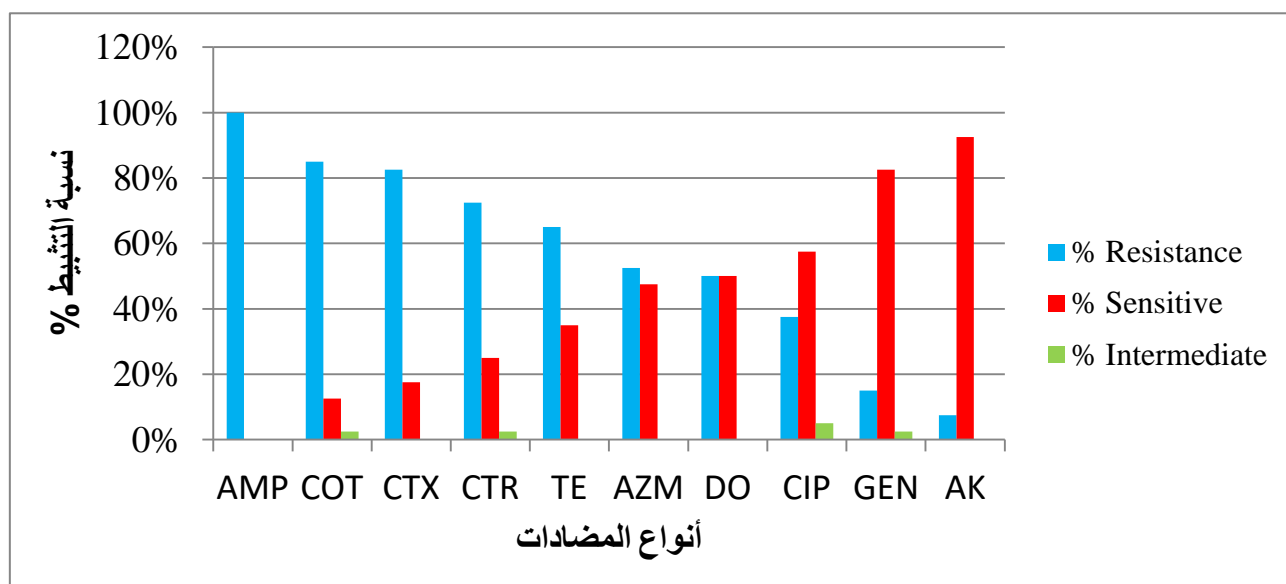
٣-١-٦ مقاومة البكتيريا للمضادات الحيوية

أختبرت حساسية العزلات البكتيرية ضد عشرة أنواع من المضادات الحيوية وكان اختيار المضادات شائعة الاستعمال ، وقد كانت العزلات البكتيرية متباعدة في مقاومتها لهذه المضادات كالاتي :

الفصل الثالث

أظهرت النتائج إن (٤٠) ١٠٠٪ عزلة بكتيرية مقاومة للمضاد الحيوي Ampicillin وهي أعلى نسبة مقاومة، وتليها ٣٤ عزلة بكتيرية تمثل نسبة ٨٥٪ كانت مقاومة للمضاد الحيوي Co-Trimoxazole ، ثم ٢٣

عزلة بكتيرية بنسبة ٨٢.٥٪ مقاومة للمضاد الحيوي Cefotaxime ، و (٢٩) ٧٢.٥٪ عزلة بكتيرية كانت مقاومة للمضاد الحيوي Ceftriaxone ، و ٢٦ عزلة بكتيرية بنسبة ٦٥٪ مقاومة للمضاد الحيوي Tetracycline ، و ٢١ عزلة بكتيرية تمثل نسبة ٥٢.٥٪ مقاومة للمضاد الحيوي Azithromycin ، و (٢٠) ٥٠٪ عزلة بكتيرية مقاومة للمضاد الحيوي Doxycycline ، و ١٥ عزلة بكتيرية بنسبة ٣٧.٥٪ مقاومة للمضاد الحيوي Ciprofloxacin ، (٦) ١٥٪ عزلة بكتيرية مقاومة للمضاد الحيوي Gentamycin ، و اخيراً ٣ عزلات بكتيرية تمثل نسبة ٧.٥٪ مقاومة للمضاد الحيوي Amikacin وهي تمثل أقل عدد من العزلات المقاومة للمضادات الحياتية ، مثلاً موضح في الشكل (٣-٧) و الملحق (٤) .



الشكل (٣-٧) النسبة المئوية لمقاومة بكتيريا *E. coli* لمضادات حيوية مختلفة باستعمال طريقة التخفيض للعالمين Kirby and Bauer ، من الاعلى مقاومة الى الاقل وبالعكس بالنسبة للحساسية .

AMP=Ampicillin , AK = Amikacin , AZM =Azithromycin , CTX = Cefotaxime , CTR=Ceftriaxone , COT = Co-Trimoxazole , DXT = Doxycycline , GEN = Gentamycin , TE = Tetracycline , CIP = Ciprofloxacin .

توافقت نتائج الدراسة الحالية بالنسبة للمضاد الحيوي Ampicillin مع نتائج الدراسات السابقة ومنها دراسة محلية للباحثة (Shatub *et al.*, ٢٠٢١) في تكريت التي أوضحت فيها إن نسبة العزلات البكتيرية المقاومة لهذا المضاد الحيوي ٩٧٪ . بينما اختلفت نتائج الدراسة الحالية مع دراسة الباحث (Webale *et al.*, ٢٠٢٠) في كينيا إذ كانت نسبة مقاومة البكتيريا لهذا المضاد ٥٥.٢٪ .

الفصل الثالث

و من أسباب مقاومة المضادات الحيوية التابعة لمجموعة البيتا لاكتام مثل البنسلين والسيفالوسبوريين وغيرها هو وجود طفرات في موقع ارتباط البنسلين بالبروتينات (PBPs) penicillin – binding proteins (PBPs) ، أو تغيير في نفاذية الجدار الخلوي بواسطة طفرات في بروتينات الغشاء الخارجي ، أو انظمة دفق efflux pump أو انزيمات البيتا لاكتام (Mancuso *et al.*, ٢٠٢١).

أو انزيمات البيتا لاكتام (Mutai *et al.*, ٢٠٢١). ربما يعود سبب اختلاف نسب مقاومة البكتيريا للمضاد نفسه إلى استعمال الاعشاب والنباتات الطبية الشائعة استعمالها في كينيا كبديل عن استعمال المضادات الحيوية وبالتالي انخفاض نشوء مقاومة أو انتقالها بين البكتيريا .

تماثلت نتائج الدراسة الحالية بالنسبة للمضاد الحيوي كوا-Trimoxazole مع دراسة محلية (Al-Dahmoshi *et al.*, ٢٠١٥) أجريت في مدينة بابل والتي بلغت فيها نسبة مقاومة البكتيريا لهذا المضاد الحيوي ٨٢٪ . وأيضاً تماثلت نتائج الدراسة الحالية مع النتائج التي توصل إليها الباحث (Verma *et al.*, ٢٠١٩)

في شمال الهند والتي كانت نسبة مقاومة البكتيريا ٩٥٪ ، بينما اختلفت نتائج الدراسة الحالية مع نتائج دراسة (Chukwu *et al.*, ٢٠١٩) في جنوب افريقيا والتي بلغت نسبة مقاومة البكتيريا لهذا المضاد ٢٦.٥٪ .

وجد إن الاستعمال المستمر خلال العقود الماضية لمثبتات حامض الفوليك Folic acid والتي من ضمنها المضاد الحيوي كوا-Trimoxazole أدى إلى مقاومة مكتسبة مشفرة بواسطة جينات ، و هذه المقاومة تعتمد على التغيرات في ايض الخلية فضلا عن تغير مستويات التعبير عن الانزيمات المشاركة في التخليق الحيوي لحامض الفوليك (Lauxen *et al.*, ٢٠٢١) . قد يكون سبب اختلاف نسب مقاومة البكتيريا لنفس المضاد هو استعمال طرق بدائل عن استعمال المضادات الحيوية كما هو معروف من طرق في افريقيا كالعلاج النفسي واستخدام مواد قد تكون سامة للإنسان وبالتالي يؤدي عدم استعمال المضاد باستمرار إلى انخفاض نشوء مقاومة وانتقال صفة مقاومة بين البكتيريا (Sorsdahl *et al.*, ٢٠١٠) .

تطابق نتائج الدراسة الحالية بخصوص المضاد الحيوي Cefotaxime التابع لمجموعة البيتا لاكتام مع نتائج دراسة محلية (Al-Dahmoshi *et al.*, ٢٠١٥) في بابل والتي بلغت نسبة مقاومة البكتيريا فيها لهذا النوع من المضادات ٨٩.٧٪ ، لكن اختلفت نتائج الدراسة الحالية مع نتائج دراسة (Huang *et al.*, ٢٠١٦) في الصين والتي بلغت نسبة مقاومة البكتيريا ٤٢.٥٪ .

قد يكون سبب الاختلاف في نسب مقاومة البكتيريا لنفس المضاد هو استعمال الاعشاب الطبية الشائعة الاستعمال في الصين كبديل عن استخدام المضادات الحيوية وبالتالي انخفاض نشوء مقاومة وانتقالها بين البكتيريا . (Ji *et al.* , ٢٠٢٠)

الفصل الثالث

اما نتائج الدراسة الحالية فيما يتعلق للمضاد الحيوي Ceftriaxone التابع لمجموعة البيتا لاكتام فقد توافقت مع نتائج دراسة (Broujerdi *et al.*, ٢٠١٨) في ايران والتي كانت نسبة مقاومة البكتيريا لهذا المضاد ٧١٪ ، وايضاً توافق الدراسة الحالية مع نتائج دراسة الباحثة (Khairy *et al.*, ٢٠٢٠) في مصر و التي بلغت نسبة

مقاومة البكتيريا ٦٦.٧٪ . من جهة اخرى فان نتائج الدراسة الحالية اختلفت مع دراسة الباحث (Webale *et al.*, ٢٠٢٠) في كينيا والتي بلغت نسبة مقاومة البكتيريا لهذا المضاد ١٢.٣٪ .

توافق نتائج الدراسة الحالية بالنسبة للمضاد الحيوي Tetracycline مع دراسة الباحث (Manhique- Coutinho *et al.*, ٢٠٢٢) في موزمبيق والتي بلغت نسبة مقاومة البكتيريا للمضاد الحيوي التتراسيكلين في هذه الدراسة ٦٨.٣٪ ، ولم تتماثل الدراسة الحالية مع دراسة سابقة (Verma *et al.*, ٢٠١٩) في شمال الهند والتي بلغت نسبة مقاومة البكتيريا ٩٧.٣٠٪ .

قد يكون السبب وراء اختلاف نسب مقاومة البكتيريا لنفس المضاد الحيوي هو ما اشارت اليه منظمة الصحة العالمية من عوامل رئيسية ادت الى حدوث مشكلة مقاومة المضادات الحياتية في جميع انحاء العالم وتتلخص بالإسراف العشوائي في استخدام المضادات الحياتية و بشكل رئيسي في البلدان النامية التي يسهل فيها الحصول على المضادات الحياتية دون وصفة طبية إضافة الى نقص وسائل التشخيص الدقيقة في المختبرات من اجل السيطرة على ظهور مقاومة المضادات الحيوية ، وهذه الأسباب قد تفسر الارتفاع الخطير في نسب مقاومة (Abadi *et al.*, ٢٠١٩) . من أسباب مقاومة المضاد الحيوي التتراسيكلين هو حدوث طفرات جينية مقاومة وانتقالها بين البكتيريا أو تغير في نفاذية الغشاء الخارجي عن طريق تغيير نفاذية البروتينات من البورينات التي تمنع دخول بعض المضادات الحيوية (Yu *et al.*, ٢٠٢٠) .

اما نتائج الدراسة الحالية بالنسبة للمضاد الحيوي Azithromycin التابع لمجموعة ماكروليدات فقد توافقت مع نتائج دراسة الباحث (Rahman *et al.*, ٢٠٢٠) في بنغلادش ، إذ بلغت نسبة مقاومة البكتيريا للازوثرومايسين ٦٧.٧٤٪ ، ولم تتوافق الدراسة الحالية مع نتائج دراسة (Abbasi *et al.*, ٢٠٢٠) في ايران والتي بلغت نسبة مقاومة البكتيريا ٢٨.١٪ .

بالنسبة للمضاد الحيوي دوكسيسيكلين Doxycycline التابع لمجموعة التتراسيكلين كانت نتائج الدراسة الحالية تتطابق مع دراسة سابقة (Gu *et al.*, ٢٠٢٢) في الصين والتي بلغت نسبة مقاومة البكتيريا فيها ٣٩.٩٪ ، و اختلفت الدراسة الحالية مع دراسة (Verma *et al.*, ٢٠١٩) في الهند والتي بلغت نسبة مقاومة البكتيريا ٧٨.٢٠٪ .

الفصل الثالث

أما نتائج الدراسة الحالية بخصوص المضاد الحيوي Ciprofloxacin التابع لمجموعة فلوروquinolones Fluoroquinolones كانت متوافقة مع نتائج دراسة محلية (Hasan *et al.*, ٢٠٢٠) في دهوك والتي بلغت نسبة مقاومة البكتيريا (٤٢.٩٪)، وختلفت الدراسة الحالية مع نتائج دراسة الباحث (Verma *et al.*, ٢٠١٩) في الهند والتي كانت نسبة مقاومة البكتيريا لهذا المضاد (٩٣.٢٤٪). ومن اهم العوامل وراء مقاومة البكتيريا هو

الأغشية الحيوية biofilms ، إذ تعد عاماً اساسياً يساهم بمنح البكتيريا صفة مقاومة للمضادات الحيوية وتحملها ، لمضخات الدفق دور مباشر في مقاومة المضادات والتي تكون موجودة في تراكيب الأغشية الحيوية للبكتيريا السالبة لصبغة كرام (Reza *et al.*, ٢٠١٩) .

و تتطابق نتائج الدراسة الحالية بالنسبة للمضاد الحيوي Gentamycin التابع لمجموعة امينوكلايكوسايد مع دراسة محلية (Al-Imam & Flayyih, ٢٠٢٠) في بغداد والتي بلغت نسبة مقاومة البكتيريا ١٥٪ ، ولم تتوافق الدراسة الحالية مع نتائج دراسة (Hasan *et al.*, ٢٠٢٠) والتي كانت نسبة مقاومة البكتيريا ٨٢.٩٪ .

الأغشية الحيوية لها دور مهم في اكتساب البكتيريا صفة مقاومة المضادات الحيوية المتعددة ، وتوجد في البكتيريا الموجبة والسلالة لصبغة كرام (Uruen *et al.*, ٢٠٢٠) . قد يعود سبب الاختلاف في نسب مقاومة المضاد الحيوي نفسه هو الاستعمال العشوائي والتعرض المستمر للمضادات الحيوية أدى إلى نشوء مقاومة للمضادات ، فضلاً عن الضغط الانتقائي من قبل الطبيعة التي كان لها دور في انتقال صفة مقاومة بين البكتيريا وانتشارها بشكل واسع (Hamza & Omran , ٢٠٢٢) .

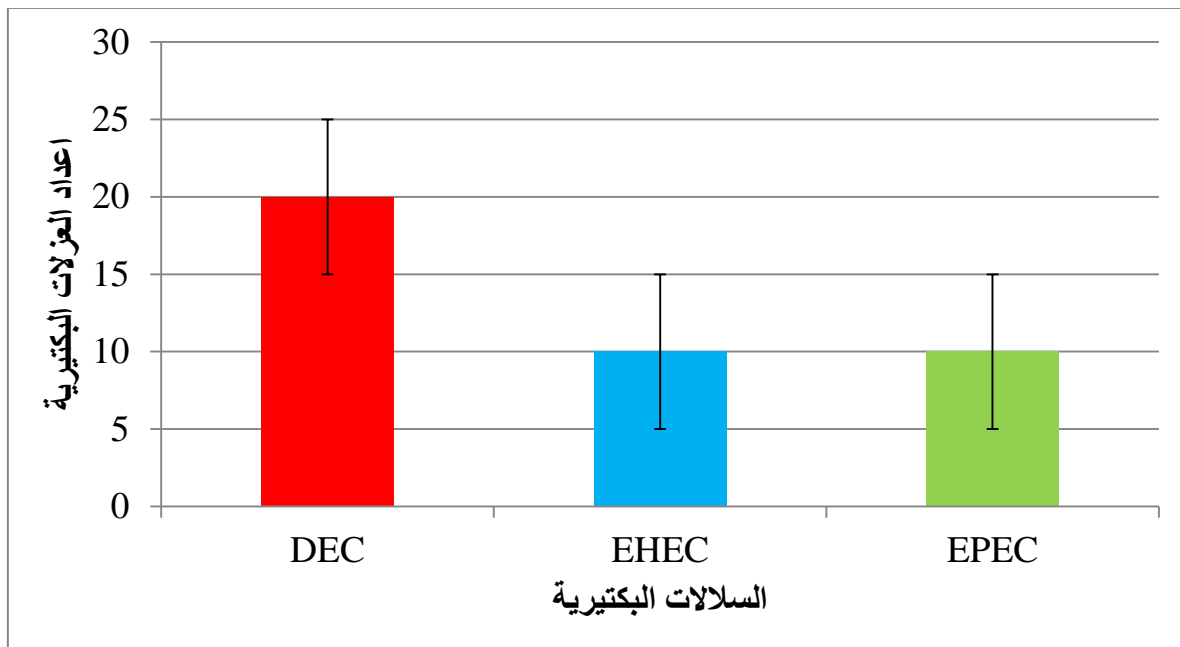
تماثلت نتائج الدراسة الحالية بخصوص المضاد الحيوي Amikacin التابع لمجموعة امينوكلايكوسايد مع نتائج دراسة محلية (Al-Zubaidi & Abbas , ٢٠٢٠) في ديالى والتي بلغت نسبة مقاومة البكتيريا ٣.٤٪ ، و اختلفت الدراسة الحالية مع الدراسة المحلية للباحثة (Shatub *et al.*, ٢٠٢١) في تكريت والتي بلغت نسبة مقاومة البكتيريا ٨٧٪ . قد يكون سبب اختلاف نسب مقاومة البكتيريا المضاد نفسه هو الافراط باستعمال المضادات الحياتية مما يؤدي إلى نشوء طفرات مسؤولة عن صفة مقاومة أو انتقال صفة مقاومة من بكتيريا إلى أخرى (Davies & Davies , ٢٠١٠)

٧-١-٣ التشخيص الجزيئي Molecular identification

تم اختيار ٤٠ عزلة من بكتيريا *E. coli* لغرض التحري الجزيئي وذلك باستعمال تقنية تفاعل البلمرة المتسلسل PCR ، وكان اختيار العزلات البكتيرية بالاعتماد على فحص عينة البراز تحت المجهر الضوئي والتي كانت حاوية على خلايا الدم الحمراء red blood cells او خلايا التهابية pus cells ، حيث أظهرت النتائج إن

الفصل الثالث

- (٢٠) ٥٠٪ عزلة بكتيرية والتي تعود لأنواع المرضية pathotypes لبكتيريا *E. coli* المسببة للإسهال، وإن (١٠) ٥٠٪ عزلات لبكتيريا اشريشيا القولون الممرضة للأمعاء ، و(١٠) ٥٠٪ عزلات حاملة لجينين معا (١) *stx 2&stx 5* تعود لبكتيريا اشريشيا القولون النزفية المعاوية ولوحظ عدم وجود فرق معنوي واضح بين السلالتين ($P \geq 0.05$) ، مثلما موضح في الشكل (٨-٣) و الجدول (١-٣) .



الشكل (٨-٣) عدد عزلات بكتيريا DEC ، EHEC وسلالاتها (EPEC) .

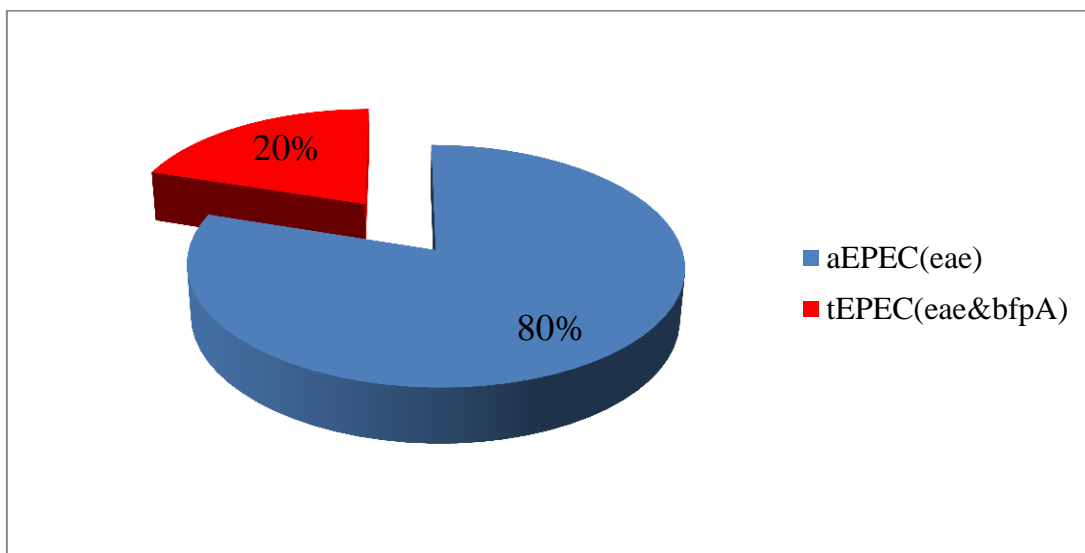
تتوافق نتائج الدراسة الحالية بالنسبة لبكتيريا اشريشيا القولون المسببة للإسهال مع نتائج الدراسات السابقة ، و منها دراسة محلية (Abdul-Hussein *et al.*, ٢٠١٨) في واسط والتي كانت نسبة العزل لهذه البكتيريا ٤٥.٥٪ ، و تتوافق الدراسة الحالية مع دراسة الباحث (Roy *et al.*, ٢٠١٣) في بنغلادش التي كانت النتائج فيها ٣٧٪ . هذا من جهة أخرى فإن نتائج الدراسة الحالية اختلفت مع نتائج دراسة الباحثة (Khairy *et al.*, ٢٠٢٠) في مصر والتي كانت نتائج نسبة عزل البكتيريا فيها ٢٠.٦٪ ، و ذكرت هذه الدراسة إن من اسباب اختلاف نسبة انتشار بكتيريا اشريشيا القولون المسببة للإسهال مع دراسات أخرى هو إن البكتيريا مسؤولة عن معظم حالات الإسهال الحادة في الأطفال دون ٥ سنوات في الدول النامية ، وإن السفر لتلك الدول او السفر داخل المنطقة المصابة نفسها يزيد من خطر العدوى .

تتوافق نتائج الدراسة الحالية لنسب وجود بكتيريا اشريشيا القولون الممرضة للأمعاء و بكتيريا اشريشيا القولون النزفية للأمعاء مع نتائج الدراسة السابقة في جنوب افريقيا للباحث (Omolajaiye *et al.*, ٢٠٢٠) والتي

الفصل الثالث

كانت نسب النتائج فيها ١٧٪ و ١٧٪ على التوالي . و اختلفت مع نتائج دراسة الباحث (Zhou et al., ٢٠١٨) في الصين والتي كانت النسب فيها ٥٠٪ و ٣.٧٪ على التوالي . قد يكون سبب اختلاف نسب انماط بكتيريا اشريشيا القولون المسيبة للإسهال مع الدراسات الأخرى هو ارتباطها بعوامل عدّة مثل المناخ و مستوى نظافة الفرد والموقع الجغرافي (Gomes et al., ٢٠١٦) .

أظهرت النتائج في الدراسة الحالية إنّ من بين عزلات بكتيريا اشريشيا القولون الممرضة للأمعاء العشرة منها ٨٠٪ عزلات بكتيرية حاملة لجين (eae) تعود للبكتيريا الممرضة للأمعاء غير المثلية aEPEC ، وعزلتان ٢٠٪ حاملة لجينين معاً (eae &bfpA) تعود للبكتيريا الممرضة للأمعاء المثلية tEPEC ، وتبيّن من التحليل الاحصائي وجود فرق معنوي بين النوعين لهذه البكتيريا ($P = 0.05$) كما موضح في الشكل (٩-٣) .



الشكل (٩-٣) نسب عزلات انواع بكتيريا EPEC وهي المثلية tEPEC وغير المثلية aEPEC .

تنوّافق نتائج الدراسة الحالية بالنسبة لبكتيريا (tEPEC, aEPEC, EPEC) مع نتائج الدراسة المحلية للباحثة شتاب (Shatub et al., ٢٠٢١) في تكريت والتي كانت فيها النسب ٤٥.٧٪، ٨٥.٧٪، ١٤.٣٪ ، وايضاً تتوافق مع دراسة الباحث (Zhou et al., ٢٠١٨) في الصين والتي كانت النتائج فيها ٥٠٪، ٧٧.٨٪، ٢٢.٢٪ على التوالي . بينما لم تتطابق نتائج الدراسة الحالية فيما يخص توزيع نسب بكتيريا اشريشيا القولون الممرضة للأمعاء مع دراسة الباحثة (Khairy et al., ٢٠٢٠) في مصر و التي كانت نسبة وجود البكتيريا الممرضة للأمعاء المثلية ٢٨.٨٪ أعلى من نسبة وجود البكتيريا الممرضة للأمعاء غير المثلية ١٦.٦٪ ، وذكرت هذه الدراسة إنّ

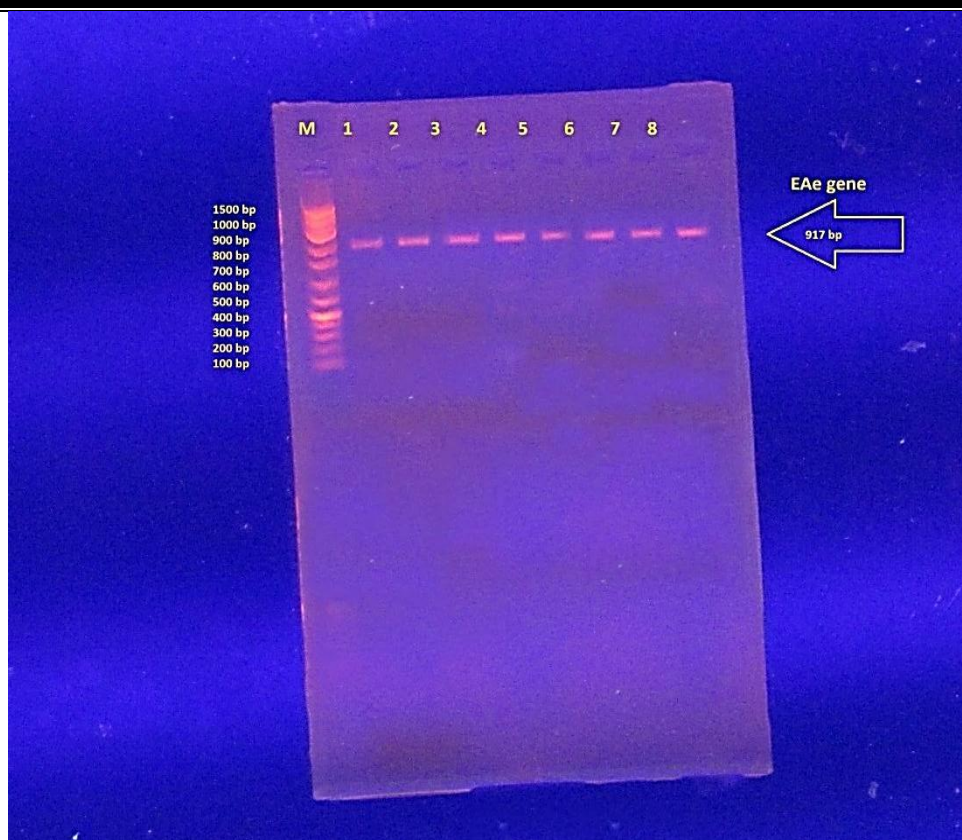
الفصل الثالث

أسباب الاختلاف في نسب انتشار بكتيريا اشريشيا القولون المسببة للإسهال قد يكون الموقع الجغرافي على سبيل المثال.

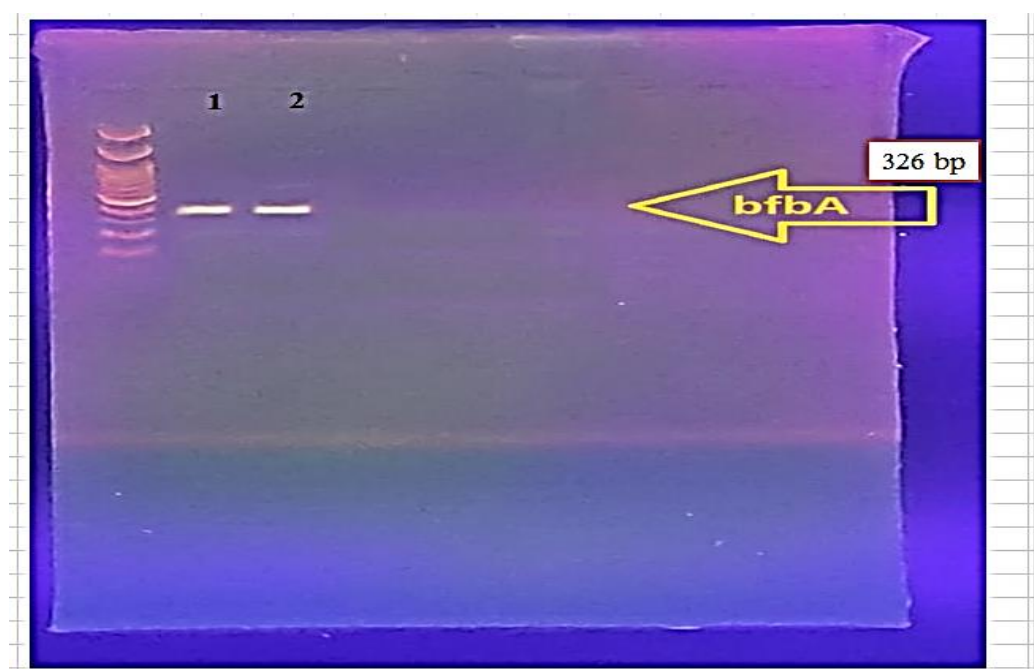
تتوافق نتائج الدراسة الحالية بالنسبة لبكتيريا اشريشيا القولون النزفية للأمعاء مع دراسة الباحثة (Eltai *et al.*, ٢٠٢٠) في قطر والتي كانت فيها النتائج ٤٣٪ بينما لم تتماثل النتائج الحالية مع نتائج الدراسة المحلية للباحثة (Hasan *et al.*, ٢٠٢٠) في دهوك والتي كانت نسبة التواجد ١٠٪.

قد يكون سبب الاختلاف في نسب انتشار بكتيريا اشريشيا القولون النزفية للأمعاء مع الدراسات السابقة هو تأثير المناخ ، إذ وجد ان الزيادة في درجة الحرارة المحيطة تتوافق مع ارتفاع نسبة الإصابة ببكتيريا اشريشيا القولون المسببة للإسهال (Philipsborn *et al.*, ٢٠١٦).

و قد اوضحت نتائج ترحيل نواتج تفاعل البلمرة المتسلسل للكشف عن الجينات قيد الدراسة إن حجم الجين *eae* الموجود في بكتيريا EPEC هو ٩١٧ bp ، والجين *bfpA* الموجود ايضاً في بكتيريا EPEC حجمه ٣٢٦ bp ، والجين *stx*١ الموجود في بكتيريا EHEC حجمه ١٨٠ bp ، والجين *stx*٢ الموجود أيضاً في بكتيريا EHEC حجمه ٢٥٥ bp ، إذ تتطابق هذه النتائج مع معظم الدراسات في هذا المجال ، و هذه الجينات الأربع موضحة في الأشكال (١٠-٣)، (١١-٣)، (١٢-٣)، (١٣-٣).



شكل (١٠-٣) التر Higgins الكهربائي لنتائج تفاعل البلمرة المتسلسل لجين *eae* (٩١٧ bp) لعuzلات بكتيريا EPEC في الاكاروز ١.٥٪ وفرق جهد ١٠٠ لمندة ٣٠ دقيقة . تمثل الاعداد من ١ الى ٨ عدد العزلات البكتيرية الحاملة للجين *eae* .



الفصل الثالث

شكل (١١-٣) التر Higgins الكهربائي لنتائج تفاعل البلمرة المتسلسل لجين *bfpA* (٣٢٦ bp) لعزلات بكتيريا EPEC في الاكاروز ١.٥% وفرق جهد ١٠٠ لمندة ٣٠ دقيقة . تمثل الاعداد من ١ الى ٢ عدد العزلات البكتيرية الحاملة للجين *bfpA* .



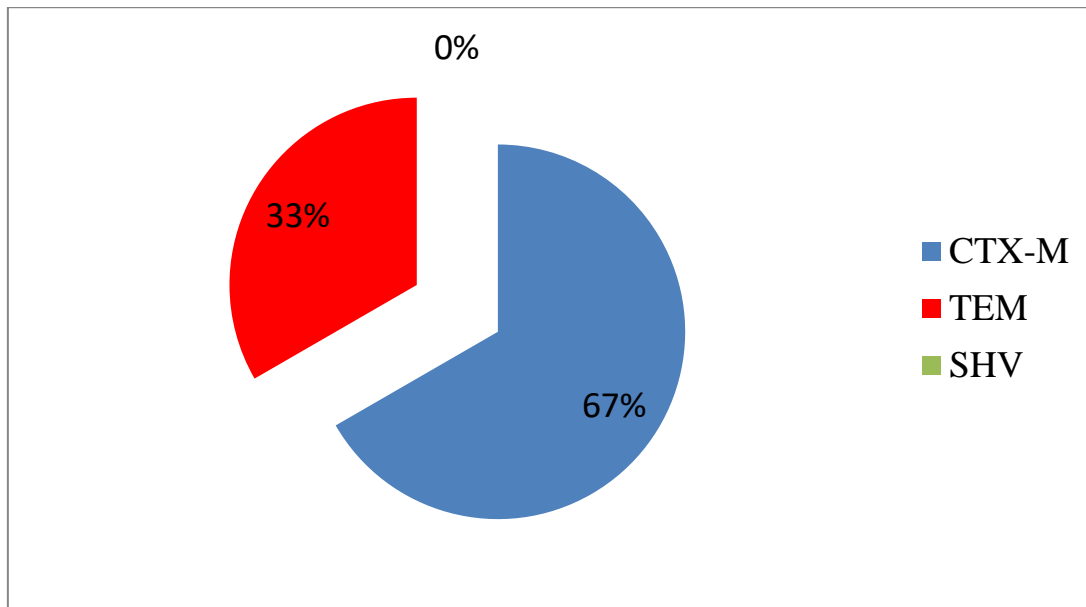
شكل (١٢-٣) التر Higgins الكهربائي لنتائج تفاعل البلمرة المتسلسل لجين ١ *stx* (١٨٠ bp) لعزلات بكتيريا EHEC في الاكاروز ١.٥% وفرق جهد ١٠٠ لمندة ٣٠ دقيقة ، وتمثل الاعداد من ١ الى ١٠ عدد العزلات البكتيرية الحاملة لجين ١ *stx* .



الفصل الثالث

شكل (١٣-٣) الترحيل الكهربائي لنتائج تفاعل البلمرة المتسلسل لجين stx (٢٥٥ bp) لعزلات بكتيريا EHEC في الاكاروز ١٠.٥٪ وفرق جهد ١٠٠ لمنطقة ٣٠ دقيقة ، وتمثل الاعداد من ١ الى ١٠ عدد العزلات البكتيرية الحاملة لجين stx (٢).

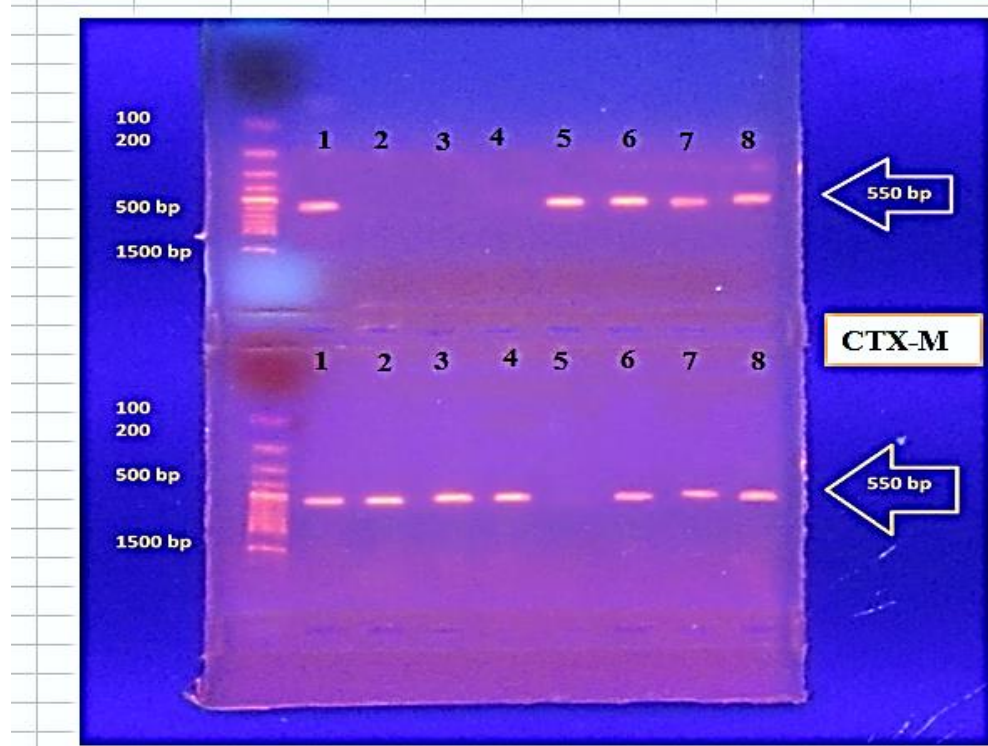
وأظهرت النتائج إن العزلات الحاملة لجين $CTX-M$ كانت (١٢) ٦٦٪ عزلة وهي الأعلى معنوياً (P=٠.٠٠٣) من العزلات الحاملة لجين TEM بواقع (٦) ٣٣٪ عزلة ، ولم يظهر الجين SHV في أي عزلة من العزلات ، كما موضح في الشكل (١٤-٣) و الجدول (١-٣) .



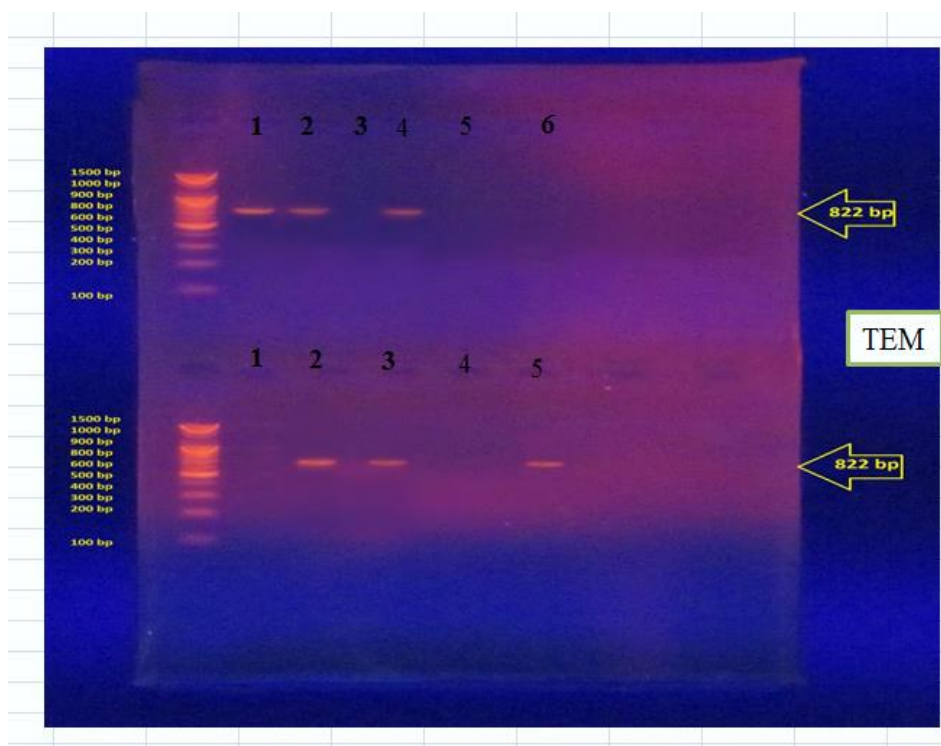
. (١٤-٣) نسب جينات مقاومة المضاد بينا لاكتام ($CTX-M$, SHV , TEM)

و تتوافق نتائج الدراسة الحالية بالنسبة للجينات ($CTX-M$, TEM , SHV) التي كانت فيها الجين الأعلى نسبة هو $CTX-M$ ثم يليه الجين TEM مع نتائج دراسة سابقة للباحثين (Alshehri & Moussa .. , ٢٠٢١) في السعودية والتي كانت النتائج فيها (٥٧٪ , ٣٩٪ , ٠٪) على التوالي ، واختلفت نتائج الدراسة الحالية مع دراسة محلية (Alsherees & Ali , ٢٠١٩) في النجف التي كانت فيها الجين السائد SHV بنسبة ١٠٠٪ ، ثم يليه الجين TEM بنسبة ٨١٪ ، والجين $CTX-M$ بنسبة ٧٧.٣٪ .

وقد أوضحت نتائج ترحيل نواتج تفاعل البلمرة المتسلسل للكشف عن الجينات قيد الدراسة إن حجم الجين $CTX-M$ الموجود في بكتيريا *E. coli* هو (٥٥٠ bp) ، والجين TEM الموجود في بكتيريا *E. coli* حجمه (٨٢٢ bp) ، ولم يظهر الجين SHV أثناء الترحيل الكهربائي ، وهو ما يتوافق مع الدراسات السابقة بهذا الخصوص ، مثلما موضح في الاشكال (١٥-٣) , (١٦-٣) , (١٧-٣) .

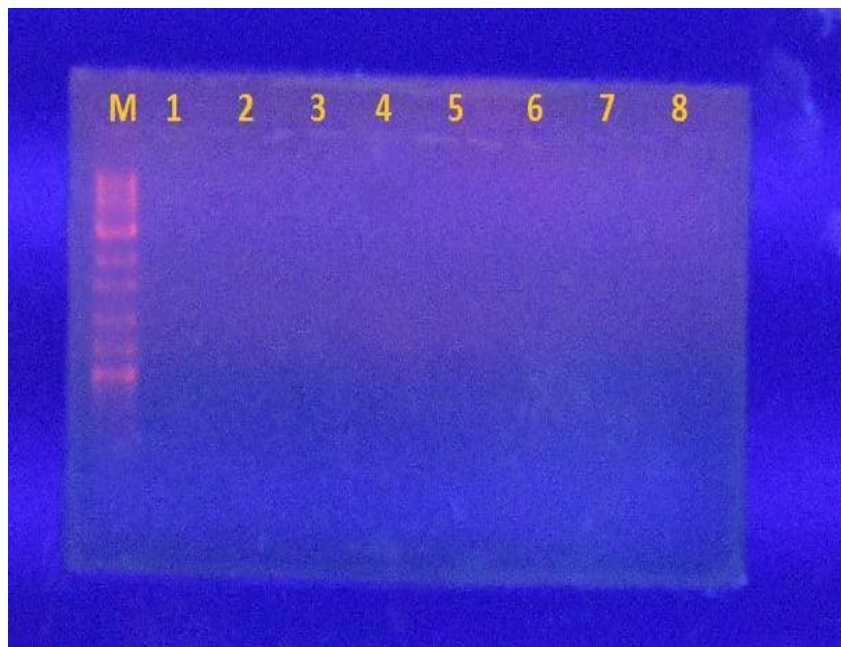


شكل (١٥-٣) الترحيل الكهربائي لناتج تفاعل البلمرة المتسلسل لجين *CTX-M* (٥٥٠ bp) في اكاريون *E. coli* عزلات بكتيريا وفرق جهد ١٠٠ لمندة ٣٠ دقيقة .



الفصل الثالث

شكل (١٦-٣) الترحيل الكهربائي لناتج تفاعل البلمرة المتسلسل لجين *TEM* (٨٢٢ bp) لعزلات بكتيريا *E. coli* في الاكاروز ١.٥٪ وفرق جهد ١٠٠ لمندة ٣٠ دقيقة .



شكل (١٧-٣) الترحيل الكهربائي لناتج تفاعل البلمرة المتسلسل لجين *SHV* (٧٥٣bp) لعزلات بكتيريا *E. coli* في الاكاروز ١.٥٪ وفرق جهد ١٠٠ لمندة ٣٠ دقيقة ، اذ لم يظهر الجين اثناء الترحيل الكهربائي .

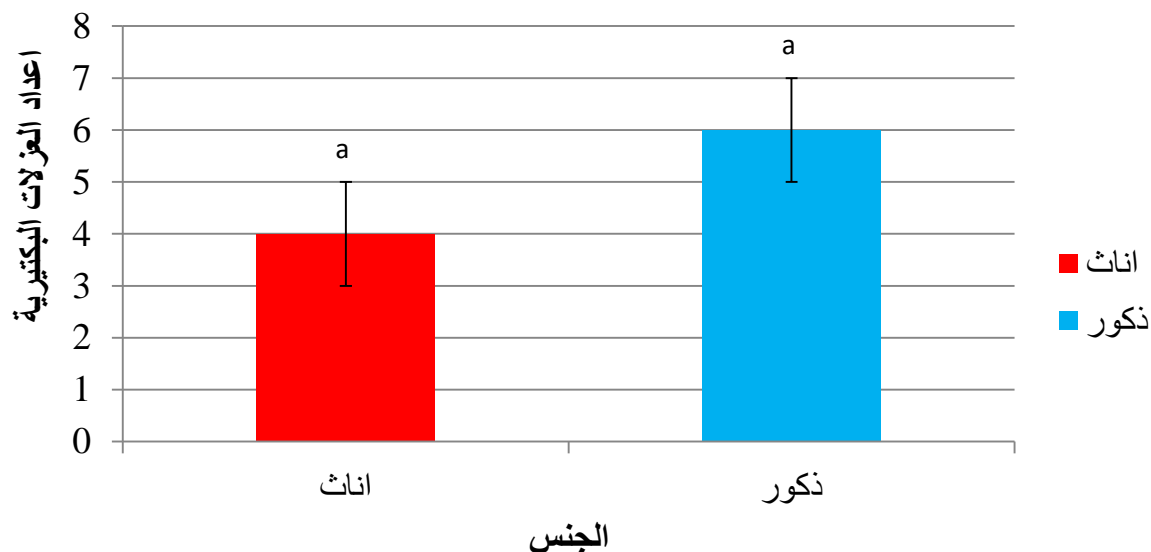
٨-١-٣ توزيع العزلات المرضية لبكتيريا *E. coli*

كان توزيع العزلات المرضية لبكتيريا الممرضة للأمعاء EPEC و بكتيريا المعاوية النزفية EHEC بين الذكور والإناث ، والفئات العمرية ، و جينات البيتا لاكتام (*CTX-M* , *TEM*) ، كما يلي :

٨-١-١-٣ توزيع العزلات المرضية لبكتيريا *E. coli* حسب الجنس

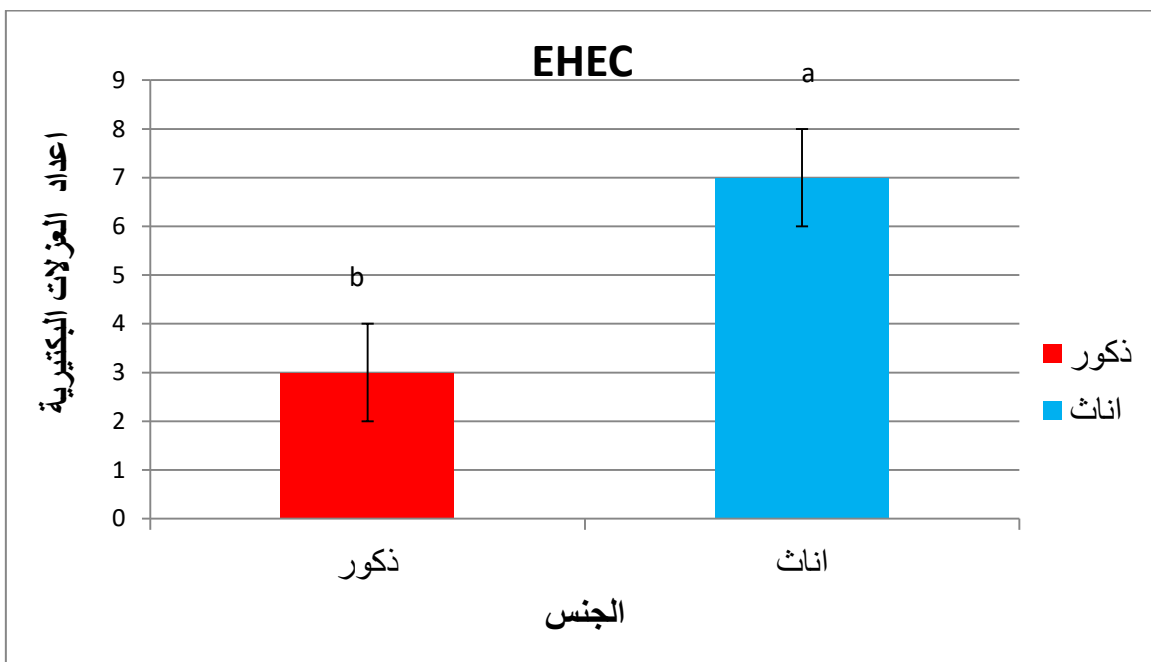
أظهرت النتائج إنّ بكتيريا الممرضة للأمعاء EPEC موجودة بنسبة أعلى في الذكور (٦٠٪ من وجودها في الإناث (٤٠٪ ، ولكن بصورة غير معنوية ($P = 0.070$) ، وكانت بكتيريا المعاوية النزفية EHEC موجودة في الإناث (٧٠٪ أكثر من الذكور (٣٠٪ ، وبصورة معنوية تقريباً ($P = 0.053$) ، مثلاً موضح في الشكلين (١٨-٣) و (١٩-٣) .

EPEC



الشكل (١٨-٣) توزيع عزلات بكتيريا EPEC حسب الجنس ، النتائج تمثل (المعدل ± الانحراف المعياري) ، والاعمدة التي تحمل نفس الحروف لا تعطي فروقات معنوية ($P \geq 0.05$) .

EHEC



الفصل الثالث

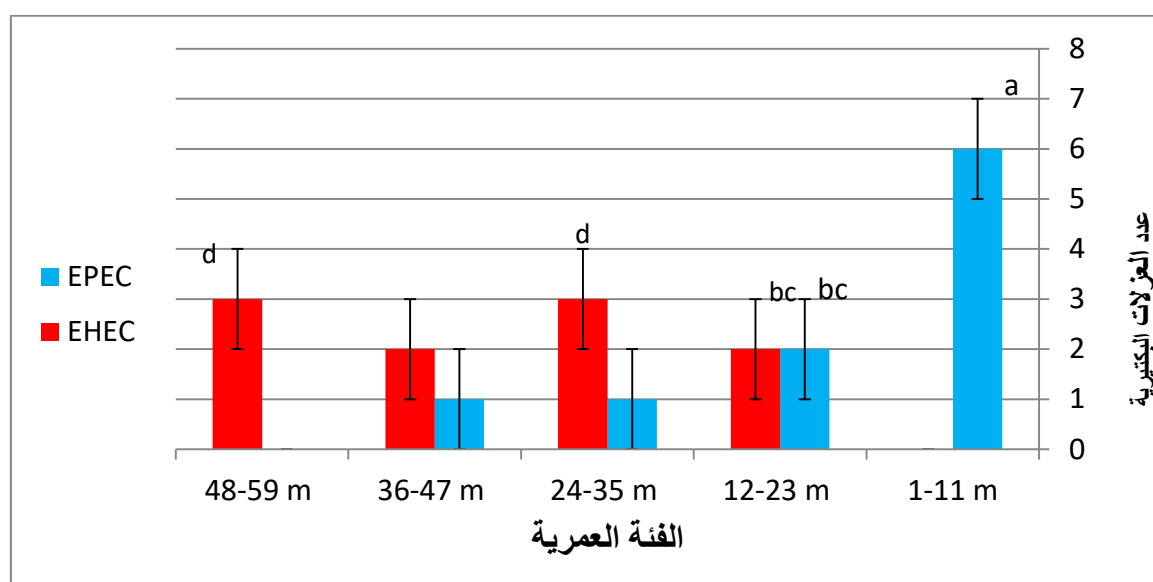
الشكل (١٩-٣) توزيع عزلات بكتيريا EHEC حسب الجنس، النتائج تمثل (المعدل \pm الانحراف المعياري) والاعمدة التي تحمل حروف مختلفة تعطي فروقات معنوية ($P \leq 0.05$) .

٢-٨-١-٣ توزيع العزلات المرضية لبكتيريا *E. coli* حسب العمر

أظهرت النتائج إن بكتيريا اشريشيا القولون الممرضة للأمعاء كانت موجودة في الفئة العمرية (١١-١١) شهر بعد (٦٠٪) عزلة ، وفي الفئة (٢٣-٢١) شهر بعد (٢٠٪) عزلة ، تاليها الفئة العمرية (٣٥-٤٢) شهر بعد (١٠٪) عزلة ، و الفئة العمرية (٤٧-٤٦) شهر بعد (١٠٪) عزلة، ولم تظهر في الفئة العمرية (٥٩-٤٨) .

أظهرت النتائج إن بكتيريا اشريشيا القولون النزفية للأمعاء لم تكن موجودة في الفئة العمرية (١١-١١) شهر ، وكانت موجودة في الفئة العمرية (٢٣-٢١) شهر بعد (٢٠٪) عزلة ، في الفئة (٣٥-٤٢) شهر بعد (٣٠٪) عزلة ، وفي الفئة (٤٦-٤٦) شهر بعد (٥٠٪) عزلة ، وفي الفئة العمرية (٥٩-٤٨) شهر بعد (٣٠٪) .

كما موضح في الشكل (٣-٢٠) . أظهر التحليل الاحصائي بما يخص بكتيريا اشريشيا القولون الممرضة للأمعاء عدم وجود فرق معنوي بين الفئات العمرية عدا الفئة العمرية (١١-١١) شهر إذ كانت الأعلى معنويا .

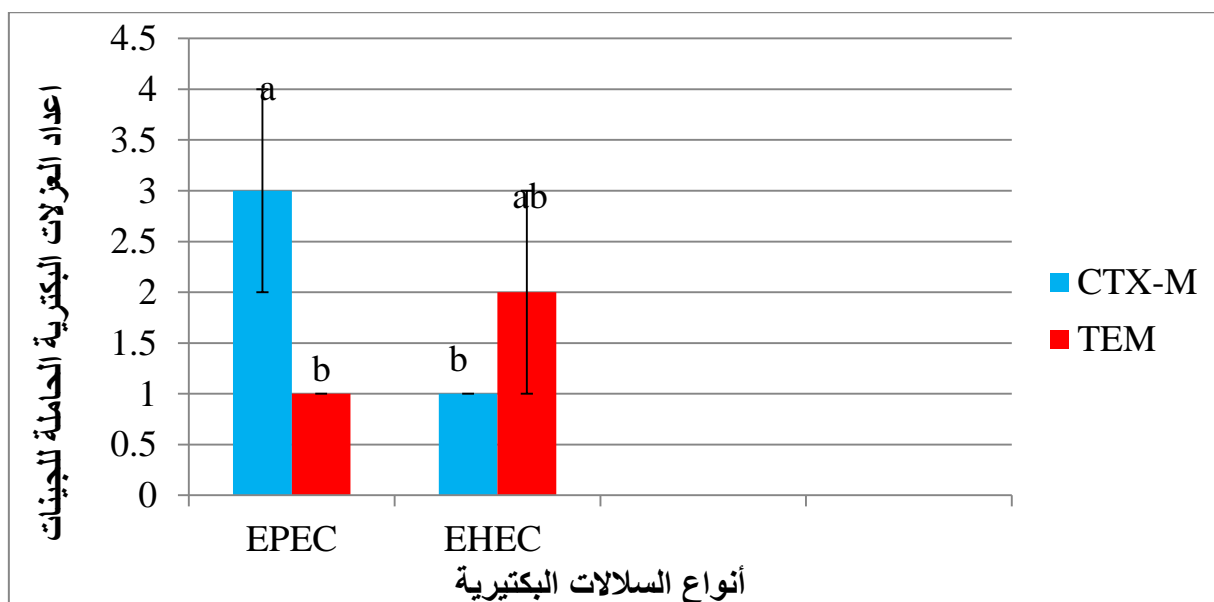


الفصل الثالث

الشكل (٢٠-٣) توزيع العزلات المرضية حسب العمر ، النتائج تمثل (المعدل ± الانحراف المعياري) والاعمدة التي تحمل حروف مختلفة تعطي فروقات معنوية ($P \leq 0.05$) .

٣-٨-١-٣ توزيع العزلات المرضية لبكتيريا *E. coli* حسب جينات البيتا لاكتام

أظهرت النتائج إنّ بكتيريا EPEC حاملة جين *CTX-M* في (٣) ٣٠٪ عزلات وبصورة معنوية ($P=0.0024$) عن بقية الجينات ، وحاملة الجين *TEM* في عزلة واحدة وبنسبة ١٠٪ . وأيضاً سلالة بكتيريا EHEC كانت حاملة جين *CTX-M* في عزلة واحدة وبنسبة ١٠٪ ، وحاملة الجين *TEM* في عزلتين وبنسبة ٢٠٪، مثلاً موضحاً في الشكل (٢١-٣) .



الشكل (٢١-٣) توزيع العزلات المرضية بين جينين (*CTX-M* و *TEM*) ، النتائج تمثل (المعدل ± الانحراف المعياري) والاعمدة التي تحمل حروف مختلفة تبين وجود فروقات معنوية ($P \leq 0.05$) .

تتوافق نتائج الدراسة الحالية بالنسبة لوجود بكتيريا EPEC وبكتيريا EHEC في الذكور والإإناث مع دراسة سابقة (Abbasi *et al.*, ٢٠٢٠) في ايران ، إذ كانت بكتيريا EPEC موجودة في الذكور بنسبة (٥٥.٥٪) وفي الإناث (٤٤.٤٪) ، وبكتيريا EHEC موجودة في الذكور بنسبة ٣٣٪ وفي الإناث بنسبة ٦٦.٦٪ .

تتوافق نتائج الدراسة الحالية بالنسبة لوجود بكتيريا EPEC في الفئات العمرية مع نتائج دراسة سابقة محلية للباحثة (Khalil , ٢٠١٥) في بغداد ، إذ كانت موجودة في الفئة العمرية (١٠-١١) سنة بنسبة ٦٠٪ ، والفئة العمرية (١٢-١٣) سنة تتوارد بنسبة ٢٧٪ ، والفئة العمرية (٢٥-٣٥) سنة بنسبة ١٣٪ ، واختلفت الدراسة الحالية مع دراسة (Raghavan *et al.*, ٢٠١٧) في السعودية ، إذ كانت البكتيريا موجودة في الفئة العمرية (٦٠-٦٩) شهر في عزلة واحدة ، والفئة العمرية (١١-١٧) شهر بعده ٤ عزلات بكتيرية ، وأما الفئة العمرية (٣-١١) سنة تواجدت البكتيريا

الفصل الثالث

بعد ٩ عزلات ، و أخيراً الفئة العمرية (٣-٥) سنة بعده ٤ عزلة ، حيث كانت أعلى نسبة موجودة فيها في الفئة العمرية (١-٣) سنة .

تتوافق الدراسة الحالية بالنسبة لوجود بكتيريا EHEC في الفئات العمرية مع دراسة سابقة محلية ، (Khalil ٢٠١٥) في بغداد ، إذ كانت في فئة (١٠-١٢) سنة بنسبة ٢٥% ، وفئة (١٢-١٤) سنة بنسبة ٢٥% ، وفئة (١٤-١٦) سنة بنسبة ٧٥% . ولم تتوافق الدراسة الحالية مع دراسة محلية سابقة (Shatub *et al.*, ٢٠٢١) في تكريت ، إذ كانت بكتيريا EHEC متواجدة في فئة (١٠-١٢) سنة ولم تتوارد في الفئات العمرية الأخرى .

تتوافق نتائج الدراسة الحالية بالنسبة لبكتيريا EPEC الحاملة للجين *CTX-M* والجين *TEM* مع دراسة سابقة للباحثة (Elkasaby *et al.*, ٢٠٢٢) في مصر ، إذ كانت النتائج ٩.٦٪ حاملة للجين *CTX-M* ، و ٤٦.٩٪ حاملة للجين *TEM* . واختلفت الدراسة الحالية مع دراسة (Jomehzadeh *et al.*, ٢٠٢١) في ايران ، حيث كانت النتائج هي ٨٣.٣٪ ، ٥٨٪ على التوالي .

أختلفت النتائج بالنسبة لبكتيريا EHEC الحاملة للجين *TEM* مع دراسة (Abbasi *et al.*, ٢٠٢٠) في ايران ، إذ كانت النتائج بالنسبة للجين *TEM* ١٠٠٪ . قد يعزى سبب اختلاف نسب توزيع السلالات المرضية الحاملة لجينات المقاومة مع الدراسات السابقة إلى دور البلازميدات في انتشار جينات التي تشفّر لصفة مقاومة المضادات الحيوانية من بكتيريا إلى أخرى أثناء الإصابة (Pfeifer *et al.*, ٢٠٢٢) .

جدول (١-٣) توزيع الجينات المشفرة لصفة المقاومة وعوامل الضراوة في العزلات البكتيرية قيد الدراسة .

NO.	<i>eae</i>	<i>bfpA</i>	<i>stx ١</i>	<i>stx ٢</i>	<i>CTX-M</i>	<i>TEM</i>	<i>SHV</i>
EC١	+	+	-	-	-	-	-
EC٢	+	+	-	-	-	-	-
EC٣	+	-	-	-	+	+	-
EC٤	+	-	-	-	+	-	-
EC٥	+	-	-	-	+	-	-
EC٦	+	-	-	-	-	-	-
EC٧	+	-	-	-	-	-	-
EC٨	+	-	-	-	-	-	-
EC٩	-	-	+	+	-	+	-

الفصل الثالث

EC10	-	-	+	+	-	+	-
EC11	-	-	+	+	+	-	-
EC12	-	-	+	+	-	-	-
EC13	-	-	+	+	-	-	-
EC14	-	-	+	+	-	-	-
EC15	-	-	+	+	-	-	-
EC16	-	-	+	+	-	-	-
EC17	-	-	+	+	-	-	-
EC18	-	-	+	+	-	-	-
EC19	-	-	-	-	-	+	-
EC20	-	-	-	-	-	+	-
EC21	-	-	-	-	+	+	-
EC22	-	-	-	-	+	-	-
EC23	-	-	-	-	+	-	-
EC25	-	-	-	-	+	-	-
EC26	-	-	-	-	+	-	-
EC27	-	-	-	-	+	-	-
EC27	-	-	-	-	+	-	-
EC28	-	-	-	-	+	-	-

الاستنتاجات والتوصيات

الاستنتاجات والتوصيات

الاستنتاجات

- كانت معظم العزلات البكتيرية مقاومة لطيف واسع من المضادات الحيوانية نظراً لأنها تحمل جين CTX-M الذي يشفّر لصفة المقاومة لمضادات البيتالاكتام ، بينما كانت معظمها في الوقت نفسه حساسة جداً للمضادات الحيوية Amikacin ، Gentamycin .
- كانت نسبة عزل البكتيريا aEPEC أكثر من البكتيريا tEPEC الامر الذي يشير إلى امكانية انتقالها من مصادر عدوى أخرى غير الإنسان .
- إن العوامل مثل السكن والدخل اليومي أو الشهري للعائلة قد تكون سبباً في تفشي مرض الإسهال بصورة عامة .
- بعض السلالات البكتيرية تكون حاملة لجينات عدة تشفّر لصفة المقاومة للمضادات الحيوانية ، و إنّ صفة المقاومة لطيف واسع من المضادات موجودة في أغلب العزلات .

التوصيات

- اختبار فعالية البكتيريا المحفزة الحيوية وبعض المستخلصات النباتية ضد البكتيريا المعاوية المسئولة لمرض الإسهال .
- يجب التحري الدوري في المستشفيات باستعمال التقنيات الجزيئية الحديثة للكشف عن وجود الجينات المشفرة لصفة المقاومة للمضادات الحيوانية في البكتيريا المعزولة من الأمراض .
- الكشف عن الممرضات المعاوية الأخرى وكذلك الكائنات الأخرى التي تسبب الإسهال مثل الفايرو Bates والطفيليات .
- اختبار قدرة البكتيريا المعاوية المسئولة لمرض الإسهال على امتلاكها بعض عوامل الضراوة مثل تكوينها للغشاء الحيوي Biofilm وانتاجها للإنزيمات المحللة للدم .

المصادر

- Abadi, T. ; Rizvanov, A. ; Haertlé, T. & Blatt, N. (٢٠١٩). World Health Organization report: current crisis of antibiotic resistance. Bio Nano Science, Vol. ٩ .
- Abbasi, E. ; Mondanizadeh, M. ; Belkum, A. & Ghaznavi-Rad, E. (٢٠٢٠). Multi-drug-resistant diarrheagenic *Escherichia coli* pathotypes in pediatric patients with gastroenteritis from central Iran. Infection and Drug Resistance, Vol. ١٣ .
- Abdul-hussein, Z. ; Raheema, R. & Inssaf, A. (٢٠١٨). Molecular diagnosis of diarrheagenic *E. coli* infections among the pediatric patients in Wasit Province, Iraq. Journal of Pure and Applied Microbiology, Vol. ١٢ , No. ٤ .
- Akinnibosun, F. & Nwafor, F. (٢٠١٥). Prevalence of diarrhea and antibiotic susceptibility test in children below ٥ years at University of Benin Teaching Hospital, Nigeria. International Research Journal of Public and Environmental Health, Vol. ٢, No. ٤.
- Al zubaidi, A. & Abbas, M. (٢٠٢٠). Microbial Etiology of Acute Diarrhea in Children Under Ten Years of Age in Diyala, Iraq/Hospital-Based Study. Indian Journal of Forensic Medicine & Toxicology, Vol. ١٤ , No. ٤.
- Al-Dahmoshi, H. ; Al-Yassari, A. ; Al-Saad, N. ; Al-Dabagh, N. ; Al-Khafaji, N. ; Mahdi, R. & Naji, N. (٢٠١٥). Occurrence of AmpC, MBL, CRE and ESBLs among diarrheagenic *Escherichia coli* recovered from Infantile Diarrhea, Iraq. Journal of Pharmaceutical and Biomedical Sciences, Vol. ٥ , No. ٣, P. ١٨٩-٩٥.
- Ali, N. ; Abdulkareem, R. & Ali, R. (٢٠٢٢, January). Study of diarrheageneic *E. coli* in Iraqi children. In AIP Conference Proceedings , Vol. ٢٣٨٦ , No. ١ .
- Ali, S. ; Babakir-Mina, M. & Ahmad, H. (٢٠٢٢). Epidemiology and Hematological study of certain enteric bacteria Isolated from Children with Acute Diarrhea in Sulaymania and Erbil Governorates/Iraq. Journal of Pharmaceutical Negative Results, Vol. ١٣ , No. ١ .

- Al-Imam, M. & Flayyih, M. (٢٠٢٠). Molecular Study of Regulatory Gene (Ler) in Enteropathogenic *Escherichia Coli* (EPEC) of Diarrheagenic Patients. Iraqi Journal of Science, Vol. ٦١, No. ١٠ , P. ٢٤٨٦-٢٤٩٣.
- Alshehri, W. & Moussa, T. (٢٠٢١). Extended-spectrum β -lactamase Enterobacteriaceae from patients in Jeddah, Saudi Arabia: Antibiotic susceptibility and molecular approaches. Journal Contemporary Medical Science , Vol. ٧ , No. ١.
- Alsherees, H. & Ali, S. (٢٠١٩). A Preliminary Occurrence of Extended-Spectrum and AmpC Beta-Lactamases in Clinical Isolates of Enteropathogenic *Escherichia coli* in Najaf, Iraq. bioRxiv, P. ٥١٢٧٣١.
- Álvarez, R. S. ; Gómez, F. ; Zotta, E. ; Paton, A. ; Paton, J. ; Ibarra, C. ; ... & Amaral, M. (٢٠٢١). Combined action of shiga toxin type ٢ and subtilase cytotoxin in the pathogenesis of hemolytic uremic syndrome. Toxins, Vol. ١٣ , No. ٨ .
- Amin, M. ; Sirous, M. ; Javaherizadeh, H. ; Motamedifar, M. ; Saki, M. ; Veisi, H. ; ... & Hashemzadeh, M. (٢٠١٨). Antibiotic resistance pattern and molecular characterization of extended-spectrum β -lactamase producing enteroaggregative *Escherichia coli* isolates in children from southwest Iran. Infection and drug resistance, Vol. ١١, P. ١٠٩٧- ١١٠٤.
- András, A., László, M., László, K., & István, T. (٢٠٢١). Enteropatogén *Escherichia coli* (EPEC) Rövid irodalmi összefoglaló. Magyar Állatorvosok Lapja, Vol. ١٤٣, No. ٧.
- Ardissino, G. ; Vignati, C. ; Masia, C. ; Capone, V. ; Colombo, R. ; Tel, F. ; ... & Arghittu , M. (٢٠٢١). Bloody Diarrhea and Shiga Toxin–Producing *Escherichia coli* Hemolytic Uremic Syndrome in Children: Data from the ItalKid-HUS Network. The Journal of Pediatrics, Vol. ٢٣٧, P. ٣٤-٤٠ .
- Bailey & Scott (٢٠٠٧) . Diagnostic microbiology ١٢ edition. Mosby- Elsevier , P. ١٨٧.

- Bai, X. ; Fu, S. ; Zhang, J. ; Fan, R. ; Xu, Y. ; Sun, H. ; ... & Xiong, Y. (٢٠١٨). Identification and pathogenomic analysis of an *Escherichia coli* strain producing a novel Shiga toxin ٣ subtype. *Scientific reports*, Vol. ٨.
- Bai, X. ; Ylinen, E. ; Zhang, J. ; Salmenlinna, S. ; Halkilahti, J. ;Saxen, H. ; ... & Matussek, A. (٢٠٢٢). Comparative genomics of shiga toxin-producing *Escherichia coli* strains isolated from pediatric patients with and without hemolytic uremic syndrome from ٢٠٠٠ to ٢٠١٦ in Finland. *Microbiology spectrum*, Vol. ١٠, No. ٤.
- Barletta, F. ; Ochoa, T. ; Ecker, L. ; Gil, A. ; Lanata, C. & Cleary, T. (٢٠٠٩). Validation of five-colony pool analysis using multiplex real-time PCR for detection of diarrheagenic *Escherichia coli*. *Journal of clinical microbiology*, Vol. ٤٧, No. ٧.
- Benson, (٢٠١٧) . Microbiological applications , ١٤ edition . McGraw-Hill Education , P. ١٠٥-٢١٥ .
- Beraldo, L. ; Borges, C. ; Maluta, R. ; Cardozo, M. & de Ávila, F. (٢٠٢٣). Molecular analysis of enteropathogenic *Escherichia coli* (EPEC) isolates from healthy food-producing animals and humans with diarrhoea. *Zoonoses and Public Health*, Vol. ٦٠, No. ٢.
- Bieche-Terrier, C. ; Auvray, F. ; Um, M. ; Allais, L. & Drouet, M. (٢٠١٩). Prevalence of fecal carriage of main enterohemorrhagic *Escherichia coli* serotypes among slaughtered dairy calves in France.. International Congress of Meat Science and Technology.
- Bonten, M. ; Johnson, J. ; Biggelaar, A. ; Georgalis, L. ; Geurtsen, J. ; de Palacios, P. ; ... & Poolman, J. (٢٠٢١). Epidemiology of *Escherichia coli* bacteremia: a systematic literature review. *Clinical Infectious Diseases*, Vol. ٧٢ , No. ٧, P. ١٢١١-١٢١٩.

- Bradford, P. (٢٠٠١). Extended-spectrum β -lactamases in the ٢١st century: characterization, epidemiology, and detection of this important resistance threat. *Clinical microbiology reviews*, Vol. ١٤, No. ٤.
- Broujerdi, S. ; Ardakani, M. & Rezatofighi, S. E. (٢٠١٨). Characterization of diarrheagenic *Escherichia coli* strains associated with diarrhea in children, Khuzestan, Iran. *The Journal of Infection in Developing Countries*, Vol. ١٢ , No. ٨.
- Bush, K. & Bradford, P. A. (٢٠١٩). Interplay between β -lactamases and new β -lactamase inhibitors. *Nature Reviews Microbiology*, Vol. ١٧ , P. ٢٩٥-٣٠٦.
- Bush, K. (٢٠١٨). Past and present perspectives on β -lactamases. *Antimicrobial agents and chemotherapy*, Vol. ٦٢ , No. ١٠ .
- Cherla, R. ; Lee, S. & Tesh, V. (٢٠٠٣). Shiga toxins and apoptosis. *FEMS microbiology letters*, Vol. ٢٢٨, No. ٢, P. ١٥٩-١٦٦.
- Chukwu, M. ; Abia, A. ; Ubomba-Jaswa, E. ; Obi, L. & Dewar, J. (٢٠١٩). Antibiotic resistance profile and clonality of *E. coli* isolated from water and paediatric stool samples in the north-west, province South Africa. *Journal Pure Application Microbial*, Vol. ١٣ , No. ١.
- Clinical and Laboratory Standards Institute (٢٠٢٢) "Performance standards for antimicrobial susceptibility testing." CLSI supplement M١٤٠-١٦-١١٢.
- Collin, F. & Maxwell, A. (٢٠١٩). The microbial toxin microcin B١٧: prospects for the development of new antibacterial agents. *Journal of molecular biology*, Vol. ٤٣١ , No. ١٨, P. ٣٤٠٠-٣٤٢٦.
- Davies, J. & Davies, D. (٢٠١٠). Origins and evolution of antibiotic resistance. *Microbiology and molecular biology reviews*, Vol. ٧٤ , No. ٣.
- Day, C. ; Lo, A. ; Hartley-Tassell, L. ; Argente, M. ; Poole, J ; King, N. ; ... & Schembri, M. (٢٠٢١). Discovery of bacterial fimbria-glycan interactions using whole-cell recombinant *Escherichia coli* expression. *Mbio*, Vol. ١٢ .

- Dessalegn, M. ; Kumie, A. & Tefera, W. (٢٠١١). Predictors of under-five childhood diarrhea: Mecha District, west Gojam, Ethiopia. Ethiopian journal of health development, Vol. ٢٥ , No. ٣ .
- Dong, H. ; Tang, C. ; He, Z. ; Liu, H. ; Xu, Y. ; Huang, H. ; ... & He, N. (٢٠٢٠). Rapid identification of diarrheagenic *Escherichia coli* based on barcoded magnetic bead hybridization. Chinese Chemical Letters, Vol. ٣١ , No. ٧, P. ١٨١٢-١٨١٦.
- Dziubańska-Kusibab, P. ; Berger, H. ; Battistini, F. ; Bouwman, B. ; Iftekhar, A. ; Katainen, R. ; ... & Meyer, T. (٢٠١٩). Colibactin DNA damage signature indicates causative role in colorectal cancer. BioRxiv .
- Elkasaby, N. ; Alsayed, M. ; Zaki, M. ; Bakr, A. & Rizk, M. A. (٢٠٢٢). Study of Enteropathogenic *Escherichia coli* producing Extended Spectrum β-lactamase in Children with Acute Gastroenteritis. Egyptian Journal of Medical Microbiology, ٣١(٣), ٨٣-٩٠ .
- Eltai, N. ; Al Thani, A. ; Al Hadidi, S. ; Al Ansari, K. & Yassine, H. (٢٠٢٠). Antibiotic resistance and virulence patterns of pathogenic *Escherichia coli* strains associated with acute gastroenteritis among children in Qatar. BMC microbiology, Vol. ٢٠ .
- Engelkirk, P. and Duben-Engelkirk, J. (٢٠١٥). Burtons Microbiology for the Health Sciences . ١٠th ed. Philadelphia, New York.: ٤٠-١٤٠ .
- Estrada-Garcia, T. ; Lopez-Saucedo, C. ; Thompson-Bonilla, R. ; Abonce, M. ; Lopez-Hernandez, D. ; Santos, J. ; ... & Long, K. (٢٠٠٩). Association of diarrheagenic *Escherichia coli* pathotypes with infection and diarrhea among Mexican children and association of atypical enteropathogenic *E. coli* with acute diarrhea. Journal of clinical microbiology, Vol. ٤٧, No. ١ .

- Fujioka, M. ; Otomo, Y. & Ahsan, C. (٢٠١٣). A novel single-step multiplex polymerase chain reaction assay for the detection of diarrheagenic *Escherichia coli*. Journal of microbiological methods, Vol. ٩٢ , No. ٣, P. ٢٨٩-٢٩٢.
- Gajdács, M. ; Kárpáti, K. ; Nagy, Á. ; Gugolya, M. ; Stájer, A. & Burián, K. (٢٠٢١). Association between biofilm-production and antibiotic resistance in *Escherichia coli* isolates: A laboratory-based case study and a literature review. Acta Microbiologica et Immunologica Hungarica, Vol. ٦٨ , No. ٤ .
- Garretto, A. ; Miller-Ensminger, T. ; Ene, A. ; Merchant, Z. ; Shah, A. ; Gerodias, A. ; ... & Putonti, C. (٢٠٢٠). Genomic survey of *E. coli* from the bladders of women with and without lower urinary tract symptoms. Frontiers in microbiology, Vol. ١١
- Gomes, T. ; Elias, W. ; Scaletsky, I. ; Guth, B. ; Rodrigues, J. ; Piazza, R. ; Ferreial , L. ... & Martinez, M. (٢٠١٦). Diarrheagenic *Escherichia coli* . brazilian journal of microbiology, Vol. ٤٧, No. ١ .
- Govindarajan, D. ; Viswalingam, N. ; Meganathan, Y.& Kandaswamy, K. (٢٠٢٠). Adherence patterns of *Escherichia coli* in the intestine and its role in pathogenesis. Medicine in Microecology, Vol. ٥ .
- Gu, S. ; Lai, J. ; Kang, W. ; Li, Y. ; Zhu, X. ; Ji, T. ; ... & Wang, Y. (٢٠٢٢). Drug resistance characteristics and molecular typing of *Escherichia coli* isolates from neonates in class A tertiary hospitals: A multicentre study across China. Journal of Infection, Vol. ٨٥ , No. ٥, P. ٤٩٩-٥٠٧.
- Gualerzi, C.; Brandi, L.; Fabbretti, A.& Pon, C. (٢٠١٤). Targets, Mechanisms and Resistance Antibiotics .Willy –VCH , pp٨٠ .
- Hamza, O. & Omran, R. (٢٠٢٢). Multidrug Drug Resistance of *Escherichia coli* and *Klebsiella* Isolated from Iraqi Patients and Microbiota. Journal of Biosciences and Medicines, Vol. ١٠, No. ١١, P. ٢٤٠-٢٥٢.
- Han, M. ; Zhu, Y. ; Creek, D. ; Lin, Y. ; Anderson, D. ; Shen, H. ; ... & Li, J. (٢٠١٨). Alterations of metabolic and lipid profiles in polymyxin-resistant

Pseudomonas aeruginosa. Antimicrobial agents and chemotherapy, Vol. ٦٢ , No. ٧ .

- Harb, A. ; Abraham, S. ; O'Dea, M. ; Hantosh, H. ; Jordan, D. & Habib, I. (٢٠٢١). Sociodemographic Determinants of Healthcare-Seeking Options and Alternative Management Practices of Childhood Diarrheal Illness: A Household Survey among Mothers in Iraq. *The American Journal of Tropical Medicine and Hygiene*, Vol. ٩٤ .
- Hasan, H. ; Yassin, N. & Eassa, S. (٢٠٢٠). Bacteriological and Molecular Characterization of Diarrheagenic *Escherichia Coli* Pathotypes From Children in Duhok City, Iraq. *Science Journal of University of Zakho*, Vol. ٨ , No. ٢ .
- Heydari, F. ; Bonyadian, M. ; Moshtaghi, H. & Sami, M. (٢٠٢٠). Prevalence and antibiotic resistance profile of Shiga toxin-producing *Escherichia coli* isolated from diarrheal samples. *Iranian Journal of Microbiology*, Vol. ١٢ No. ٤.
- Huang, Z. ; Pan, H. ; Zhang, P. ; Cao, X. ; Ju, W. ; Wang, C. ; ... & Xu, X. (٢٠١٦). Prevalence and antimicrobial resistance patterns of diarrheagenic *Escherichia coli* in Shanghai, China. *The Pediatric infectious disease journal*, Vol. ٣٥ , No. ٨ , P. ٨٣٥-٨٣٩.
- Jacoby, G. & Munoz-Price, L. (٢٠٠٥). The new β -lactamases. *New England Journal of Medicine*, vol. ٣٥٢ .
- Jawetz , Melnick & Adelbergs (٢٠١٩). *Medical microbiology* ٢٨ edition . McGraw-Hill Education , P. ٢٣٥.
- Jenkins, C. ; Perry, N. ; Godbole, G. & Gharbia, S. (٢٠٢٠). Evaluation of chromogenic selective agar (CHROMagar STEC) for the direct detection of Shiga toxin-producing *Escherichia coli* from fecal specimens. *Journal of Medical Microbiology*, Vol. ٦٩ , No. ٣.

- Ji, Y. ; Fang, Q. ; Liu, S. ; Zhang, B. & Long, C. (٢٠٢٠). Herbal medicinal markets in China: an ethnobotanical survey. *Medicinal plants: biodiversity, sustainable utilization and conservation*, P. ٤١٥-٤٢٩.
- Jomehzadeh, N; Ahmadi, K.; Javaherizadeh, H. & Afzali, M. (٢٠٢١). The first evaluation relationship of integron genes and the multidrug-resistance in class A ESBLs genes in enteropathogenic *Escherichia coli* strains isolated from children with diarrhea in Southwestern Iran. *Molecular Biology Reports*, Vol. ٤٨, No. ١.
- Kaper, J. ; Nataro, J. ; & Mobley, H. (٢٠٠٤). Pathogenic *Escherichia coli*. *Nature reviews microbiology*, Vol. ٣.
- Khairy, R. ; Fathy, Z. ; Mahrous, D. ; Mohamed, E. & Abdelrahim, S. (٢٠٢٠). Prevalence, phylogeny, and antimicrobial resistance of *Escherichia coli* pathotypes isolated from children less than ٥ years old with community acquired-diarrhea in Upper Egypt. *BMC Infectious Diseases*, Vol. ٢٠ , No. ١.
- Khalid, M. & Andreoli, S. (٢٠١٩). Extrarenal manifestations of the hemolytic uremic syndrome associated with Shiga toxin-producing *Escherichia coli* (STEC HUS). *Pediatric Nephrology*, Vol. ٣٤ .
- Khalil, Z. (٢٠١٥). Isolation and identification of different diarrheagenic (DEC) *Escherichia coli* pathotypes from children under five years old in Baghdad. *Iraqi journal of community medicine* .
- Khan, Z. ; Siddiqui, M. & Park, S. (٢٠١٩). Current and emerging methods of antibiotic susceptibility testing. *Diagnostics*, Vol. ٩, No. ٢, P. ٤٩.
- Larsson, D. & Flach, C. (٢٠٢٢). Antibiotic resistance in the environment. *Nature Reviews Microbiology*, Vol. ٣ .
- Lauxen, A. ; Kobauri, P. ; Wegener, M. ; Hansen, M. J. ; Galenkamp, N. ; Maglia, G. ; ... & Kuipers, O. (٢٠٢١). Mechanism of resistance development in *E.*

- coli* against TCAT, a trimethoprim-based photoswitchable antibiotic. Pharmaceuticals, Vol. 14 , No. 5.
- Lee, M. ; Kim, M. & Tesh, V. (٢٠١٣). Shiga toxins expressed by human pathogenic bacteria induce immune responses in host cells. Journal of microbiology, Vol. ٥١
 - Luna-Guevara, J.; Arenas-Hernandez, M. ; Martínez de la Peña, C.; Silva, J. & Luna-Guevara, M. (٢٠١٩). The role of pathogenic *E. coli* in fresh vegetables: Behavior, contamination factors, and preventive measures. International journal of microbiology.
 - Levinson, W. (٢٠١٦) . Review of medical microbiology and immunology ١٤ edition . Mc Graw – Hill Education , P. ٦٩-١٤٨ .
 - Lewis, K. (٢٠٢٠). The science of antibiotic discovery. Cell, Vol. ١٨١ No. ١, P ٢٩-٤٥.
 - Ling, T. ; Tam, P. ; Liu, Z. & Cheng, A. (٢٠٠١). Evaluation of VITEK ٢ rapid identification and susceptibility testing system against gram-negative clinical isolates. Journal of clinical microbiology, Vol. ٣٩, No. ٨.
 - Mahon, C. ; Lehman, D. & Manuselis, G. (٢٠١٥). Textbook of diagnostic microbiology .٥ edition . Elsevier, PP ١٨١ - ٢٢٦.
 - Mancuso, G. ; Midiri, A. ; Gerace, E. & Biondo, C. (٢٠٢١). Bacterial antibiotic resistance: the most critical pathogens. Pathogens, Vol. ١٠ , No. ١٠ . P. ١٣١٠ .
 - Manetu, W. ; M'masi, S. & Recha, C. (٢٠٢١). Diarrhea disease among children under ٥ years of age: a global systematic review. Open Journal of Epidemiology, Vol. ١١ .
 - Manhique-Coutinho, L. ; Chiani, P. ; Michelacci, V. ; Taviani, E. ; Bauhofer, A. ; Chissaque, A.; ... & de Deus, N. (٢٠٢٢). Molecular characterization of diarrheagenic *Escherichia coli* isolates from children with diarrhea: A cross-sectional study in four provinces of Mozambique: Diarrheagenic *Escherichia coli*

in Mozambique. International Journal of Infectious Diseases, Vol. 121, P. 190-194.

- Mare, A. ; Ciurea, C. ; Man, A. ; Tudor, B. ; Moldovan, V. ; Decean, L. & Toma, F. (2021). Enteropathogenic *Escherichia coli*—A summary of the literature. Gastroenterology Insights, Vol. 12, No. 1.
- Markey, B. ; Leonard, F. ; Archambault, M. ; Cullinane, A. and Maguire, D. (2013). Clinical veterinary microbiology. 2 edition. Mosby, Elsevier. P. 246-249.
- Mayers, L.; Lerner,S.; Ouellte,M.& Sobel,L.(2009). Antimicrobial Drug Resistance . Human Press , Vol. 1. P. 79 .
- McCloskey, D. ; Xu, S. ; Sandberg, T. ; Brunk, E., Hefner, Y. ; Szubin, R. ; Feist, A. & Palsson, B. (2018). Growth adaptation of gnd and sdhCB *Escherichia coli* deletion strains diverges from a similar initial perturbation of the transcriptome. Frontiers in microbiology, Vol. 9.
- Melton-Celsa, A. (2014). Shiga toxin (Stx) classification, structure, and function. Microbiology spectrum, Vol. 2, No. 4, P. 2-4.
- Moharana, S. ; Panda, R. ; Dash, M. ; Chayani, N. ; Bokade, P. ; Pati, S. & Bhattacharya, D. (2019). Etiology of childhood diarrhoea among under five children and molecular analysis of antibiotic resistance in isolated enteric bacterial pathogens from a tertiary care hospital, Eastern Odisha, India. BMC Infectious Diseases, Vol. 19 .
- Motyka, N. ; Stewart, S. ; Hollifield, I. ; Kyllo, T. ; Mansfield, J. ; Norton, E. ; ... & Bitoun, J. (2021). Elevated extracellular cGMP produced after exposure to enterotoxigenic *Escherichia coli* heat-stable toxin induces epithelial IL-33 release and alters intestinal immunity. Infection and immunity, Vol. 89 , No. 4 .
- Murray, P. ; Rosenthal, K. & Pfaffer, M. (2016) . Medical microbiology ^ edition . Elsevier , P. 201 .

- Mutai, M. ; Njeru, E. ; & Ntabo, R. (٢٠٢١). Ethnobotanical Survey of Medicinal Plants Used By the Marakwet Community in Cherangani Forest, Kenya. Journal of Medicinal and Chemical Sciences, Vol. ٤ , No. ٣ , P. ٢٨٩-٣٠٠.
- Ogura, Y. ; Mondal, S. ; Islam, M. ; Mako, T. ; Arisawa, K. ; Katsura, K. ; ... & Hayashi, T. (٢٠١٥). The Shiga toxin ٢ production level in enterohemorrhagic *Escherichia coli* O١٥٧: H٧ is correlated with the subtypes of toxin-encoding phage. Scientific reports, Vol.٥, P.١٦٦٦٣.
- Olowe, B.; Oluyege, J. ; Famurewa, O. ; Ogunniran, A. & Adelegan, O.(٢٠١٧). Molecular Identification of *Escherichia coli* and New Emerging enteropathogen, *Escherichia fergusonii*, from drinking water sources in Ado-Ekiti, Ekiti State, Nigeria. Journal of Microbiology Research, Vol. ٧, No. ٣.
- Omolajaiye, S. ; Afolabi, K. & Iweriebor, B. (٢٠٢٠). Pathotyping and antibiotic resistance profiling of *Escherichia coli* isolates from children with acute diarrhea in amatole district municipality of Eastern Cape, South Africa. BioMed Research International.
- Oriomah, C. & Akpe, A. R. (٢٠١٩). Plasmid curing of antibiotic resistant *Escherichia coli* isolates from urine and stool samples. Journal of Microbiology and Antimicrobials, Vol.١ , P. ١-٤.
- Pakbin, B. ; Brück, W. & Rossen, J. (٢٠٢١). Virulence factors of enteric pathogenic *Escherichia coli*: A review. International journal of molecular sciences, Vol. ٢٢ , No. ١٨.
- Pandey, N. & Casella, M. (٢٠٢٢). Beta lactam antibiotics. Stat Pearls Publishing.
- Pang, Z. ; Raudonis, R. ; Glick, B. ; Lin, T. & Cheng, Z. (٢٠١٩). Antibiotic resistance in *Pseudomonas aeruginosa*: mechanisms and alternative therapeutic strategies. Biotechnology advances, Vol. ٣٧ , No. ١ , P. ١٧٧-١٩٢ .

- Pasqua, M. ; Grossi, M. ; Zennaro, A. ; Fanelli, G. ; Micheli, G. ; Barras, F.; ... & Prosseda, G. (٢٠١٩). The varied role of efflux pumps of the MFS family in the interplay of bacteria with animal and plant cells. *Microorganisms*, Vol. ٧ , No. ٩ .
- Pennington, H. (٢٠١٠). *Escherichia coli O104*. *The Lancet*, Vol. ٣٧٦, No. ٩٧٥٠ , P. ١٤٢٨-١٤٣٥.
- Pfeifer, E. ; Bonnin, R. & Rocha, E. (٢٠٢٢). Phage-Plasmids spread antibiotic resistance genes through infection and lysogenic conversion. *Mbio*, Vol. ١٣ , No. ٥.
- Philipsborn, R. ; Ahmed, S. ; Brosi, B. & Levy, K. (٢٠١٦). Climatic drivers of diarrheagenic *Escherichia coli* incidence: a systematic review and meta-analysis. *The Journal of infectious diseases*, Vol. ٢١٤, No. ١, P. ٧-١٥.
- Podewils, L. ; Mintz, E. ; Nataro, J. & Parashar, U. (٢٠٠٤). Acute, infectious diarrhea among children in developing countries. In *Seminars in pediatric infectious diseases* ,Vol. ١٥, No. ٣, P. ١٥٥ .
- Raghavan, P. ; Roy, S. ; Thamizhmani, R. & Sugunan, A. (٢٠١٧). Diarrheagenic *Escherichia coli* infections among the children of Andaman Islands with special reference to pathotype distribution and clinical profile. *Journal of epidemiology and global health*, Vol. ٧ , No. ٤, P. ٣٠٥-٣٠٨.
- Rahman, M. ; Ahmed, P. ; Kar, A. ; Sakib, N. ; Shibly, A. ; Zohora, F. & Hasan, M. (٢٠٢٠). Prevalence, antimicrobial resistance, and pathogenic potential of enterotoxigenic and enteropathogenic *Escherichia coli* associated with acute diarrheal patients in Tangail, Bangladesh. *Foodborne Pathogens and Disease*, vol. ١٧ , No. ٧.
- Rahman, M. ; Uddin, M. ; Sultana, R. ; Moue, A. & Setu, M. (٢٠١٣). Polymerase chain reaction (PCR): a short review. *Anwer Khan Modern Medical College Journal*, Vol. ٤, No. ١, P. ٣٠-٣٦.

- Rani, A. ; Ravindran, V. B. ; Surapaneni, A. ; Mantri, N. & Ball, A. (٢٠٢١). Trends in point-of-care diagnosis for *Escherichia coli* O^{١٥٧}: H^٧ in food and water. International Journal of Food Microbiology, Vol. ٣٤٩ .
 - Reza, A., Sutton, J. & Rahman, K. (٢٠١٩). Effectiveness of efflux pump inhibitors as biofilm disruptors and resistance breakers in gram-negative (ESKAPEE) bacteria. Antibiotics, Vol. ٨ , No. ٤.
 - Roy, S. ; Shamsuzzaman, S. ; & Mamun, K. (٢٠١٣). Antimicrobial resistance pattern of diarrheagenic *Escherichia coli* isolated from acute diarrhea patients. International Journal of Pharmaceutical Science Invention, Vol. ٢, No. ٧, P.٤٣-٦.
-
- Saeed, A. ; Abd, H. & Sandstrom, G. (٢٠١٥). Microbial aetiology of acute diarrhea in children under five years of age in Khartoum, Sudan. Journal of medical microbiology , Vol. ٦٤.
 - Samuel, S. ; Moses, N. ; & Too, E. (٢٠١٩). Prevalence of Enterobacteriaceae Isolated from Childhood Diarrhoea in Mukuru Slums, Nairobi-Kenya . Journal of Advances in Microbiology .
 - Sang, W. ; Oundo, V. & Schnabel, D. (٢٠١٢). Prevalence and antibiotic resistance of bacterial pathogens isolated from childhood diarrhea in four provinces of Kenya. The Journal of Infection in Developing Countries, Vol. ٧ , No. ٤٧
 - Scheutz, F. ; Teel, L. ; Beutin, L. ; Piérard, D. ; Buvens, G. ; Karch, H. ; ... & O'Brien, A. (٢٠١٢). Multicenter evaluation of a sequence-based protocol for subtyping Shiga toxins and standardizing Stx nomenclature. Journal of clinical microbiology, Vol. ٥٠ , No. ٩ .
 - Schwidder, M. ; Heinisch, L. & Schmidt, H. (٢٠١٩). Genetics, toxicity, and distribution of enterohemorrhagic *Escherichia coli* hemolysin. Toxins, Vol. ١١ , No. ٩ .

- Shah, C. ; Baral, R. ; Bartaula, B. & Shrestha, L. (٢٠١٩). Virulence factors of uropathogenic *Escherichia coli* (UPEC) and correlation with antimicrobial resistance. BMC microbiology, Vol. ١٩.
- Shatub, W. ; Jafar, N. & Melconian, A. (٢٠٢١). Detection of diarrheagenic *E. coli* among children under ٥ years age in Tikrit city of Iraq by using single multiplex PCR technique. Plant Archives , Vol. ٢١, No. ١, P. ١٢٣٠-١٢٣٧ .
- Sherris, J. (٢٠١٨). Medical microbiology . New York, NY, USA: McGraw-Hill Education , P. ٤٣١-٦٣١ .
- Snehaa, K. ; Singh, T. ; Dar, S. ; Haque, S. ; Ramachandran, V. ; Saha, R. ; ... & Das, S. (٢٠٢١). Typical and atypical enteropathogenic *Escherichia coli* in children with acute diarrhoea: changing trend in East Delhi. Biomedical journal, Vol. ٤٤ , No. (٤), P. ٤٧١-٤٧٨.
- Sorsdahl, K. ; Flisher, A. ; Wilson, Z. & Stein, D. (٢٠١٠). Explanatory models of mental disorders and treatment practices among traditional healers in Mpumulanga, South Africa. African Journal of Psychiatry, vol. ١٣ , No. ٤.
- Stoll, B. ; Glass, R. ; Banu, H. ; Huq, M. ; Khan, M. & Ahmed, M. (١٩٨٣). Value of stool examination in patients with diarrhea . British medical journal, Vol. ٢٨٦.
- Tadesse, A. & Alem, M. (٢٠٠٦). Medical bacteriology. EPHTI. PP. ٤٣٣.
- Tareen, A. ; Ullah, K. ; Asmat, T. ; Samad, A. ; Iqbal, A. ; Mustafa, M. ; Ahmad, I. & Rahman, S. (٢٠١٩). Incidence of diarrheagenic *Escherichia coli* pathotypes in children suffering from diarrhea in tertiary care hospitals, Quetta, Pakistan. Pakistan Journal of Zoology, Vol. ٥١ .
- Tian L. ; Zhu X. ; Chen Z. ; Liu W. ; Li S. ; Yu W. ; ... & Sun Z. (٢٠١٧). Characteristics of bacterial pathogens associated with acute diarrhea in children under ٥ years of age: a hospital-based cross-sectional study. BMC infectious diseases, Vol. ١٧ , No. ١, P. ١-٨.

- Tomas, J. ; Camprubi, S. & Williams, P. (١٩٨٨). Surface exposure of the O-antigen in *Klebsiella pneumoniae* O^٤: K^٢ serotype strains. *Microbial pathogenesis*, Vol. ٥, No. ٢.
 - Torres, M. ; Adkinson, Jr. ; Caubet, J. ; Khan, D. ; Kidon, M. ; Mendelson, L. ; ... & Macy, E. (٢٠١٩). Controversies in drug allergy: beta-lactam hypersensitivity testing. *The Journal of Allergy and Clinical Immunology*, Vol. ٩٧, No. ١, P. ٤٠-٤٥.
 - Travert, B. ; Rafat, C. ; Mariani, P. ; Cointe, A. ; Dossier, A. ; Coppo, P. & Joseph, A. (٢٠٢١). Shiga toxin-associated hemolytic uremic syndrome: Specificities of adult patients and implications for critical care management. *Toxins*, Vol. ١٣, No ٥.
 - Tuky, H. & Semender, B. (٢٠١٩). Assessing risk factors and causative organisms of acute diarrhea in children under ٥ years in Al-Hindiya, Karbala, Iraq. *Medical journal of Babylon*, Vol. ١٦, No. ٤.
-
- Uruén, C., Chopo-Escuin, G., Tommassen, J., Mainar-Jaime, R. C., & Arenas, J. (٢٠٢٠). Biofilms as promoters of bacterial antibiotic resistance and tolerance. *Antibiotics*, Vol. ٩, No. ١.
 - Veiga, R. & Paiva, J. (٢٠١٨). Pharmacokinetics–pharmacodynamics issues relevant for the clinical use of beta-lactam antibiotics in critically ill patients. *Critical Care*, Vol. ٢٢.
 - Verma, S. ; Venkatesh, V. ; Kumar, R. ; Kashyap, S. ; Kumar, M. ; Maurya, A. ; ... & Singh, M. (٢٠١٩). Etiological agents of diarrhea in hospitalized pediatric patients with special emphasis on diarrheagenic *Escherichia coli* in North India. *Journal of Laboratory Physicians*, Vol. ١١, No. ١.
 - Webale, M. ; Wanjala, C. ; Guyah, B. ; Shaviya, N. ; Munyekenyere, G. ; Nyanga, P. ; ... & Kitungulu, N. (٢٠٢٠). Epidemiological patterns and antimicrobial resistance of bacterial diarrhea among children in Nairobi City,

Kenya. Gastroenterology and Hepatology from Bed to Bench, Vol. ١٣ , No. ٣,
P. ٢٣٨ ٢٤٦ .

- Yim, J. ; Seo, K. ; Chon, J. ; Jeong, D. & Song, K. (٢٠٢١). Status and Prospects of PCR Detection Methods for Diagnosing Pathogenic *Escherichia coli*: A Review. Journal of Dairy Science and Biotechnology, Vol. ٣٩ .
- Yu, P. ; Zhou, X. ; Li, Z. & Yan, Y. (٢٠٢٠). Inactivation and change of tetracycline-resistant *Escherichia coli* in secondary effluent by visible light-driven photocatalytic process using Ag/AgBr/g-C₃N₄. Science of the Total Environment, Vol. ٧٠٥ .
- Zhou, Y. ; Zhu, X. ; Hou, H. ; Lu, Y. ; Yu, J. ; Mao, L. ; ... & Sun, Z. (٢٠١٨). Characteristics of diarrheagenic *Escherichia coli* among children under ٥ years of age with acute diarrhea: a hospital based study. BMC infectious diseases, Vol. ١٨.

الملحق

ملحق (١) نتائج فحص عينات البراز قيد الدراسة تحت المجهر الضوئي

	عدد المصابين	عدد خلايا الدم الحمراء				عدد الخلايا الالتهابية			
		١-١٠	١١-٢٠	٢١-٥٠	> ٥٠	١-١٠	١١-٢٠	٢١-٥٠	>٥٠
٣٤	٣٤	+	-	-	-	-	-	+	-
	٢١	-	+	-	-	-	-	+	-
	١٣	-	-	-	+	+	-	-	-
	١٢	-	+	-	-	-	-	-	+
٦	١٤	-	-	-	-	-	+	-	-
	٦	-	-	-	-	+	-	-	-

- موجبة = + ، سالبة = -

ملحق (٢) النسبة المئوية لاحتمالية التشخيص لعزلات بكتيريا *E. coli* باستعمال نظام الفايتاك

النسبة المئوية لاحتمالية التشخيص	عدد عزلات بكتيريا <i>E. coli</i>
٩٩	٣٨
٩٧	١
٩٥	١

ملحق (٣) نتیجة التشخيص باستعمال نظام الفایتک

bioMérieux Customer:		مختبر ميديا التخصصي Microbiology Chart Report		Printed May 12, 2022 10:12:45 PM CDT													
Patient Name:	49, .	Patient ID:	1090	Location:	Physician:												
Lab ID:	1090				Isolate Number: 1												
Organism Quantity:																	
Selected Organism : Escherichia coli																	
Source:	Collected:																
Comments:																	
Identification Information		Analysis Time:	2.92 hours	Status:	Final												
Selected Organism		99% Probability	Escherichia coli														
		Bionumber:	0005610454026611														
ID Analysis Messages																	
Biochemical Details																	
2	APPA	-	3	ADO	-	4	PyrA	-	5	IARL	-	7	dCEL	-	9	BGAL	-
10	H2S	-	11	BNAG	-	12	AGLTp	-	13	dGLU	+	14	GGT	-	15	OFF	+
17	BGLU	-	18	dMAL	+	19	dMAN	+	20	dMNE	+	21	BXYL	-	22	BAlap	-
23	ProA	-	26	LIP	-	27	PLE	-	29	TyrA	-	31	URE	-	32	dSOR	+
33	SAC	+	34	dTAG	-	35	dTRE	+	36	CIT	-	37	MNT	-	39	5KG	+
40	ILATk	-	41	AGLU	-	42	SUCT	-	43	NAGA	-	44	AGAL	+	45	PHOS	-
46	GlyA	-	47	ODC	+	48	LDC	+	53	IHISa	-	56	CMT	+	57	BGUR	+
58	O129R	+	59	GGAA	-	61	IMLTa	-	62	ELLM	+	64	ILATA	-			

ملحق (٤) مقاومة عزلات بكتيريا *E. coli* للمضادات الحيوية

No	Amp	AK	AZm	CTX	CTR	COT	DXT	GEN	TE	CIP
EC¹	R	S	R	R	S	R	S	S	S	S
EC²	R	S	R	R	R	R	R	S	R	R
EC³	R	S	S	S	S	S	R	R	S	S
EC⁴	R	S	R	S	S	R	S	S	S	S
EC⁵	R	S	S	R	R	R	S	S	S	S
EC⁶	R	R	S	R	R	I	S	S	R	S
EC⁷	R	S	R	R	R	R	R	S	R	R
EC⁸	R	S	R	R	R	R	S	S	R	I
EC⁹	R	S	R	R	R	R	R	S	R	R
EC¹⁰	R	S	S	S	S	R	S	S	R	S
EC¹¹	R	S	S	R	R	R	S	S	S	S
EC¹²	R	R	S	R	R	R	R	S	R	S
EC¹³	R	S	R	R	R	R	S	S	S	S
EC¹⁴	R	S	S	R	R	R	S	S	S	S
EC¹⁵	R	S	R	S	S	R	R	S	R	S
EC¹⁶	R	S	S	R	R	S	S	S	S	I
EC¹⁷	R	S	R	R	R	R	R	S	R	R
EC¹⁸	R	S	R	R	I	R	S	S	S	R
EC¹⁹	R	S	S	R	R	R	R	S	R	S
EC²⁰	R	S	S	R	S	S	S	S	S	R
EC²¹	R	S	S	S	S	R	S	S	R	S
EC²²	R	S	R	R	R	R	S	S	S	R
EC²³	R	S	R	R	R	R	S	S	S	R
EC²⁴	R	S	S	S	S	R	S	S	R	S
EC²⁵	R	S	S	R	R	R	S	S	R	S

EC٢٦	R	S	R	S	S	R	R	S	R	S
EC٢٧	R	S	S	R	S	R	R	R	R	S
EC٢٨	R	R	R	R	R	R	R	R	R	R
EC٢٩	R	S	S	R	R	R	R	S	R	S
EC٣٠	R	S	R	R	R	R	R	R	R	R
EC٣١	R	S	R	R	R	R	R	S	R	S
EC٣٢	R	S	R	R	R	R	R	R	R	S
EC٣٣	R	S	R	R	R	R	S	R	S	R
EC٣٤	R	S	R	R	R	S	R	I	R	R
EC٣٥	R	S	R	R	R	R	S	S	S	R
EC٣٦	R	S	S	R	R	R	R	S	R	S
EC٣٧	R	S	R	R	R	R	R	S	R	S
EC٣٨	R	S	S	R	R	R	R	S	R	S
EC٣٩	R	S	S	R	R	R	S	S	R	R
EC٤٠	R	S	R	R	R	R	R	S	R	R

Summary

The present study was performed to determine the bacterial causative agents of diarrhea in children and also the virulence factors possessed by *Escherichia coli* which isolated from the stool of children under 5 years of age with symptoms of diarrhea and its relationship to antibiotic resistance as the main causative factor in diarrhea. One hundred samples were collected from stool of children who attended the Children's Teaching Hospital in the holy city of Karbala, for the period from ٢/٢/٢٠٢٢ to ١٥/٦/٢٠٢٢. The samples were cultured on several culture media, and then the bacterial isolates were identified using the Vitek® technique. After that an antibiotic sensitivity test was performed, then prior to detection by PCR technique ٤٠ isolates of *E. coli* were selected based on examining a stool sample under a light microscope, which contained pus cells, or Red blood cells.

The results showed that the percentage of males infected with diarrhea was ٤٦ (٥٧.٥%), which was higher than the percentage of females ٣٤ (٤٥%). Statistical analysis showed that there was a significant difference between infected males and females ($P = .٠٢$). The infected children ١١ (١٣.٧%) was found in the age group of (٠-٦) months, and the number of infected children ٢٣ (٢٨.٧%) was in the age group (٧-١١) months and the age group (١-٤) years had the number of infected children ٢١ (٢٦.٢%). The number of affected children was ١٦ (٢٠%) in the age group of (٢-٣) years, followed by ٩ (١١.٢%) in the age group of (٣-٥) years. It is clear from the above that the number of affected children was higher in the age of groups between (٧-١١) months and (١-٤) years, but no significant differences were appeared between the age groups ($P = .٩٩$). The number of children who live in randsimals areas ٥٢ (٦٥%) were significantly higher infected by bacterial causative agents of diarrhea in comparison to those children live in residential neighborhoods ٢٨ (٣٥%) ($P = .٠٠١$).

It was found that the number of children whose parents practiced free professions ٦١ (٧٦.٢٥%) which were significantly more likely to suffer from diarrhea compared to children whose fathers were employed ١٩ (٢٣.٧٣%) ($P = . . . 9$) .

The results from the sensitivity test showed that (١٠٠%) ٤٠ bacterial isolates were resistant to the antibiotic Ampicillin, which is the highest percentage of resistance , followed by (٨٥%) ٣٤ bacterial isolates resistant to the antibiotic Co-Trimoxazole , then (٨٢.٥%) ٣٣ bacterial isolates were resistant to the antibiotic Cefotaxime . In addition, (٧٢.٥%) ٢٩ bacterial isolates were resistant to the antibiotic Ceftriaxone , ٢٦ (٦٥%) bacterial isolate resistant to the antibiotic Tetracycline . Results also showed that (٥٢.٥%) ٢١ bacterial isolates were resistant to the antibiotic Azthromycine followed by (٥٠%) ٢٠ bacterial isolates had resistance activity against to the antibiotic Doxycycline . Beside, ١٥ (٣٧.٥%) isolate were resistant to the antibiotic Ciprofloxacin and ٧ (١٥%) isolate were resistant to the antibiotic Gentamycin. Finally (٧.٥%) ٣ bacterial isolate resistant to the antibiotic Amikacin which is the lowest percentage of resistance.

Molecular detection which represented by polymerase chain reaction PCR results showed that (٥٠%) of ٢٠ bacterial isolates carrying genes (*stx* ١, *stx* ٢, *eae*, *bfpA*), which belong to the pathotypes of *E. coli* bacteria causing diarrhea (DEC), and (٥٠%) ١٠ isolates of enteropathogenic bacteria EPEC, (٥٠%) ١٠ isolates carrying two genes together (*stx* ١ & *stx* ٢) belong to the intestinal hemorrhagic bacteria EHEC .It was noted that there no significant differences were found between the two strains ($P \geq . . . 0$) , On the other hand among the ten isolates of enteropathogenic bacteria EPEC were (٨٠%) ٨ bacterial isolates carrying the (*eae*) gene for the atypical enteropathogenic bacteria aEPEC, and two isolates (٢٠%) carrying two genes together (*eae* & *bfpA*) belong to the typical enteropathogenic bacteria tEPEC . The statistical analysis showed that there was a clear significant difference between the two types of these bacteria ($P \leq . . . 0$).

The results appeared that the number of bacterial isolates which carried the *CTX-M* gene were (٦٦%) ١٢ and was significantly higher ($P = . . . 3$) compared to the isolates

C summary

carried the *TEM* gene, which were (۳۳%) ۷ isolates, and the *SHV* gene was not appeared in any bacterial isolates .

Moreover, the results of the current study showed that EPEC bacteria were present in a higher percentage in males (۶۰%) ۷ compared to their presence in females (۴۰%) ۵, with a non-significant manner ($P = ۰.۰۷۰$). In contrast EHEC bacteria were present in females by (۸۰%) ۹ which significantly higher than their presence in males (۳۰%) ۳ and almost ($P = ۰.۰۱۰$) .

The results showed that EPEC bacteria were present in the age group of (۱-۷) months with (۲۰%) ۲ isolates, while (۴۰%) ۴ isolates were present in the age group of (۷-۱۱) months , followed by the age group of (۱-۴) years with a number of (۲۰%) ۲ isolates .Finally, (۱۰%) ۱ bacterial isolate was present in the age groups of (۲-۳) years and (۳-۵) years.

The results also revealed that EHEC bacteria were not present in the age group of (۱-۷) months and (۱۱-۱۷) months, and were present in the of (۱-۴) years with a number of (۲۰%) ۲ isolates , (۳۰%) ۳ bacterial isolates were found in the age category of (۲-۳) years. Finally, (۰۰%) ۰ isolates were recorded in the age category of (۳-۵) years. The statistical analysis regarding present of EPEC bacteria among age groups showed that there was no significant difference between the age , except for the age group of (۷-۱۱) months, which was the number of the bacteria in this group significantly higher compared to the two age groups of (۲-۳) and (۳-۵) years. On the contrary, the number of EHEC was significantly higher in the age group of (۳-۵) years compared to the rest of the age groups ($P \leq ۰.۰۵$) .

Finally, the current results appeared that (۷۰%) of ۹ EPEC isolates was significantly carried the *CTX-M* gene and ($P = ۰.۰۰۷۴$) in comparison to other genes. In addition, the *TEM* gene was carried by one bacterial isolate at a rate of (۱۰%) . *CTX-M* gene was carried by one isolate of EHEC with a percentage of (۱۰%) and two isolates of EHEC carried the *TEM* gene in with a percentage of (۲۰%).



**Kerbala University
College of Science
Department of biology**

**Molecular characterization of E. coli isolated from
children infected with diarrhea in Kerbala province.**

A Thesis

**Submitted to the Council of the College of Science / Kerbala
University and it is Part of the Requirements for a Master's
Degree in Biology Science**

Written by student : Huda Abbas Muhammad Al- Tuhmazi

Supervised by : D. Ali A. Abid . Al-Hisnawi

٢٠٢٣ - April

١٤٤٤ - Ramadan